

# Bachelorthesis

Sönke Christoph Wilhelm Appel

Akustische Raumsimulation mit MATLAB für die  
Entwicklung von Schallquellen-Lokalisationen mit  
unterraumbasierten Verfahren

Sönke Christoph Wilhelm Appel  
Akustische Raumsimulation mit MATLAB für die  
Entwicklung von Schallquellen-Lokalisationen mit  
unterraumbasierten Verfahren

Bachelorthesis eingereicht im Rahmen der Bachelorprüfung  
im Studiengang Informations- und Elektrotechnik  
am Department Informations- und Elektrotechnik  
der Fakultät Technik und Informatik  
der Hochschule für Angewandte Wissenschaften Hamburg

Betreuender Prüfer : Prof. Dr.Ing. Hans Peter Kölzer  
Zweitgutachter : Prof. Dr.Ing. Karin Landefeld

Abgegeben am 26. Februar 2010

**Sönke Christoph Wilhelm Appel**

**Thema der Bachelorthesis**

Akustische Raumsimulation mit MATLAB für die Entwicklung von Schallquellen-Lokalisationen mit unterraumbasierten Verfahren

**Stichworte**

Mikrofonarray, Unterraumverfahren, Raumsimulation, Schallreflexionen, Spiegelquellenverfahren, MATLAB

**Kurzzusammenfassung**

Diese Arbeit befasst sich mit der Entwicklung von einem akustischen Raumsimulationsprogramm mit MATLAB. Das Programm soll für die Entwicklung von Schallquellen-Lokalisationen verwendet werden, speziell für Schallquellen-Lokalisationen, die mit unterraumbasierten Verfahren arbeiten.

**Sönke Christoph Wilhelm Appel**

**Title of the paper**

Development of an acoustic room-simulation for localisation of sound sources with subspace-algorithms using MATLAB

**Keywords**

Microphon Array, Subspace Algorithm, Room Simulation, Sound reflection, ground-plane method, MATLAB

**Abstract**

This Thesis deals with development of an acoustic room-simulation-program using MATLAB. The program shall be used for development of localisation of sound sources, especially localisation of sound sources working with subspace algorithms.

## **Danksagung**

Als erstes möchte ich meiner Mutter Renate Appel und meinem Vater Bernd Appel danken, dass Sie meinen Entschluss unterstützt haben, nach meiner Lehre ein Studium über den zweiten Bildungsweg zu beginnen.

Dank an meine Wohngemeinschaft Enno Putzar, Wiebke Heinz und Hannah Athmer, die mir eine Basis während der Zeit meiner Bachelorarbeit waren und somit mir die Möglichkeit gaben, nach einem arbeitsreichen Tag zu Hause, zu Entspannung und Ablenkung zu gelangen.

Ganz besonders Danken möchte ich Herrn Prof. Dr.-Ing. Kölzer, meinem betreuenden Professor und Erstprüfer, der mich bei meiner Arbeit stark unterstützt hat, und Frau Prof. Dr.-Ing. Landefeld für ihre Bereitschaft, meine Arbeit als Zweitprüferin zu übernehmen.



# Inhaltsverzeichnis

<b>1. Motivation</b>	<b>7</b>
1.1. Die Vision . . . . .	7
1.2. Das Gesamtprojekt . . . . .	7
1.3. Gesamtprojektunterteilung für eine vollautomatische interaktive Videoaufzeichnung von Vorlesungen . . . . .	8
1.4. Notwendigkeit einer Simulationssoftware . . . . .	9
1.5. Anforderungen an eine Simulationssoftware für Unterraumverfahren . . . . .	9
1.6. Eingrenzung des Projektumfanges . . . . .	10
<b>2. Allgemeiner Aufbau und Programmstruktur</b>	<b>11</b>
<b>3. Funktionen zur Handhabung des Programms</b>	<b>14</b>
3.1. Lade und Speichervorgänge . . . . .	14
3.2. Handhabung der Strukturen . . . . .	17
3.3. Funktionen zur Handhabung von Arrays . . . . .	19
3.4. Update-Routine . . . . .	21
<b>4. Berechnung der Reflexionen und deren Radien</b>	<b>22</b>
4.1. Reflexionsberechnung . . . . .	22
4.2. Berechnung der Radien . . . . .	27
<b>5. Umrechnung in Laufzeiten und Dämpfungen</b>	<b>29</b>
5.1. Ausbreitungsgeschwindigkeit von Schallwellen . . . . .	29
5.2. Umrechnung von Radien in Laufzeitverzögerungen . . . . .	30
5.3. Dämpfung der Intensität einer Schallwelle durch Ausbreitung . . . . .	31
5.4. Dämpfung der Amplitude einer Schallwelle durch Ausbreitung . . . . .	33
<b>6. Simulation des akustischen Raumes</b>	<b>37</b>
6.1. SIMULINK-Model . . . . .	37
6.2. Simulation mit MATLAB . . . . .	41
<b>7. Frequenzabhängige Oberflächenreflexionen</b>	<b>46</b>

---

<b>8. Fehler und Genauigkeiten</b>	<b>52</b>
8.1. Mikrofonarray . . . . .	52
8.1.1. Abstand zwischen den Mikrofonen . . . . .	52
8.1.2. Umrechnung von Laufzeiten in Winkel . . . . .	53
8.2. Winkelauflösung in verschiedenen Winkelbereichen . . . . .	55
8.2.1. Benötigte Winkelauflösung . . . . .	57
8.2.2. Verschiedene Winkelauflösungen und die Implementierung im Simulationsprogramm . . . . .	62
8.3. Phasenfehler durch Wertediskrete Wave- Files . . . . .	63
<b>9. Test</b>	<b>68</b>
9.1. Untersuchung der Simulationsgenauigkeit . . . . .	68
9.2. Aufnahme der Impulsantwort eines simulierten Raumes . . . . .	72
9.3. Schallquellen-Lokalisation mittels MUSIC-Algorithmus . . . . .	77
9.3.1. Vergleich zwischen vollreflektierenden und dämpfenden Oberflächen .	82
9.3.2. Vergleich zwischen günstigen und ungünstigen Raumanordnungen . .	85
<b>10. Ausblick</b>	<b>87</b>
<b>11. Schluss</b>	<b>88</b>
<b>Glossar</b>	<b>89</b>
<b>Literaturverzeichnis</b>	<b>92</b>
<b>Tabellenverzeichnis</b>	<b>94</b>
<b>Abbildungsverzeichnis</b>	<b>95</b>
<b>A. Quellcode der GUI</b>	<b>97</b>
<b>B. Graphische Oberfläche</b>	<b>119</b>
<b>C. Bedienungsanleitung</b>	<b>121</b>
C.1. Programm starten . . . . .	121
C.2. Raumabmessungen und Koordinaten Eingabe . . . . .	121
C.3. Winkelauflösung und Öffnungswinkel festlegen . . . . .	123
C.4. Audiodateien laden . . . . .	123
C.5. Wandparameter einstellen . . . . .	124
C.6. Start der Simulationsparameterberechnung . . . . .	124
C.7. Simulationsstart . . . . .	126

# 1. Motivation

Die Motivation für diese Bachelorarbeit resultiert aus der Überlegung von Studenten, ein System zu entwickeln, mit welchem es möglich ist, Vorlesungen wiederholt zu hören ohne ein halbes Jahr warten zu müssen. Dazu wurden grobe Überlegungen vorgenommen, die im Folgenden dargelegt werden. Diese Thesis ist ein Teil des Gesamtprojekts.

## 1.1. Die Vision

Zum Auf- und Nacharbeiten einer Vorlesung besteht für Studenten derzeit nur die Möglichkeit, sich an die Aufzeichnungen ihrer Kommilitonen zu halten, das Thema in einem Buch oder im Skript des Professors nachzulesen. Eine deutliche Verbesserung und Vereinfachung könnte durch die Bereitstellung von Videos der Vorlesungen im Internet erzielt werden. Um die Vorlesung in ihrer Gänze wahrnehmen zu können, ist es notwendig, dass alle Einwürfe und Nachfragen der Studenten aufgenommen werden, also eine interaktive Videoaufzeichnung stattfindet. Kostentechnisch realisierbar ist diese Vision auch nur, wenn die Videoaufzeichnung vollautomatisch ohne Kameramann funktioniert.

## 1.2. Das Gesamtprojekt

Eine vollautomatische interaktive Videoaufzeichnung der Vorlesung soll das Ziel mehrerer Bachelor und Masterarbeiten sein. Ohne Kameramann, ohne Mikrofon in der Hand und das interaktiv. Störgeräusche wie Klimaanlage, Straßenlärm sollen aus der Tonspur herausgefiltert werden. Der Professor wird von der Kamera verfolgt. Geregelt und aufgenommen wird dies über *Mikrofonarrays*.

### 1.3. Gesamtprojektunterteilung für eine vollautomatische interaktive Videoaufzeichnung von Vorlesungen

In der Abbildung 1.1 ist eine Projektunterteilung dargestellt. Aus der Abbildung ist zu lesen welche Unterprojekte möglich sind und wie die Unterprojekte miteinander verknüpft sind. Rötlich hinterlegt ist der Teil des Gesamtprojekts, welcher Thema dieser Bachelorarbeit ist.

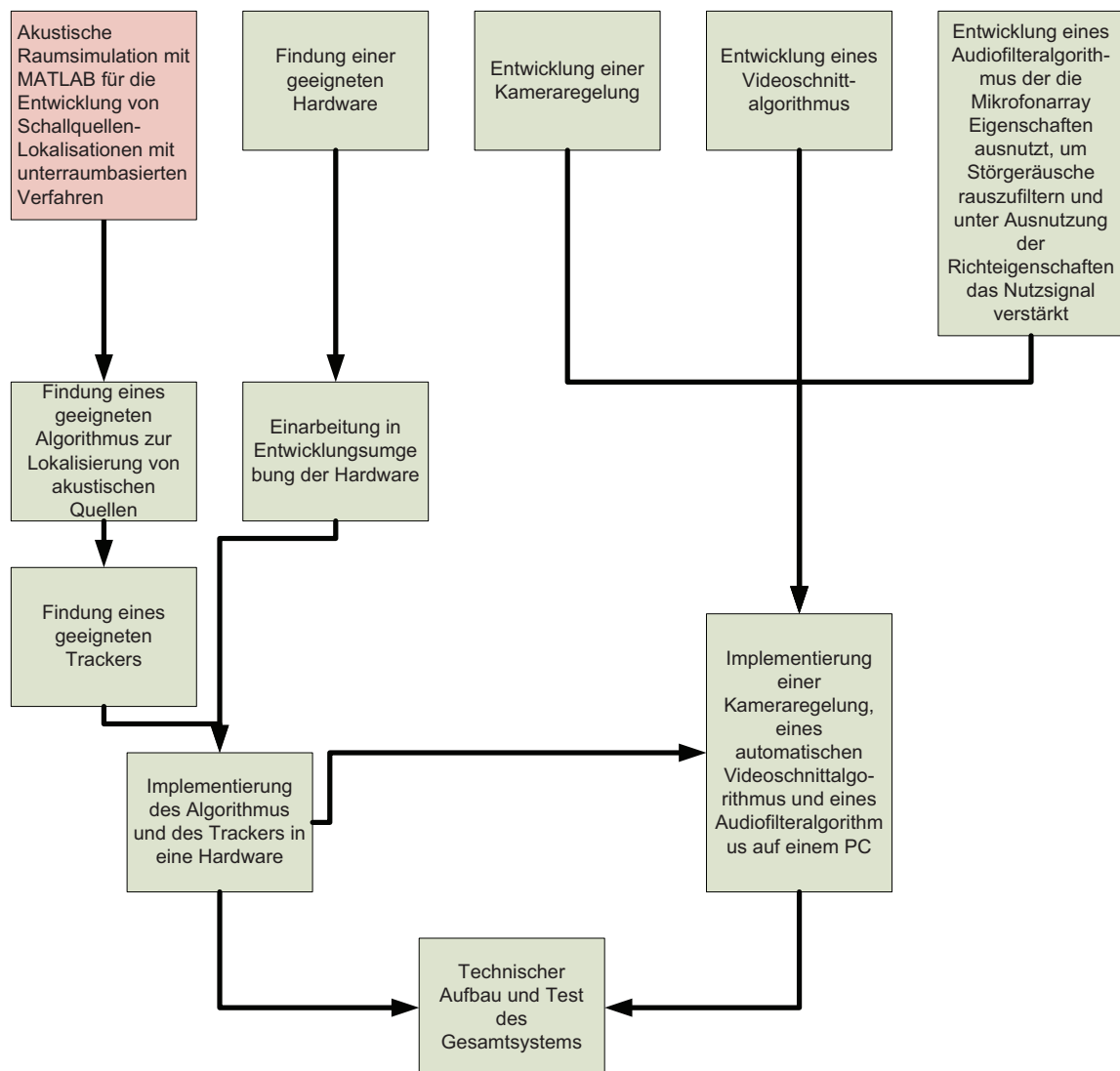


Abbildung 1.1.: Projektplan für die Entwicklung einer vollautomatischen interaktiven Videoaufzeichnung von Vorlesungen

## 1.4. Notwendigkeit einer Simulationssoftware

Zum Thema Mikrofonarray gibt es schon Diplom und Masterarbeiten. Leider konnten sich die Autoren wenig mit der Optimierung der Algorithmen und der Tracker befassen, da sie sehr viel Zeit in die Programmierung des neusten DSPs und damit in immer wieder andere Hardware und deren Entwicklungsumgebungen, investieren mussten. Sinnvoller wäre es, wenn die Studenten ihre Zeit unabhängig von der Hardware in die Algorithmen und Tracker investieren könnten.

Aus diesem Grund befasst sich diese Thesis mit der Entwicklung einer akustischen Raumsimulation für Mikrofonarrays unter MATLAB, mit dessen Hilfe die Studenten ihre Algorithmen und Tracker testen können.

An dieser Stelle ist festzustellen, ob bereits eine geeignete Simulationssoftware im Zuge einer Thesis oder anderweitig entwickelt wurde. Bei der Recherche zu dieser Bachelorthesis wurden einige Simulationsprogramme gefunden. Jedoch war keine Software frei zugänglich und es wurde kein Simulationsprogramm gefunden, welches sich auch für die Anforderung von *Unterraumverfahren* eignet.

## 1.5. Anforderungen an eine Simulationssoftware für Unterraumverfahren

- Die Laufzeitenunterschiede zwischen den einzelnen Mikrofonen müssen genau ermittelt werden. Dies gilt besonders bei der Verwendung von Algorithmen mit Unterraumverfahren, da bei Verwendung dieser Algorithmen die Mikrofone mit einem Abstand von nur wenigen Zentimetern zueinander angeordnet werden.
- Es muß möglich sein, mehrere Audioquellen gleichzeitig einzuspielen, um auch Störquellen wie Klimaanlage, Straßenlärm und Zwischenrufe simulieren zu können. Außerdem sollten auch Algorithmen getestet werden können, welche mehrere Sprecher unterscheiden können.
- Die Symmetrie der Mikrofonanordnung muss frei gestaltbar sein.
- Bewegte Quellen sollten auch simulierbar sein, da das Simulationsprogramm auch zur Verbesserung von Trackern verwendet werden soll.
- Reflexionen an Wänden und Decken müssen berücksichtigt werden, da diese ein Hauptproblem bei der Umsetzung in einer realen Umgebung sind.

- Verschiedene Beschaffenheiten von Wänden, Decken und Böden sollten berücksichtigt werden, da diese großen Einfluss auf die Zuverlässigkeit der Algorithmen haben.

## 1.6. Eingrenzung des Projektumfanges

Für die Eingrenzung des Projektumfanges wurde eine grobe Programmstrukturierung erstellt, die in Abbildung 1.2 abgebildet ist.

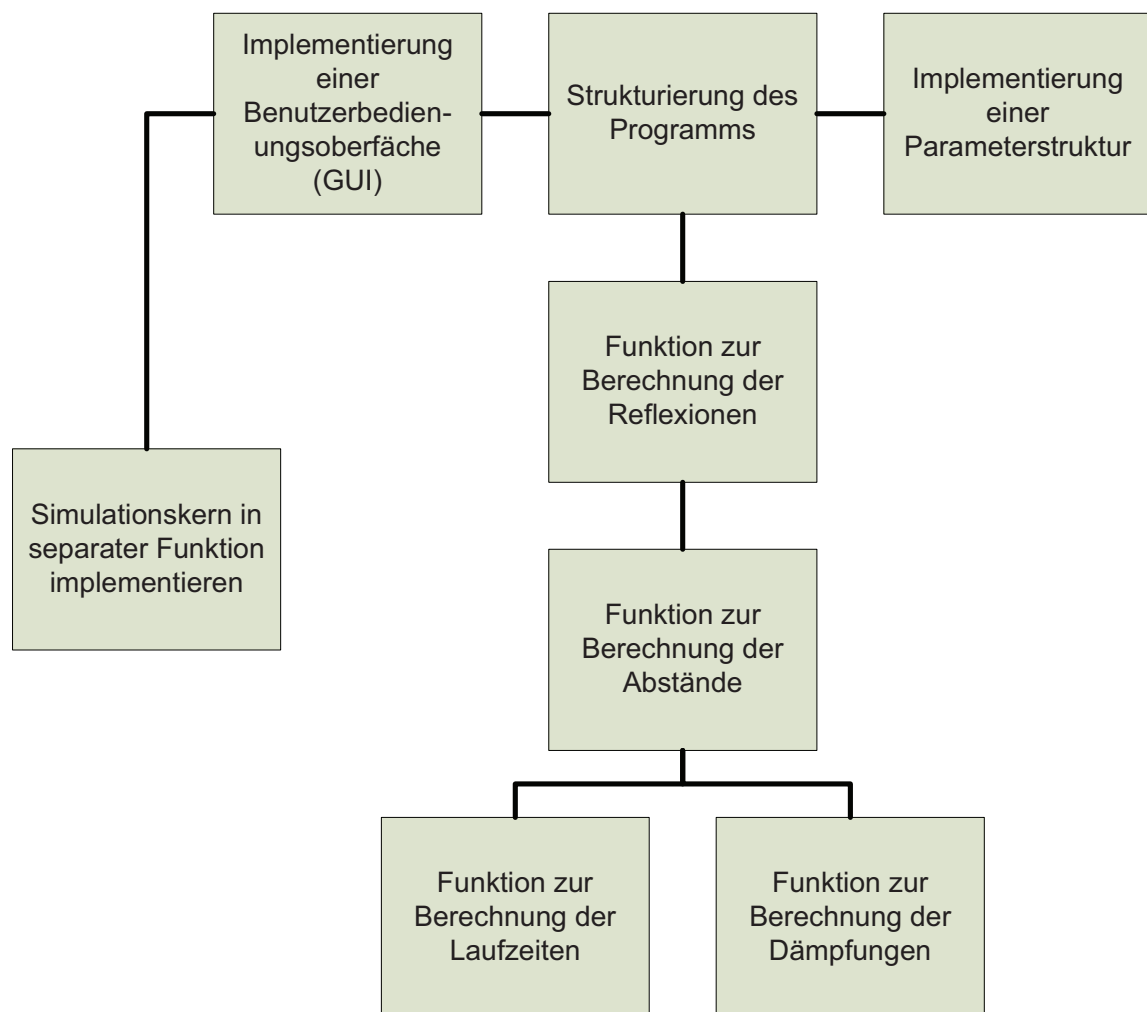


Abbildung 1.2.: Programmstrukturierung für die Entwicklung eines akustischen Raumsimulationsprogrammes

## 2. Allgemeiner Aufbau und Programmstruktur

Im Simulationsprogramm sind zwei Teile elementar für die Berechnung. Im ersten Teil werden die für die Simulation notwendigen Parameter aus den Koordinaten des Simulationsaufbaus berechnet. Dies geschieht unter MATLAB in einem 3-D-Array. Die Ergebnisse der Parameterberechnung werden für die Simulation verwendet. Im zweiten Schritt werden mit Hilfe der ermittelten Parameter der Raum akustisch simuliert. Dies kann beispielsweise in einer SIMULINK-Simulation geschehen, in welcher die ermittelten Parameter in Verzögerungsglieder und Dämpfungsglieder überführt werden oder auch unter MATLAB in einer Funktion übernommen werden.

Um die Parameter frei und komfortabel einstellen zu können, wurde eine graphische Oberfläche mit dem MATLAB-Tool *GUIDE* implementiert. Über die graphische Oberfläche lassen sich die Raumabmessungen, Mikrofon- und Audioquellenpositionen, sowie die Simulationsfrequenz einstellen. Es können Datensätze geladen und gespeichert werden. Audiodateien können für die Simulation geladen werden. Die graphische Oberfläche dient dabei der Übersichtlichkeit und Bedienfreundlichkeit und ist im Anhang B auf Seite 120 dargestellt.

Von der graphischen Oberfläche aus werden sowohl die Parameterberechnungen, als auch die Raumsimulation gestartet.

In Abbildung 2.1 wird dargestellt welche externen selbst erstellten Funktionen von der graphischen Oberfläche aus aufgerufen werden. Dabei sind alle Funktionen, die direkt die Parameter und die Raumsimulation berechnen, in Schwarz gekennzeichnet. Alle Funktionen die zur Handhabung des Programms zuständig sind, sind heller dargestellt.

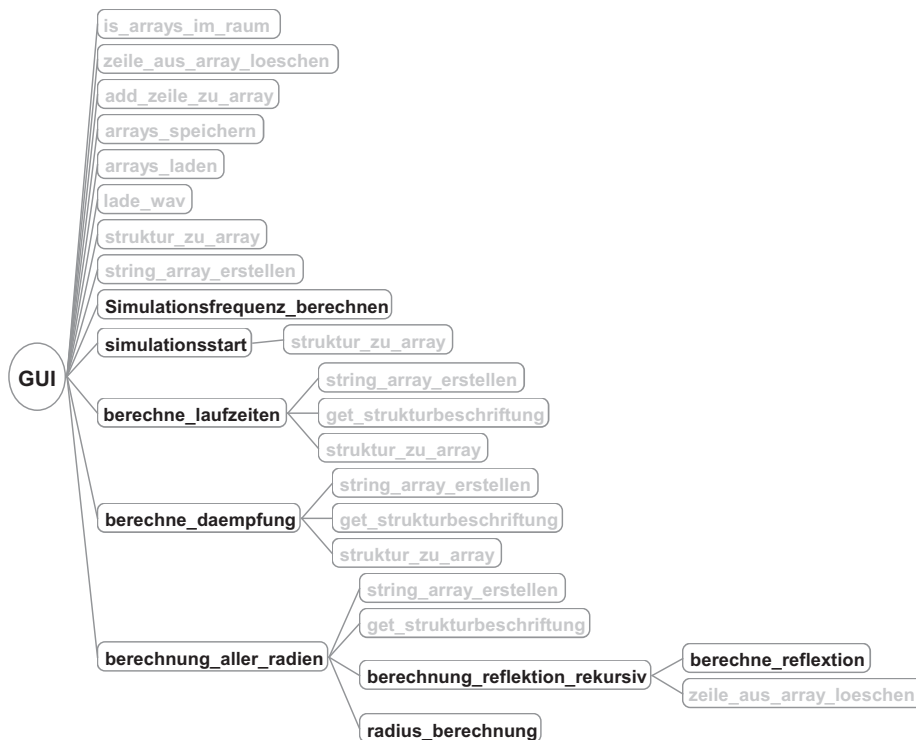


Abbildung 2.1.: Funktionsaufrufe aus der graphischen Oberfläche

Die *Callbacks* zur Bedienung der GUI und *CreateFunktion* zur Erstellung der GUI sind in Abbildung 2.1 nicht dargestellt. Im Anhang A wird das Listing A.1 der GUI aufgeführt. Erwähnenswert ist die Funktion *update\_fig\_uitable()*, die bei einer Veränderung eines Wertes die Tabellen und Graphiken aktualisiert. Auf diese Funktion wird im Kapitel 3 genauer eingegangen.

In Abbildung 2.2 auf Seite 13 wird eine Radienstruktur dargestellt, wie sie im Simulationsprogramm angelegt wird. Die Strukturen für die Dämpfungen und die Laufzeiten sind gleich strukturiert. Diese Strukturen wurden angelegt, damit die ermittelten Daten klar zuzuordnen sind. Alternativ hätte man die Daten in ein dreidimensionales Array schreiben können. Dies hätte aber zu großer Unübersichtlichkeit beim Lesen und Debugging des Quellcodes geführt.



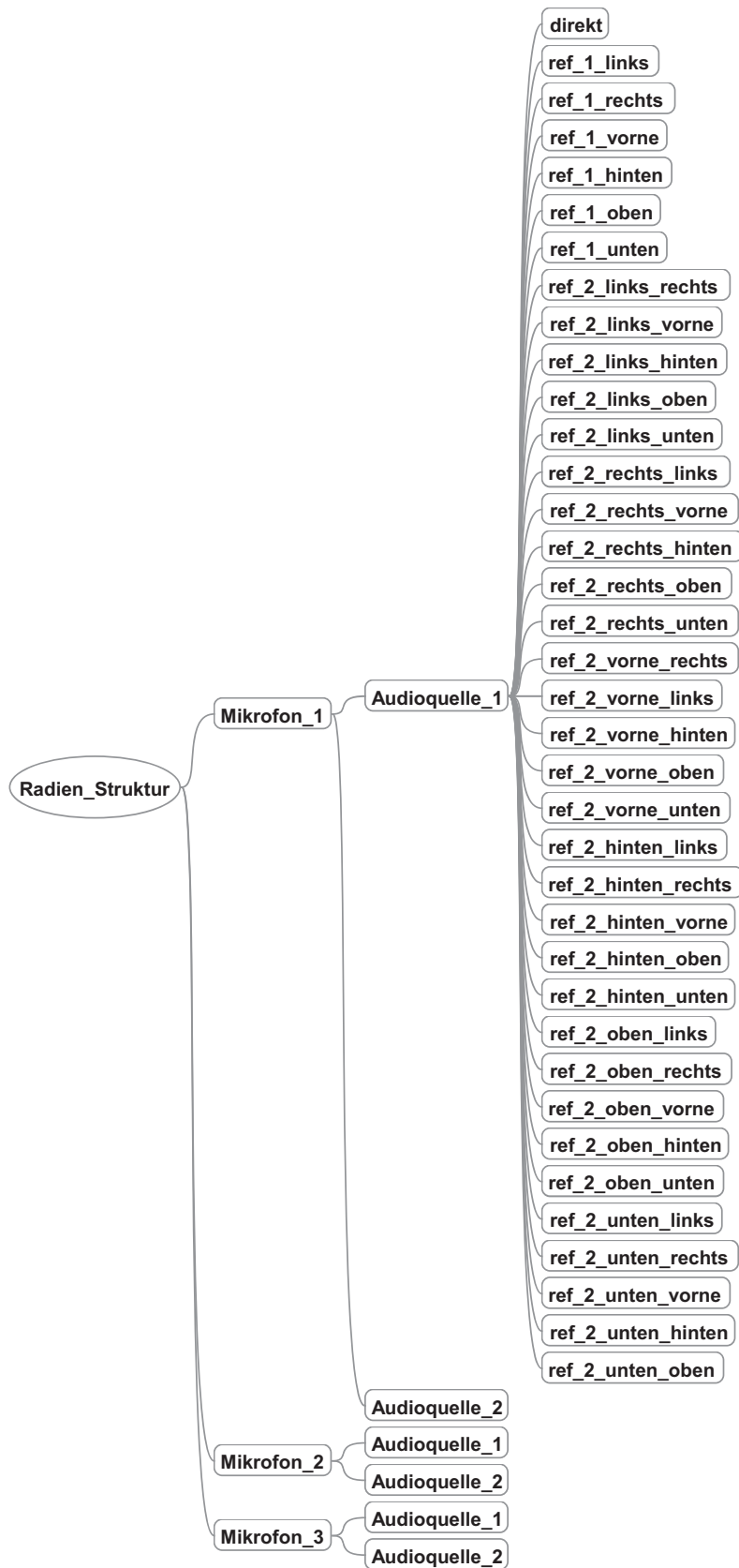


Abbildung 2.2.: Struktur der Radiendatensätze

## 3. Funktionen zur Handhabung des Programms

In diesem Kapitel werden alle Funktionen aufgeführt, die zur Organisation des Simulationsprogrammes verwendet werden. Dabei handelt es sich um Funktionen, die die Daten speichern und laden, Strukturen erstellen und verarbeiten oder auch Datenblöcke verarbeiten.

### 3.1. Lade und Speichervorgänge

Damit der Anwender verschiedene Anordnungen von Mikrofonen und Audioquellen, sowie die Raumdimensionierung nicht bei jeder Simulation neu eingeben muss, wurde eine Lade- und Speicher-Funktion implementiert. Die Funktionen `arrays_laden()` und `arrays_speichern()` starten einen sogenannten *Standarddialog*, der ein Ladefenster bzw. ein Speicherfenster öffnet. Das Listing 3.1 zum Laden der Anordnungsstrukturen ist im Folgenden aufgeführt. Nachdem der Standarddialog aufgerufen wird, in dem der Anwender eine Datei auswählen kann, wird die Datei geladen. Dabei wird überprüft, ob es sich um den richtigen Datentyp handelt und ob die Datei richtig geladen wurde. Zurückgegeben werden Raumdimensionen und die zwei 2D- Arrays für Mikrofonkoordinaten, Audioquellenkoordinaten.

Listing 3.1: Laden von Mikrofon- und Audioquellenanordnung

```
1 function [micarr audarr raum erfolgreich] = arrays_laden()
2 %Rückgabewerte:
3 %micarr = Die Koordinatenmatrix für alle Mikrofone
4 %audarr = Die Koordinatenmatrix für alle Audioquellen
5 %raum = Raumabmessungen
6 %erfolgreich = gibt an, ob der Ladevorgang erfolgreich war
7
8 %uigetfile ist ein Standarddialog zum Laden von Dateien. Durch
   diesen Befehl wird ein Fenster ausgewählt, mit dem der User
   eine Datei auswählen kann, welche er laden möchte.
   Zurückgegeben wird der Pfad und der Filename
9 [fname, pname] = uigetfile('*.mat', 'Datei_Laden'); %Nur Daten mit
   der Endung .mat sind auswählbar
```

```
10 if fname ~= 0    %Abfrage: Wenn eine Datei ausgewählt wurde, dann
11     komplettname = [pname, fname];    %Fügt den Pfad und Filename
        zusammen
12     daten = load(komplettname); %Laden der Daten mit Load
13     %Es wird der Datenblock untersucht, ob die Datenfeldnamen
        micarr, audarr und raum im Datenblock vorhanden sind:
14     if isfield(daten, 'micarr') && isfield(daten, 'audarr') &&
        isfield(daten, 'raum')
15         micarr = daten.micarr;    %Aufspalten des Datenblocks in ein
            Mikrofonkoordinatenarray
16         audarr = daten.audarr;    %Aufspalten des Datenblocks in ein
            Audiokoordinatenarray
17         raum = daten.raum;        %Aufspalten des Datenblocks in die
            Raumabmessung
18         erfolgreich = 1;          %Rückmeldung, dass das Laden der
            Datei erfolgreich war
19     else
20         h = MsgBox('Datei_vom_falschen_Typ', 'Fehler', 'modal');
            %MessageBox
21         uiwait(h); %Warten bis die MessageBox bestätigt wurde
22         micarr = NaN;    %micarr mit NaN kennzeichnen
23         audarr = NaN;    %audarr mit NaN kennzeichnen
24         raum = NaN;      %raum mit NaN kennzeichnen
25         erfolgreich = 0;    %Rückmeldung, dass das Laden der Datei
            nicht erfolgreich war
26     end
27 else
28     h = errordlg('Keine_Datei_ausgewählt', 'Fehler', 'modal'); %
        MessageBox
29     uiwait(h); %Warten bis die MessageBox bestätigt wurde
30     micarr = NaN;    %micarr mit NaN kennzeichnen
31     audarr = NaN;    %audarr mit NaN kennzeichnen
32     raum = NaN;      %raum mit NaN kennzeichnen
33     erfolgreich = 0;    %Rückmeldung, dass das Laden der Datei
        nicht erfolgreich war
34 end;
```

Das Listing 3.2 zum Speichern der Anordnungsstruktur verwendet ebenfalls einen Standarddialog, jedoch wird zuerst aus den 2D- Arrays eine Datenstruktur erzeugt. Nachdem der Anwender über den Standarddialog einen Pfad und einen Dateinamen ausgewählt hat, werden die Daten gespeichert. Dabei wird festgestellt, ob der Vorgang erfolgreich abgeschlossen wurde.

Listing 3.2: Speichern von Mikrofon- und Audioquellenanordnung

```

1 function erfolgreich = arrays_speichern(micarr, audarr, raum)
2 %Übergabeparameter:
3 %micarr = Mikrofonkoordinatenarray
4 %audarr = Audiokoordinatenarray
5 %raum = Raumabmessung
6 %
7 %Rückgabewert:
8 %erfolgreich = gibt eine Rückmeldung, ob der Speichervorgang
   erfolgreich war
9
10 %Die übergebenen Daten werden in eine Struktur verpackt
11 daten = struct('micarr',micarr,'audarr',audarr,'raum',raum);
12
13 %Die Funktion uinputfile() ist ein Standarddialog mit dem der User
   einen Pfad und einen Filename auswählt unter welchem die Daten
   gespeichert werden sollen
14 [fname, pname] = uinputfile('*.mat', 'Datei_speichern_unter'); %
   Endung der Datei wird auf .mat festgelegt
15 if fname ~= 0 %Abfrage: Ob ein Dateiname ausgewählt wurde
16     komplettname = [pname,fname]; %Zusammenfügen des Pfades und
   Filename
17     save(komplettname, '-struct', 'daten'); %Abspeichern der Daten
18     erfolgreich = 1; %Rückmeldung, dass die Speicherung
   erfolgreich war
19 else
20     h = errordlg('Keine_Datei_ausgewählt', 'Fehler', 'modal'); %
   Messagebox
21     uiwait(h); %Abwarten, bis die Messagebox vom User zur
   Kenntnis genommen wurde
22     erfolgreich = 0; %Rückmeldung, dass das Speichern der Daten
   nicht erfolgreich war
23 end;

```

Neben dem Laden und dem Speichern von Anordnungsstrukturen wurde eine Funktion zum Laden von Wave-Dateien implementiert 3.3. Dieser Funktion wird ein Beschriftungsstring übergeben in dem steht, welche Audioquelle geladen werden soll. Auch wird hier nach dem Standarddialog der Ladevorgang gestartet und eventuell auftretende Fehler werden abgefangen.

Listing 3.3: Laden von Wave-Dateien

```

1 function [Datei] = lade_wav(lade_dialog_beschriftung)
2

```

```

3 dialog_beschriftung_string = ['Lade_WAV-Datei_für_',char(
    lade_dialog_beschriftung)];
4
5 [fname,pname] = uigetfile('*.wav',dialog_beschriftung_string);
6 if fname ~= 0
7     komplettname = [pname,fname];
8     Datei = komplettname;
9 else
10    h = errordlg('Keine_Datei_ausgewählt', 'Fehler', 'modal');
11    uiwait(h);
12    Datei = 0;
13 end;

```

## 3.2. Handhabung der Strukturen

Wie im Kapitel 2 bereits erwähnt und in Abbildung 2.2 dargestellt, wird für das Handhaben der Daten eine selbst angefertigte Struktur verwendet. Zur einfachen Handhabung der Struktur wurden drei Funktionen geschrieben. In der Funktion 3.4 wird ein Cellarray erstellt, das zur Beschriftung der Anordnungsstruktur dient. Außerdem wird diese Funktion zum Beschriften von Tabellen verwendet.

Listing 3.4: Funktion zum erstellen von Cellarrays

```

1 function [str] = string_array_erstellen(laenge, name)
2 % Rückgabewert(str): Ein Cellarray mit name1...name_n
3 %Übergabeparameter(laenge): Laenge des Cellarrays
4 %Übergabeparameter(name): Name der Beschriftung z.B.: Audioquelle
    oder Mikrofon
5 str = [name '_' num2str(1)]; %str wird vorinitialisiert
6 str = {str}; %str wird in eine Cell_Struktur umgewandelt
7 for i=2:laenge %Von 2 bis Länge des Cellarrays
8     element = [name '_' num2str(i)]; %Cellarray-Element erstellen
9     str(i) = {element}; %Cellarray-Element in ein Cell umwandeln
    und dem Cellarray anhängen
10 end

```

In der Funktion 3.5 ist ein Beschriftungs-Cellarray hinterlegt.

Listing 3.5: Funktion in der ein Beschriftungs-Cellarray hinterlegt ist

```

1 function [beschriftung] = get_strukturbeschriftung()

```

```

2 beschriftung = {'direkt','ref_1_links','ref_1_rechts','ref_1_vorn'
  , 'ref_1_hinten','ref_1_oben','ref_1_unten','ref_2_links_rechts'
  , 'ref_2_links_vor','ref_2_links_hinten','ref_2_links_oben','
  ref_2_links_unten','ref_2_rechts_links','ref_2_rechts_vorn','
  ref_2_rechts_hinten','ref_2_rechts_oben','ref_2_rechts_unten','
  ref_2_vorn_links','ref_2_vorn_rechts','ref_2_vorn_hinten','
  ref_2_vorn_oben','ref_2_vorn_unten','ref_2_hinten_links','
  ref_2_hinten_rechts','ref_2_hinten_vorn','ref_2_hinten_oben','
  ref_2_hinten_unten','ref_2_oben_links','ref_2_oben_rechts','
  ref_2_oben_vorn','ref_2_oben_hinten','ref_2_oben_unten','
  ref_2_unten_links','ref_2_unten_rechts','ref_2_unten_vorn','
  ref_2_unten_hinten','ref_2_unten_oben'};

```

In der Funktion 3.6 wird eine übergebene Struktur in ein 2D-Array und zwei Beschriftungs-Cellarrays zerlegt.

Listing 3.6: Funktion zum Zerlegen von einer Anordnungsstruktur

```

1 function [datenblock zeilennamen spaltennamen] = struktur_zu_array
  (struktur)
2 %Rückgabewert(datenblock) : 2D- Array mit den in der übergebenen
  Struktur enthaltenen Werten
3 %Rückgabewert(zeilennamen) : Zeilennamen der übergebenen Struktur
4 %Rückgabewert(spaltennamen) : Spaltennamen der übergebenen Struktur
5 %Übergabeparameter(struktur) : Struktur, die in ein 2D Array und
  zwei Beschriftungs-Cellarrays zerlegt werden soll
6
7 zeilennamen = fieldnames(struktur); %Zeilennamen werden aus der
  Struktur gelesen
8 spaltennamen = fieldnames(getfield(struktur,char(zeilennamen(1))))
  ; %Spaltennamen werden aus der ersten Zeilenstruktur gelesen
9 for i=1:length(zeilennamen) %Von 1 bis Zeilenlänge
10   for j=1:length(spaltennamen) %Von 1 bis Spaltenlänge
11     datenblock(i,j) = getfield(struktur, char(zeilennamen(i)),
      char(spaltennamen(j))); %Elemente i und j werden bis n
      und m aus der Struktur gelesen und in ein 2D-Array
      geschrieben
12   end
13 end

```

### 3.3. Funktionen zur Handhabung von Arrays

Weitere drei Funktionen sind zur Handhabung der Daten-Arrays implementiert worden. Funktion 3.7 fügt eine Zeile einem Array hinzu, dabei wird überprüft, ob im Array schon mindestens eine Zeile ist.

Listing 3.7: Funktion um einem Array eine Zeile hinzuzufügen

```
1 function array = add_zeile_zu_array(array, neue_zeile)
2 %Diese Funktion fügt eine Zeile an ein Array an
3 %Übergabeparameter array ist ein Koordinatenvektorarray
4 %Übergabeparameter Zeile ist ein Koordinatenvektor
5 if isnan(array) %Abfrage: Ist das übergebene Array keine Zahl
6     array = neue_zeile; %Ersetze Arrayinhalt durch Zeile
7 else
8     [anzahl_zeilen anzahl_spalten] = size(array); %Anzahl der
9     Zeilen des Arrays
10    array(anzahl_zeilen+1,:) = neue_zeile; %Hängt die Zeile an
11    das Ende des Arrays an
12 end
```

Funktion 3.8 löscht eine bestimmte Zeile aus einem Array. Ist nur noch eine Zeile vorhanden wird auf das Array NaN zugewiesen.

Listing 3.8: Funktion um eine bestimmte Zeile aus einem Array zu löschen

```
1 function [array] = zeile_aus_array_loeschen(array, zeile_loeschen)
2 %Rückgabewert(array): neues um zeile gekürztes Array
3 %Übergabeparameter(array): 2D-Array, dem eine Zeile entfernt
4   werden soll
5 %Übergabeparameter(zeile_loeschen): Nummer der Zeile, die gelöscht
6   werden soll
7 [anzahl_zeilen anzahl_spalten] = size(array); %ermitteln wie viele
8   Zeilen das Array hat
9 if anzahl_zeilen>1 %wenn die Anzahl der Zeilen größer als 1 ist,
10 dann
11     for i=zeile_loeschen:anzahl_zeilen-1 %Von der Zeile an, die
12     gelöscht werden soll bis Anzahl der Zeilen-1
13         array(i,:) = array(i+1,:); %Überschreiben der Array-Zeilen
14     end
15     for i=1:anzahl_zeilen-1
16         array_z(i,:) = array(i,:); %Kopieren des Arrays, bis auf
17         die letzte Zeile
18     end
19     array=array_z; %Zurückschreiben des Arrays
```

```

14 else
15     array=NaN; %Array keiner Nummer zuweisen
16 end

```

Funktion 3.9 stellt fest, ob alle eingegebenen Mikrofon- und Audioquellen-Koordinaten in die Raumdimensionierung passen. Dabei wird darauf geachtet, dass kein Fehler entsteht, wenn einem Array der Wert *NaN* zugewiesen ist. Die Überprüfung wird mit dem Rückgabewert an die GUI zurückgegeben.

Listing 3.9: Funktion um festzustellen ob alle Mikrofone und Audioquellen im Raum sind

```

1 function [erfolgreich] = is_arrays_im_raum(micarr, audarr, raum)
2 %Rückgabewert(erfolgreich): Rückmeldung der Funktion, ob alle
3   Koordinaten im Raum sind
4 %Übergabeparameter(micarr): Koordinaten der Mikrofone
5 %Übergabeparameter(audarr): Koordinaten der Audioquellen
6 %Übergabeparameter(raum): Abmessungen des Raumes
7 if size(micarr)>1 %hat micarr mehr als eine Zeile, dann
8     if size(audarr)>1 %hat audarr mehr als eine Zeile, dann
9         max_mic = max(micarr); %Die Maximalwerte aus micarr werden
10          max_mic zugewiesen
11         max_aud = max(audarr); %Die Maximalwerte aus audarr werden
12          max_aud zugewiesen
13         max_array = [max_mic; max_aud]; %Die beiden Maximalzeilen
14          werden max_array zugewiesen
15     else %hat audarr nur eine Zeile, dann
16         max_mic = max(micarr); %Die Maximalwerte aus micarr werden
17          max_mic zugewiesen
18         max_array = [max_mic; audarr]; %Die beiden Maximalzeilen
19          werden max_array zugewiesen
20     end
21 else %hat micarr nur eine Zeile, dann
22     if size(audarr)>1 %hat audarr mehr als eine Zeile, dann
23         max_aud = max(audarr); %Die Maximalwerte aus audarr werden
24          max_aud zugewiesen
25         max_array = [micarr; max_aud]; %Die beiden Maximalzeilen
26          werden max_array zugewiesen
27     else %hat audarr und micarr nur eine Zeile, dann
28         if ~isnan(micarr) %Überprüfung, ob in micarr Koordinaten
29          stehen
30             if ~isnan(audarr) %Überprüfung, ob in audarr
31              Koordinaten stehen
32                 max_array = [micarr; audarr]; %Die beiden
33                  Maximalzeilen werden max_array zugewiesen
34             else

```



```
24         max_array = micarr; %micarr wird max_array
           zugewiesen
25     end
26     else
27         if ~isnan(audarr) %Überprüfung, ob in audarr
           Koordinaten stehen
28             max_array = audarr; %audarr wird max_array
           zugewiesen
29         else %wenn in beiden Arrays nichts steht, dann
30             max_array = [raum; raum]; %die Raumdimensionen
           werden zweimal max_array zugewiesen
31         end
32     end
33 end
34 end
35 max_zeile = max(max_array); %maximalwerte ermitteln
36 differenz = raum - max_zeile; %maximalwerte von den
           Raumdimensionen abziehen. Ist ein Wert unter 0, dann ist eine
           Koordinate außerhalb des Raumes
37 ergebnis = min(differenz); %kleinsten Wert der Differenz ermitteln
38 if ergebnis<0 %Ist Ergebnis unter 0, dann ist eine Koordinate
           außerhalb des Raumes
39     erfolgreich = 0; %Rückmeldung, eine Koordinate ist außerhalb
           der Raumdimension
40 else
41     erfolgreich = 1; %Rückmeldung, alle Koordinaten sind innerhalb
           der Raumdimensionen
42 end
```

### 3.4. Update-Routine

An dieser Stelle sei noch eine Funktion innerhalb des GUI-m-File zu erwähnen, weil sie eine besondere Aufgabe innerhalb der GUI hat. Das Listing A.1 des GUI-m-File ist dem Anhang beigefügt. Ab Zeile 123 fängt die Funktion *update\_fig\_uitable* an. Diese funktion wird immer dann aufgerufen, sobald sich einer der Koordinaten der Mikrofone oder Audioquellen geändert hat, oder die Raumdimension geändert wurde. In diesem Fall wird der Graph neu gezeichnet, die Tabellen und alle Popupmenüs aktualisiert und die Bedienfläche für den Simulationsstart deaktiviert. Diese zentrale Art der Aktualisierung wurde gewählt, da die Menge der Daten gering genug ist, um alle Daten immer zu aktualisieren, wenn sich ein Wert ändert und weil diese zentrale Art fehlerunanfälliger ist.

## 4. Berechnung der Reflexionen und deren Radian

Für jede Mikrofon-Sprachquellen-Kombination müssen alle Reflexionen I.- und II.-Ordnung berechnet werden. Dazu wird das sogenannte *Spiegelquellenverfahren* verwendet. Dardurch ergibt sich für jede Reflexion ein neuer Punkt im Raum oder außerhalb des Raums. Danach wird von jedem Punkt der Abstand zum Ziel berechnet.

### 4.1. Reflexionsberechnung

Da die in einem Raum sich ausbreitenden Schallwellen nicht ausschließlich direkt zum Mikrofon gelangen, sondern auch an Wänden, Decke und Fußboden reflektieren, werden im Folgendem die Reflexionen näher betrachtet.

Bei dem hier verwendeten Spiegelquellenverfahren wird die Sprachquelle an der reflektierenden Wand gespiegelt. Der Abstand zwischen der gespiegelten Quelle und dem Mikrofon entspricht der Strecke zwischen Quelle und Mikrofon bei Reflexion an der gespiegelten Wand. Der Zusammenhang ist in [Abbildung 4.1](#) auf [Seite 23](#) dargestellt.

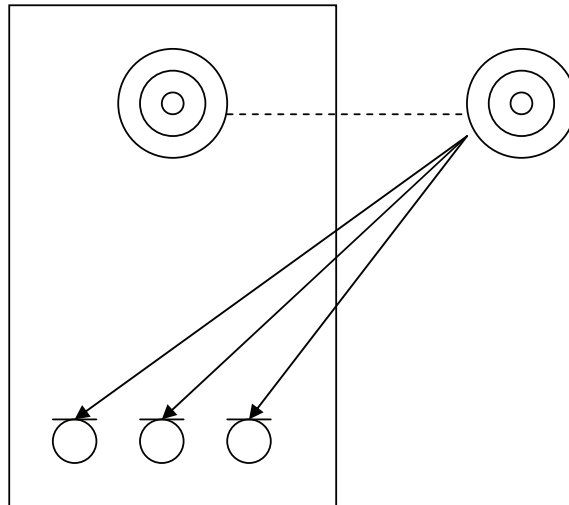


Abbildung 4.1.: Spiegelung eines Sprachquellenausgangspunktes mit einer Wand

Die Spiegelung der Sprachquelle mit einer Wand erfolgt in der Simulation mit den Formeln 4.1 und 4.2.

$$d = \frac{|\vec{n}(\vec{r}_Q - \vec{r}_1)|}{|\vec{n}|} \quad (4.1)$$

$$\vec{r}_s = 2 \cdot d \cdot \vec{e}_n + \vec{r}_Q \quad (4.2)$$

$\vec{n}$ : beliebiger senkrecht zur Ebene stehender Vektor

$\vec{r}_1$ : beliebiger Vektor auf beliebigem Punkt in der Ebene

$\vec{r}_Q$ : Vektor zu spiegelndem Punkt

$d$ : Abstand des zu spiegelnden Punktes zur Ebene

$\vec{r}_s$ : Vektor zum gespiegelten Punkt

$\vec{e}_n$ : Einheitsvektor in Richtung des senkrecht zur Ebene stehenden Vektors

Für die Berechnung der Spiegelung in dem Simulationsprogramm vereinfacht sich die Berechnung deutlich, da die jeweilige Ebene in bzw. parallel zu den Ebenen den Achsen liegen. Es muss nur der Lotpunkt der Ebenen zum zu spiegelnden Punkt ermittelt werden. Um den Lotpunkt zu ermitteln, wird der zu spiegelnde Punkt auf die Ebene transformiert. Dazu wird die Punktcoordinate, die orthogonal zur Ebene steht in die Ebene gelegt. Das heißt bei einer Ebene, die über die x-y Achse geht und an der Stelle z steht, hat der Lotpunkt die Koordinaten x und y vom Punkt P und die z-Koordinate von der Ebene. Um den Spiegelpunkt zu

ermitteln, wird jetzt der zu spiegelnde Vektorpunkt OP vom doppelten Lotpunktvektor abgezogen.

$$\vec{P}' = 2 \cdot \vec{x}_0 - \vec{P} \quad (4.3)$$

$2 \cdot \vec{x}_0$ : doppelter Lotpunktvektor

$\vec{P}'$ : gespiegelter Punkt

$\vec{P}$ : zu spiegelnder Punkt

Die Funktion 4.1 berechnet die Reflexionen einer Koordinate an den 6 Wänden des Raumes.

Listing 4.1: Funktion zur Berechnung von Reflexionen an Raumwänden

```

1 function [positionen_reflektiert] = berechne_reflexion(punkt,
   raum)
2 %Rückgabewert(positionen_reflektiert): Koordinaten der 6
   Reflexionen an den 6 Wänden des Raumes
3 %Übergabeparameter(punkt): Punkt der im 3D-Koordinatensystem an 6
   Wänden eines Raumes gespiegelt werden soll
4 %Übergabeparameter(raum): Raumdimensionen
5 lotpunkt_links = [0 1 1].*punkt; %Ermittlung des Lotpunktes mit
   der linken Wand
6 lotpunkt_rechts = [raum(1) punkt(2) punkt(3)]; %Ermittlung des
   Lotpunktes mit der rechten Wand
7 lotpunkt_vorn = [1 0 1].*punkt; %Ermittlung des Lotpunktes mit der
   vorderen Wand
8 lotpunkt_hinten = [punkt(1) raum(2) punkt(3)]; %Ermittlung des
   Lotpunktes mit der hinteren Wand
9 lotpunkt_oben = [punkt(1) punkt(2) raum(3)]; %Ermittlung des
   Lotpunktes mit der Decke
10 lotpunkt_unten = [1 1 0].*punkt; %Ermittlung des Lotpunktes mit dem
   Boden
11
12 ref_links = 2 * lotpunkt_links - punkt; %Ermittlung der
   Koordinaten des an der linken Wand gespiegelten Punktes
13 ref_rechts = 2 * lotpunkt_rechts - punkt; %Ermittlung der
   Koordinaten des an der rechten Wand gespiegelten Punktes
14 ref_vorn = 2 * lotpunkt_vorn - punkt; %Ermittlung der Koordinaten
   des an der vorderen Wand gespiegelten Punktes
15 ref_hinten = 2 * lotpunkt_hinten - punkt; %Ermittlung der
   Koordinaten des an der hinteren Wand gespiegelten Punktes

```

```

16 ref_oben = 2 * lotpunkt_oben - punkt; %Ermittlung der Koordinaten
    des an der Decke gespiegelten Punktes
17 ref_unten = 2 * lotpunkt_unten - punkt; %Ermittlung der
    Koordinaten des am Boden gespiegelten Punktes
18
19
20 positionen_reflektiert = [ref_links; ref_rechts; ref_vorn;
    ref_hinten; ref_oben; ref_unten]; %Die Koordinaten der 6
    gespiegelten Punkte werden untereinander auf eine Variable
    geschrieben

```

Für die Berechnung der Reflexionen zweiter Ordnung ergeben sich  $6 \cdot 5$  Reflexionen. Hier wird der Sprachsignalausgangspunkt in zwei Wänden gespiegelt. Schematisch verdeutlicht wird das in Abbildung 4.2.

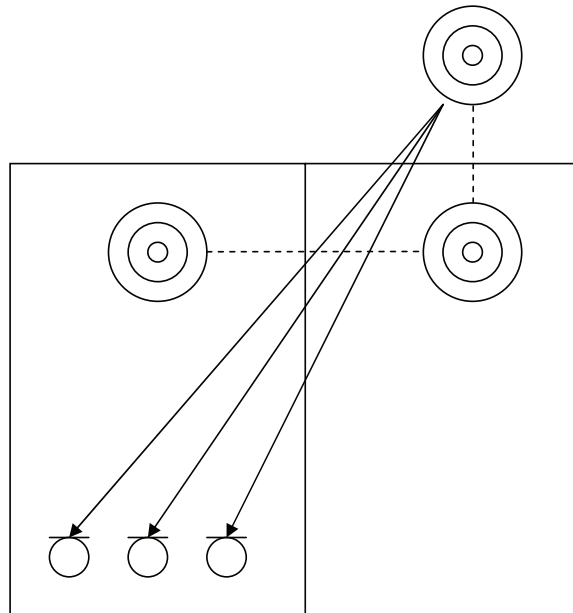


Abbildung 4.2.: Spiegelung eines Sprachquellenausgangspunktes mit zwei Wänden

Die Funktion 4.2 berechnet die Reflexionen der I.- und II.-Ordnung eines Punktes an den Wänden eines Raumes.

Listing 4.2: Funktion zur Berechnung der Reflexionen I.- und II.-Ordnung

```

1 function [positionen] = berechnung_reflektion_rekursiv(punkt,
    raum)
2 %Rückgabewert(positionen): 37 Positionen aller Reflexionen bis zur
    II.Ordnung

```

```

3 %Übergabewert(punkt): Koordinaten eines Punktes, der an den Wänden
  des Raumes gespiegelt werden soll
4 %Übergabeparameter(raum): Raumdimensionen
5 reflektion_I_Ordnung = berechne_reflexion(punkt, raum); %
  Funktionsaufruf zur Ermittlung der 6 Reflexionen des
  Ausgangspunktes an den 6 Wänden des Raumes
6 for i=1:6 %Von 1 bis 6
7   zwischenspeicher = berechne_reflexion(reflektion_I_Ordnung(i
 ,:), raum); %Funktionsaufruf zur Ermittlung der 6
  Reflexionen eines reflektierten Punktes der Reflexion I.
  Ordnung an den 6 Wänden des Raumes
8   zwischenspeicher = zeile_aus_array_loeschen(zwischenspeicher,
  i); % Doppelspiegelungen an der selben Wand werden gelöscht
9   reflektionen_II_Ordnung((i-1)*5)+1:i*5,1:3) =
  zwischenspeicher; %Zuweisung des Zwischenspeichers auf
  reflektionen_II_Ordnung
10 end
11 positionen = [punkt; reflektion_I_Ordnung;
  reflektionen_II_Ordnung]; %Zusammenfügung aller Positionen

```

Damit alle Radien zwischen jedem Mikrofon und Audioquelle mit deren gespiegelten Koordinaten bis zur II.-Ordnung ermittelt werden können, wurde die Funktion 4.3 geschrieben. Die Funktion dient somit der Organisation und fügt am Ende alle ermittelten Radien der in Abbildung 2.2 beschriebenen Struktur zu. Im Quellcode ist zu beachten, dass nicht die Reflexionen der Audioquellen berechnet werden, sondern die Reflexionen der Mikrofone. Dies wurde so festgelegt, um die Berechnung von bewegten Quellen zu vereinfachen. Es hat keinerlei Auswirkungen auf die Ergebnisse, ob die Reflexionen der Mikrofone oder die der Audioquellen berechnet wird. Der ermittelte Radius ist derselbe.

Listing 4.3: Organisation der Reflexions- und Radienberechnung

```

1 function [mic] = berechnung_aller_radien(micarr, audarr, raum)
2 %Rückgabewert(mic): Radien zwischen den Mikrofonen und den
  Audioquellen eingeordnet in eine Struktur, die mit Mikrofon_1
  ... Mikrofon_n anfängt
3 %Übergabeparameter(micarr): Koordinaten aller Mikrofone
4 %Übergabeparameter(audarr): Koordinaten aller Audioquellen
5 %Übergabeparameter(raum): Raumdimensionen
6 s = struct('direkt', 0); %Vorinitialisierung der Struktur s
7 audio = struct('Audioquelle_1', 0); %Vorinitialisierung der
  Struktur audio
8 Audiostring = string_array_erstellen(size(audarr), 'Audioquelle');
  %Erzeugt eine Strukturbeschriftung der 2.Ebene

```

```

9  strukturbeschriftung = get_strukturbeschriftung(); %Lädt die
   Strukturbeschriftung der ersten Ebene
10 laenge_struktur = length(strukturbeschriftung); %Ermittlung der
   Länge der Strukturbeschriftung
11 anzahl_mikrofone = size(micarr); %Ermittlung der Anzahl der
   Mikrofone
12 anzahl_audioquellen = size(audarr); %Ermittlung der Anzahl der
   Audioquellen
13 for i=1:anzahl_mikrofone %Von 1 bis Anzahl der Mikrofone
14     positionen = berechnung_reflektion_rekursiv(micarr(i,:), raum
   ); %Berechnung aller Reflexionen eines Mikrofons
15     radien = radius_berechnung(positionen, audarr); %Berechnung
   aller Radian der reflektierten Mikrofone mit den
   Audioquellen
16     for j=1:size(radien) %Von 1 bis Anzahl der Audioquellen
17         for k=1:laenge_struktur %Von 1 bis Länge der Struktur
18             s = setfield(s, char(strukturbeschriftung(k)), radien(
   j,k)); %Struktur zusammenfügen auf der ersten Ebene
19         end
20         audio = setfield(audio, char(Audiostring(j)), s); %
   Struktur zusammenfügen auf der zweiten Ebene
21     end
22     mic(i) = audio; %Struktur zusammenfügen auf der dritten Ebene
23 end

```

Reflexionen höherer Ordnungen wurden vernachlässigt, da mit der Implementierung der Reflexionen I.- und II.-Ordnung bezweckt werden sollte, dass beim Test der Algorithmen Schwierigkeiten im realen Raum mehr zur Geltung kommen. Eine Hauptschwierigkeit der Algorithmen ist dabei die Detektierung von Reflexionen, dabei ist es am wahrscheinlichsten, dass Reflexionen der ersten und zweiten Ordnung detektiert werden. Der Algorithmus muss zwischen direktem Schall und reflektierendem Schall unterscheiden. Möchte der Anwender die Störung durch den diffusen Nachhall mit testen, kann der Anwender eine Audiodatei mit weißem Rauschen mit in die Simulation einfügen.

## 4.2. Berechnung der Radian

Um den Abstand zwischen den Mikrofonen und den Audioquellen bzw. deren Spiegelungen zu berechnen, wird in einem ersten Schritt Formel 4.4 verwendet. Dabei wird ein Hilfsvektor zwischen den beiden Punkten berechnet. Formel 4.5 ist im zweiten Schritt erforderlich, um den Betrag des Hilfsvektors zu ermitteln. Der Betrag des Hilfsvektors entspricht dem Abstand bzw. Radius zwischen Mikrofon und Audioquelle.

$$\vec{a} = \overrightarrow{P_1 P_2} = (x_2 - x_1) \vec{e}_x + (y_2 - y_1) \vec{e}_y + (z_2 - z_1) \vec{e}_z = \begin{pmatrix} x_2 - x_1 \\ y_2 - y_1 \\ z_2 - z_1 \end{pmatrix} \quad (4.4)$$

$$|\vec{a}| = \sqrt{a_x^2 + a_y^2 + a_z^2} \quad (4.5)$$

Im Simulationsprogramm wurde die Berechnung des Abstandes so implementiert, dass der Abstand zwischen allen Mikrofonen und allen Audioquellen, wie in der Funktion 4.4 aufgeführt ist, berechnet wird.

Listing 4.4: Funktion zum Berechnen der Abstände

```

1 function [radius] = radius_berechnung(micarr, audarr)
2 %Rückgabewert(radius): ist ein 2D- Array mit allen Radien zwischen
   den Mikrofunkordinaten und den Audiokoordinaten
3 %Übergabeparameter(micarr): Koordinaten der Mikrofone
4 %Übergabeparameter(audarr): Koordinaten der Audioquellen
5 if isnan(micarr) %hier wird überprüft ob in micarr eine Zeile
   steht
6     radius = NaN; %in diesem Fall wird als Ergebnis NaN
   zurückgegeben
7 else
8     if isnan(audarr) %hier wird überprüft ob in audarr eine Zeile
   steht
9         radius = NaN; %in diesem Fall wird als Ergebnis NaN
   zurückgegeben
10    else
11        for j=1:size(audarr) %Von 1 bis Anzahl der Audioquellen
12            for i=1:size(micarr) %Von 1 bis Anzahl der
   Mikrofonquellen
13                micarr_z(i,:) = micarr(i,:)-audarr(j,:); %
   Hilfsvektor zwischen den beiden Punkten
   berechnen
14                radius(j,i) = sqrt(micarr_z(i,1)^2+micarr_z(i,2)
   ^2+micarr_z(i,3)^2); %Betragsberechnung des
   Hilfsvektors
15            end
16        end
17    end
18 end

```



## 5. Umrechnung in Laufzeiten und Dämpfungen

Im Folgenden wird der mathematische Zusammenhang bei der Umrechnung von Radian in Laufzeitverzögerungen und Dämpfungen hergeleitet. Bei der Dämpfung durch Ausbreitung wird einmal über die Intensität und einmal über die Amplitude der Schallwelle die Berechnungsformel hergeleitet. Dabei wird deutlich, dass die Intensität quadratisch und die Amplitude der Schallwelle linear mit dem Abstand abnimmt. Hierzu wird vorweg die Ausbreitungsgeschwindigkeit von Schallwellen berechnet.

### 5.1. Ausbreitungsgeschwindigkeit von Schallwellen

Die Ausbreitungsgeschwindigkeit von Schallwellen ist von vier Parametern abhängig, wie in Formel 5.1 [13, Seite 467] ersichtlich ist.

$$v = \sqrt{\frac{\gamma \cdot R \cdot T}{m_{\text{Mol}}}} \quad (5.1)$$

$\gamma$ : Ist eine Konstante für zweiatomige Moleküle, wie  $\text{O}_2$  und  $\text{N}_2$ . Da Luft zu 98% aus diesen Molekülen besteht, wird hier die Konstante für zweiatomige Moleküle eingesetzt: 1,4

$R$ : ist die universelle Gaskonstante und beträgt:  $8,314 \frac{\text{J}}{\text{mol} \cdot \text{K}}$

$m_{\text{Mol}}$ : molare Masse des Gases, in dem die Schallwellenausbreitung stattfindet. Hier Luft mit einem Wert von:  $29 \cdot 10^{-3} \frac{\text{kg}}{\text{mol}}$

$T$ : Ist die Umgebungstemperatur in der die Schallwellenausbreitung stattfindet. Hier wurde  $20^\circ \text{C}$  gewählt, da davon ausgegangen werden kann, dass Versuche mit einem Mikrofonarray bei Raumtemperatur stattfindet. Damit hat  $T$  einen Wert von  $293 \text{K}$ .

Nach Einsetzen der Größen in Formel 5.1 kommt man zum Ergebnis 5.2.

$$v = \sqrt{\frac{\gamma \cdot R \cdot T_{20^\circ\text{C}}}{m_{\text{Mol}}}} = \sqrt{\frac{1,4 \cdot 8,314 \frac{\text{J}}{\text{mol} \cdot \text{K}} \cdot 293 \text{K}}{29 \cdot 10^{-3} \frac{\text{kg}}{\text{mol}}}} = 343 \frac{\text{m}}{\text{s}} \quad (5.2)$$

## 5.2. Umrechnung von Radien in Laufzeitverzögerungen

Zur Umrechnung von Radien in Laufzeitverzögerungen wird Formel 5.3 verwendet.

$$T_{\text{Tot}} = \frac{r}{v_{\text{Luft}}} \quad (5.3)$$

$T_{\text{Tot}}$ : Laufzeitverzögerung

$r$ : Abstand zwischen Mikrofon und Audioquelle

$v_{\text{Luft}}$ : Ausbreitungsgeschwindigkeit von Schallwellen in dem Medium Luft.

Der entsprechende MATLAB-Code wird im Listing 5.1 dargestellt. Dabei wird der Funktion eine wie in Kapitel 2 in Abbildung 2.2 beschriebene Struktur übergeben und wieder als Rückgabewert zurückgegeben. Die Struktur wird in der Funktion in Datenblöcke zerlegt, die Laufzeiten berechnet und am Ende werden die Datenblöcke wieder in Strukturen geschrieben.

Listing 5.1: Umrechnung von Radien in Laufzeitverzögerung

```

1 function [laufzeiten_array_struktur] = berechne_laufzeiten(
    radien_array_struktur)
2 %Bei den hier übergebenen Strukturen handelt es sich um Strukturen
    mit 3
3 %Ebenen. Ebene 1 mit Mikrofon_1 bis Mikrofon_n, Ebene 2 mit
    Audioquelle_1
4 %bis Audioquelle_n und Ebene 3 mit allen Wegen die die
    Schallwellen von den
5 %Audioquellen zu den Mikrofonen nimmt (direkt-->refWandxWandy),
    insgesamt 37.
6
7 laenge_des_radien_arrays = length(radien_array_struktur); %Länge
    der Struktur ermitteln
8
9 s = struct('direkt', 0); %Struktur "s" vorinitialisiert
10 audio = struct('Audioquelle_1', 0); %Struktur "audio"
    vorinitialisiert

```

```
11 Audiostring = string_array_erstellen(length(fieldnames(
    radien_array_struktur)), 'Audioquelle');
12 %erstellt Audiostring um die neue Stuktur zu beschriften
13
14 strukturbeschriftung = get_strukturbeschriftung(); %gibt die
    Strukturbeschriftung zurück, die in get_strukturbeschriftung
    definiert ist
15 laenge_struktur = length(strukturbeschriftung); %Länge der
    Strukturbeschriftung
16 for i=1:laenge_des_radien_arrays %Von 1 bis Anzahl der Mikrofone
17     [datenblock zeilennamen spaltennamen] = struktur_zu_array(
        radien_array_struktur(i)); %Wandelt die Struktur in einen 2
        D Datenblock um
18     datenblock = datenblock./343; % Berechnung der Laufzeiten für
        alle Daten im Datenblock
19     %Ab hier wird der Datenblock wieder in eine Struktur
        zurückgeführt
20     for j=1:size(datenblock) %Von 1 bis Anzahl der Audioquellen
21         for k=1:laenge_struktur%Von 1bis Anzahl der
            Schallwellenwege
22             s = setfield(s, char(strukturbeschriftung(k)),
                datenblock(j,k)); %Zusammensetzen der Struktur auf
                der Ebene 3
23         end
24         audio = setfield(audio, char(Audiostring(j)), s); %
            Zusammensetzen der Struktur auf Ebene 2
25     end
26     laufzeiten_array_struktur(i) = audio; %Zusammensetzen der
        Struktur auf Ebene 1
27 end
```

### 5.3. Dämpfung der Intensität einer Schallwelle durch Ausbreitung

Wenn sich eine punktförmige Wellenquelle in der Luft kugelförmig ausbreitet, dann wird die Energie in einem Abstand von  $r$  auf die Oberfläche der Kugelform  $A = 4 \cdot \pi \cdot r^2$  gleichmäßig verteilt. Die Leistung  $P$ , die auf eine Fläche  $A$  abgestrahlt wird, ist immer gleich. Der Quotient  $\frac{P}{A}$  wird als Leistungsdichte bezeichnet. Bei einer Kugelausbreitung ergibt der Quotient  $\frac{P}{4 \cdot \pi \cdot r^2}$ . Mit zunehmender Entfernung nimmt die Leistungsdichte quadratisch ab. Die mittlere

Leistungsdichte, die auf eine Fläche  $A$  senkrecht zur Ausbreitungsrichtung auftrifft, wird als die Intensität der Welle bezeichnet. [13, Seite 478]

$$I = \frac{\langle P \rangle}{A_{\text{Kugel}}} \quad (5.4)$$

$I$ : Intensität der Welle mit der Einheit:  $\frac{\text{Watt}}{\text{Quadratmeter}} = \frac{W}{m^2}$

$\langle P \rangle$ : mittlere Leistung auf der Kugeloberfläche der ausbreitenden Schallwelle, welche der mittleren erzeugten Leistung am Lautsprecher äquivalent ist.

$A_{\text{Kugel}}$ : Kugeloberfläche der sich ausbreitenden Schallwelle

Die Leistung, die direkt an der Membran einer Audioquelle entsteht ist aus dem Produkt von Membranfläche und Intensität der Welle an der Membran errechenbar.

$$\langle P \rangle = I_{\text{Membran}} \cdot A_{\text{Membran}} \quad (5.5)$$

$I_{\text{Membran}}$ : Schallintensität an der Lautsprechermembran

$A_{\text{Membran}}$ : Oberfläche der Lautsprechermembran

Die Intensität der Welle auf der Kugeloberfläche ist der Quotient von mittlerer Leistung zur Kugeloberfläche.

$$I_{\text{Kugel}} = \frac{\langle P \rangle}{A_{\text{Kugel}}} = \frac{\langle P \rangle}{4 \cdot \pi \cdot r^2} \quad (5.6)$$

$I_{\text{Kugel}}$ : Schallintensität an der Kugeloberfläche der ausbreitenden Schallwelle

Um den Zusammenhang der beiden Intensitäten ersichtlich zu machen, setzt man die Formeln 5.5 in die Formel 5.6 ein.

$$I_{\text{Kugel}} = \frac{I_{\text{Membran}} \cdot A_{\text{Membran}}}{4 \cdot \pi \cdot r^2} \quad (5.7)$$

Löst man die Gleichung nach dem Verhältniss der Intensitäten der Schallquellen auf, so erhält man die Dämpfung  $a_I$ . Aus dem konstanten Term  $\frac{A_{\text{Membran}}}{4 \cdot \pi}$  wird die Konstante  $\alpha$ . Die Dämpfung der Intensität  $a_I$  nimmt mit dem Abstand  $r$  quadratisch zu.

$$\frac{I_{\text{Kugel}}}{I_{\text{Membran}}} = \frac{1}{r^2} \cdot \overbrace{\frac{A_{\text{Membran}}}{4 \cdot \pi}}^{\alpha} = a_I \quad (5.8)$$

Zusammengefasst ergibt sich die die Formel 5.9.

$$a_l = \alpha \cdot \frac{1}{r^2} \quad (5.9)$$

## 5.4. Dämpfung der Amplitude einer Schallwelle durch Ausbreitung

Wird die Berechnung der Amplitude als Ausgangs- und Eingangswert zugrunde gelegt, kommt man zu einem linearen Zusammenhang von Amplitudenverhältnis  $\frac{S_{\max, \text{Kugel}}}{S_{\max, \text{Membran}}}$  und dem Abstand  $r$ .

Zur Übersicht wird der Rechenweg einmal dargestellt.

$$S_{\max, \text{Membran}} \rightarrow I_{\text{Membran}} \rightarrow \langle P \rangle \rightarrow I_{\text{Kugel}} \rightarrow S_{\max, \text{Kugel}}$$

$S_{\max, \text{Membran}}$ : Amplitude der Lautsprechermembran

$S_{\max, \text{Kugel}}$ : Amplitude an der Kugeloberfläche der ausbreitenden Schallwelle

Mit der Formel 5.10 [13, Seite 479] wird die Intensität an der Membran eines Lautsprechers berechnet.

$$I = \frac{1}{2} \cdot \rho_0 \cdot \omega^2 \cdot S_{\max}^2 \cdot v \quad (5.10)$$

$\rho_0$ : Gleichgewichtsdichte von Luft mit dem Wert:  $1,29 \frac{\text{kg}}{\text{m}^3}$

Für die weitere Berechnung wird Formel 5.10 nach  $S_{\max}$  umgestellt.

$$S_{\max} = \sqrt{\frac{I \cdot 2}{\rho_0 \cdot \omega^2 \cdot v}} \quad (5.11)$$

Für die Amplitude an der Kugeloberfläche der sich ausbreitenden Schallwelle gilt folglich.

$$S_{\max, \text{Kugel}} = \sqrt{\frac{I_{\text{Kugel}} \cdot 2}{\rho_0 \cdot \omega^2 \cdot v}} \quad (5.12)$$

Für die Intensität wird in Formel 5.12 Formel 5.4 eingesetzt.

$$S_{\max, \text{Kugel}} = \sqrt{\frac{\langle P \rangle \cdot 2}{A_{\text{Kugel}} \cdot \rho_0 \cdot \omega^2 \cdot v}} \quad (5.13)$$

Für  $A_{\text{Kugel}}$  kann  $r^2 \cdot 4 \cdot \pi$  eingesetzt werden.

$$S_{\max, \text{Kugel}} = \sqrt{\frac{\langle P \rangle \cdot 2}{r^2 \cdot 4 \cdot \pi \cdot \rho_0 \cdot \omega^2 \cdot v}} \quad (5.14)$$

Da die mittlere Leistung  $\langle P \rangle$  an der Membran des Lautsprechers gleich groß der mittleren Leistung auf der Kugeloberfläche ist, wird für  $\langle P \rangle$  in Formel 5.14 Formel 5.5 eingesetzt.

$$S_{\max, \text{Kugel}} = \sqrt{\frac{I_{\text{Membran}} \cdot A_{\text{Membran}} \cdot 2}{r^2 \cdot 4 \cdot \pi \cdot \rho_0 \cdot \omega^2 \cdot v}} \quad (5.15)$$

Für  $I_{\text{Membran}}$  wird Formel 5.10 eingesetzt.

$$S_{\max, \text{Kugel}} = \sqrt{\frac{\frac{1}{2} \cdot \rho_0 \cdot \omega^2 \cdot S_{\max, \text{Membran}}^2 \cdot v \cdot A_{\text{Membran}} \cdot 2}{r^2 \cdot 4 \cdot \pi \cdot \rho_0 \cdot \omega^2 \cdot v}} \quad (5.16)$$

Die Ausbreitungsgeschwindigkeit  $v$ , Frequenz  $\omega$ , Gleichgewichtsdichte  $\rho_0$  und der Faktor 2 kürzen sich weg.

$$S_{\max, \text{Kugel}} = \sqrt{\frac{S_{\max, \text{Membran}}^2 \cdot A_{\text{Membran}}}{r^2 \cdot 4 \cdot \pi}} \quad (5.17)$$

Die quadratische Amplitude an der Membran  $S_{\max, \text{Membran}}^2$  wird aus der Wurzel herausgezogen und auf die linke Seite gebracht, was der Dämpfung  $a_A$  entspricht.

$$\frac{S_{\max, \text{Kugel}}}{S_{\max, \text{Membran}}} = \sqrt{\frac{A_{\text{Membran}}}{r^2 \cdot 4 \cdot \pi}} = a_A \quad (5.18)$$

Der konstante Term  $\frac{A_{\text{Membran}}}{4 \cdot \pi}$  wird zu einer Konstanten  $\alpha$  zusammengefasst.

$$a_A = \sqrt{\frac{\alpha}{r^2}} \quad (5.19)$$

Für eine bessere Übersicht wird der quadratische Abstand  $r^2$  aus der Wurzel herausgezogen und es ergibt sich die endgültige Formel 5.20.

$$a_A = \sqrt{\alpha} \cdot \frac{1}{r} \quad (5.20)$$

Im Simulationsprogramm wird die Dämpfung der Amplitude  $a_A$  verwendet, da dies die dem Anwender interessante Größe ist. Sowohl dem Lautsprecher wird eine Amplitude vorgegeben, als auch vom Mikrophon wird eine Amplitude aufgenommen.

Im Folgenden MATLAB-Code 5.2 wird die Berechnung der Dämpfung durchgeführt. Auch hier wird der Funktion eine Struktur übergeben und die Funktion gibt eine Struktur zurück.

Listing 5.2: Umrechnung von Radien in Dämpfungen

```

1 function [daempfung_array_struktur] = berechne_daempfung(
    radien_array_struktur)
2 %Diese Funktion berechnet die Dämpfung aus einer Radienstruktur
3 %
4 %Übergabeparameter:
5 %radien_array_stuktur: ist eine Struktur in der alle Radienwerte
    abgespeichert sind
6 %
7 %Rückgabewert:
8 %daempfung_array_stuktur: ist eine Struktur in der alle
    Dämpfungswerte abgespeichert werden
9
10 laenge_des_radien_arrays = length(radien_array_struktur); %Die
    Länge des Radienarrays wird ermittelt
11
12 s = struct('direkt', 0); %Die Struktur s wird vorinitialisiert
13 audio = struct('Audioquelle_1', 0); %Die Struktur audio wird
    vorinitialisiert
14 Audiostring = string_array_erstellen(length(fieldnames(
    radien_array_struktur)), 'Audioquelle'); %Ein Cellarray wird
    erstellt mit Audioquelle_1...Audioquelle_n
15
16 strukturbeschriftung = get_strukturbeschriftung(); %Die
    Strukturbeschriftung wird geladen.
17 laenge_struktur = length(strukturbeschriftung); % Die Länge der
    Strukturbeschriftung wird ermittelt
18
19
20 for i=1:laenge_des_radien_arrays %Von 1 bis Anzahl der Mikrofone

```

```
21     [datenblock zeilennamen spaltennamen] = struktur_zu_array(  
        radien_array_struktur(i)); %Die Struktur i wird in einen  
        Datenblock zerlegt  
22     kleinste_radien = min(datenblock); %Der kleinste Radius wird  
        ermittelt  
23     kleinster_radius(i) = min(kleinste_radien); %Der kleinste  
        Radius wird ermittelt  
24 end  
25 kleinster_radius = min(kleinster_radius); %Der kleinste Radius  
        wird ermittelt, damit später die geringste Dämpfung auf 1  
        normiert werden kann  
26  
27 for i=1:laenge_des_radien_arrays %Von 1 bis Anzahl der Mikrofone  
28     [datenblock zeilennamen spaltennamen] = struktur_zu_array(  
        radien_array_struktur(i)); %Die Struktur i wird in einen  
        Datenblock zerlegt  
29     datenblock = 1./datenblock; %Es wird der Kehrwert der Radien  
        ermittelt  
30     datenblock = datenblock.*kleinster_radius; %Die Daten werden  
        auf den kleinsten Radius normiert.  
31     %Ab hier wird die Struktur wieder zusammengesetzt  
32     for j=1:size(datenblock) %Von 1 bis Anzahl der Audioquellen  
33         for k=1:laenge_struktur %Von 1 bis Anzahl der Reflexionen  
34             s = setfield(s, char(strukturbeschriftung(k)),  
                datenblock(j,k)); %Die einzelnen Werte werden der  
                Struktur übergeben  
35         end  
36         audio = setfield(audio, char(Audiostring(j)), s); %Erste  
                Verschachtelung  
37     end  
38     daempfung_array_struktur(i) = audio; %Zweite Verschachtelung  
39 end
```



## 6. Simulation des akustischen Raumes

Die Simulation wurde in einem ersten Anlauf unter SIMULINK implementiert. Dabei wurde festgestellt, dass das Modell zwar fehlerfrei funktionierte, aber sehr langsam war. Die Simulation muss zwar nicht echtzeitfähig sein, jedoch sollte sie nicht ein unakzeptables Zeitlimit überschreiten. Aus diesem Grund wurde die Simulation ein zweites Mal unter MATLAB implementiert. Das MATLAB-Modell ist um ein vielfaches schneller als das SIMULINK-Modell. Da das SIMULINK-Modell funktionsfähig und besonders anschaulich ist wird es dennoch im Folgendem dargestellt.

### 6.1. SIMULINK-Modell

In SIMULINK werden die fertig berechneten unter MATLAB berechneten Parameter in SIMULINK-Übertragungssysteme übergeführt. Aus einer Wave-Datei werden vom System Daten eingelesen. Das Simulationsergebnis kann dann mehreren (Anzahl der Mikrofone) Wave-Dateien zugeführt werden. Außerdem können die Ergebnisse dem Workspace zur Verfügung gestellt werden. Eine schematische Darstellung ist in der Abbildung [6.1](#) auf Seite [38](#) dargestellt.

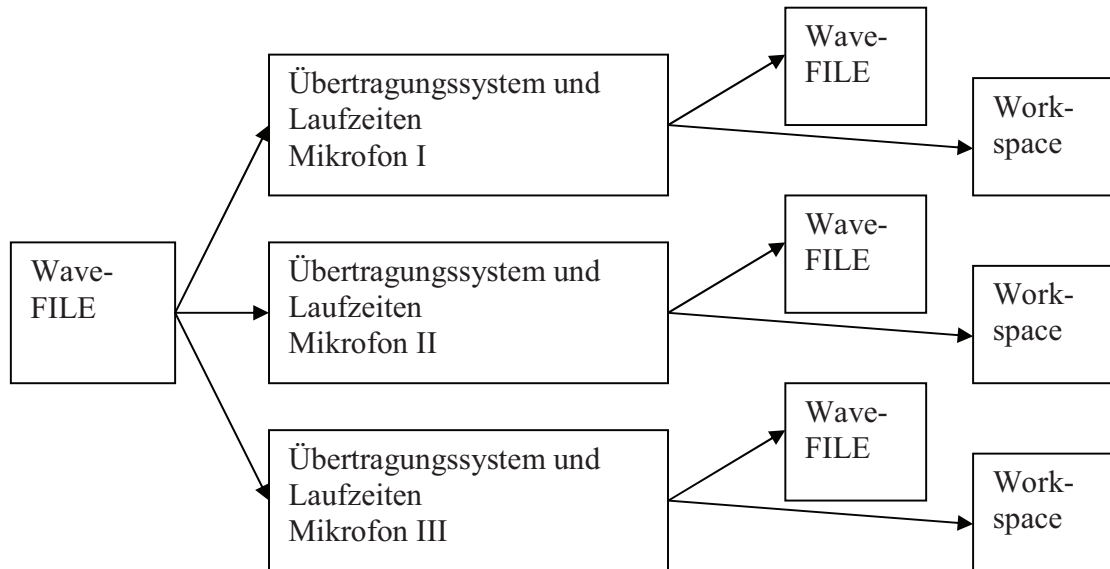


Abbildung 6.1.: Schematische Darstellung einer SIMULINK-Simulation

Bricht man die Darstellung weiter herunter, kann jeder Filter, Dämpfung und Laufzeit als Systemblock dargestellt werden. Dies ist in [Abbildung 6.2](#) dargestellt.

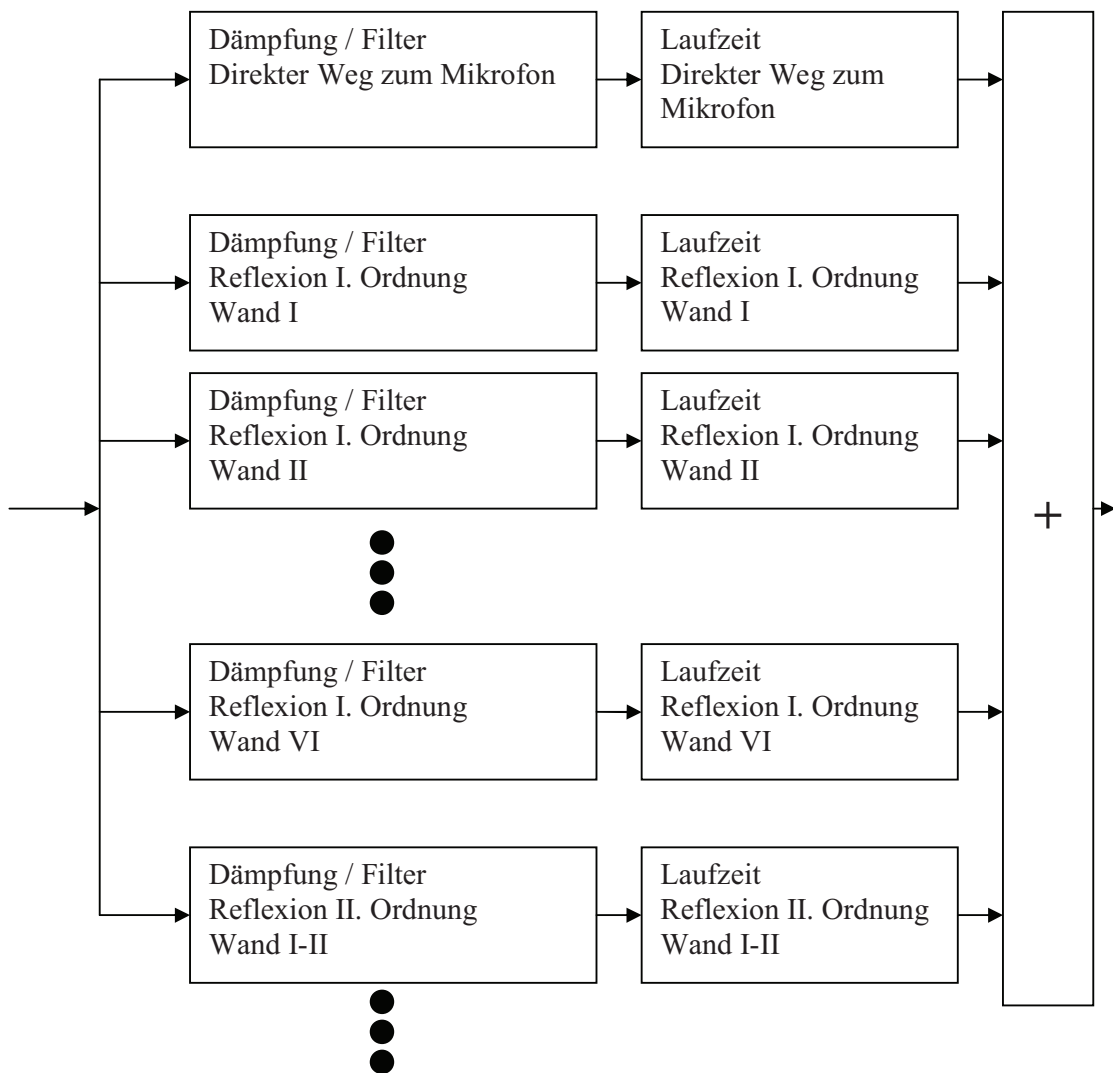


Abbildung 6.2.: Darstellung der einzelnen SIMULINK-Systemblöcke

In Abbildung 6.3 ist das SIMULINK-Simulationsmodell abgebildet.

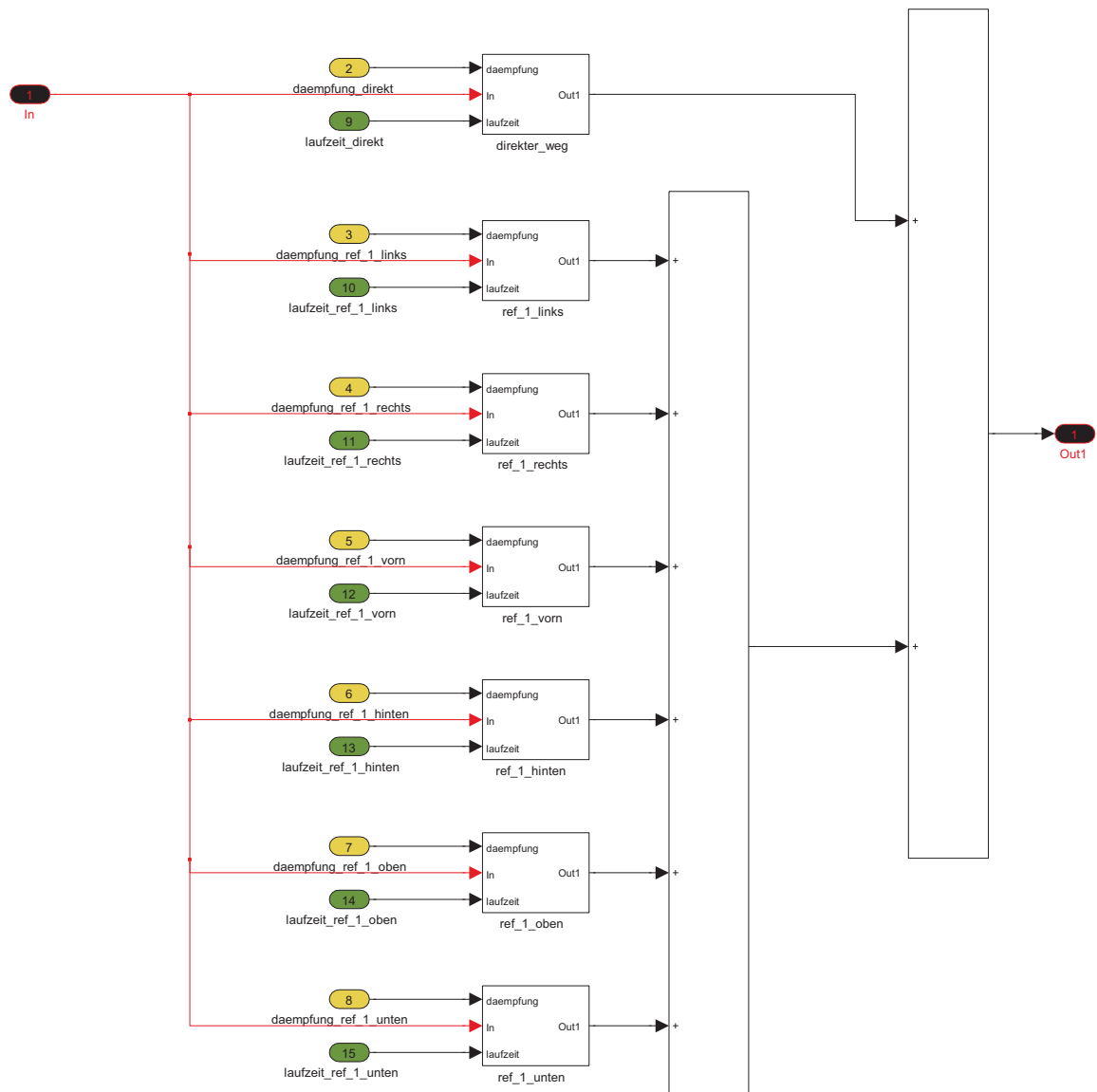


Abbildung 6.3.: SIMULINK-Simulationsmodell

In den Systemblöcken des SIMULINK-Simulationsmodells ist der in Abbildung 6.4 dargestellte Systemaufbau hinterlegt.

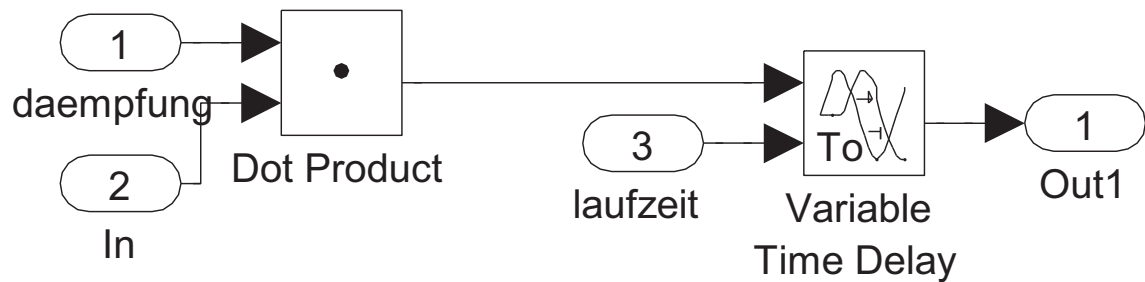


Abbildung 6.4.: Einzelne Systemblöcke des SIMULINK-Simulationsmodells

Das SIMULINK-Modell wurde nur bis zur Reflexion I.-Ordnung implementiert, da schon bei der geringen Anzahl an Parametern das System sehr langsam war. Für 2 Sekunden Wave-Datei Simulieren benötigte das System mehr als 10 Sekunden und das bei nur einem Mikrofon und einer Audioquelle. Um die Simulation zu beschleunigen wurde ein weiteres Simulationsmodell als MATLAB-Code implementiert.

## 6.2. Simulation mit MATLAB

Die Funktion 6.1 simuliert mit den übergebenen Parametern den Raum. Als Ausgabe werden Wave-Dateien erzeugt. Bei der Funktion wurde darauf geachtet, dass ausschließlich für die Organisation der Simulation *for-Schleifen* verwendet wurden. Alle Berechnungen wurden mit MATLAB-Syntax unternommen. Gerade die Verschiebungsoperationen, die die Laufzeitverzögerung simulieren, würden in einer *for-Schleife* die Simulation um ein vielfaches verlangsamen. Somit wurden Simulationszeiten von ca. 60 Sekunden bei zwei 2 Sekunden Audiodateien, mit 6 Mikrofonen und Reflexionen bis zur II.-Ordnung schon erreicht.

**SIMULINK** 10 Sekunden bei 1 Audioquelle mal 1 Mikrofon mal 7 Schallwege ergibt 7 Berechnungen in 10 Sekunden. 0,7 Berechnungen pro Sekunde bei zwei 2 Sekunden Audiodateien.

**MATLAB** 60 Sekunden bei 2 Audioquellen mal 6 Mikrofonen mal 37 Schallwege ergibt 444 Berechnungen in 60 Sekunden. 7,4 Berechnungen pro Sekunde bei zwei 2 Sekunden Audiodateien.

Listing 6.1: MATLAB-Funktion zum Simulieren des Raumes

```

1 function erfolgreich = simulationsstart(laufzeiten, daempfung,
   fsim, aud_dateien)
2 %Rückgabewert(erfolgreich): Meldet der GUI zurück, ob die Funktion
   erfolgreich ausgeführt wurde

```

```
3 %Ausgabe: Für jedes Mikrofon wird eine Wave-Datei erstellt.
4 %Übergabeparameter(laufzeit): Laufzeitenparameter als Struktur
5 %Übergabeparameter(daempfung): Daempfungparameter als Struktur
6 %Übergabeparameter(fsim): Simulationsfrequenz
7 %Übergabeparameter(aud_dateien): Audiodateinamen und Pfade
8 [niu mic_anz] = size(laufzeiten); %Anzahl der Mikrofone wird
   ermittelt
9 [daten_laufzeiten zeilennamen spaltennamen] = struktur_zu_array(
   laufzeiten(1));
10 [data_anz niu] = size(daten_laufzeiten); %Anzahl der Audioquellen
   wird ermittelt
11 [data(:,1) fa(1) nbit] = wavread(char(aud_dateien(1))); %Die erste
   Audiodatei wird geladen
12 data = interpft(data, length(data)*fsim/fa(1)); %Die Audiodatei
   wird auf die Simulationsfrequenz interpoliert
13 if data_anz>1 %Wenn mehr als eine Audioquelle vorhanden, dann
14     for i=2:data_anz %Von 2 bis Anzahl der Audioquellen
15         [laenge anz] = size(data); %Länge der Audiodateien
           ermitteln
16         [data_z fa(i) nbit] = wavread(char(aud_dateien(i))); %Die
           i. Audiodatei wird geladen
17         data_z = interpft(data_z, length(data_z)*fsim/fa(i)); %Die
           i. Audiodatei wird auf Simulationsfrequenz interpoliert
18         if length(data_z)<laenge %Wenn die i. Audiodatei kürzer
           als die übrigen Audiodateien ist, dann
19             data_z(end+1:laenge) = 0; %Hängt an die i. Audiodatei
           Nullen bis sie so lang wie die anderen Audiodateien
           ist
20         else %Wenn die i. Audiodatei länger als die übrigen
           Audiodateien ist, dann
21             data(end+1:length(data_z), :) = 0; %Hängt an alle
           Audiodateien Nullen bis sie so lang wie die i.
           Audiodatei ist
22         end
23         data(:,i) = data_z; %Die i. Audiodatei wird den übrigen
           Audiodateien zugefügt
24     end
25 end
26 for i=1:mic_anz %Von 1 bis Anzahl der Mikrofone
27     [daten_laufzeiten zeilennamen spaltennamen] = struktur_zu_array
       (laufzeiten(i)); %Zerlegt die i. Laufzeitstruktur in
       Datenblöcke
```

```

28 [daten_daempfung zeilennamen spaltennamen] = struktur_zu_array(
    daempfung(i)); %Zerlegt die i. Daempfungsstruktur in
    Datenblöcke
29 clear zwischen2; %zwischen2 wird gelöscht
30 verschieben = fsim.*daten_laufzeiten; %Anzahl der
    Verschiebungstakte ermitteln
31 verschieben = round(verschieben); %Verschiebungstakte runden
32 for j=1:data_anz %Von 1 bis Anzahl der Audiodaten
33     clear zwischen; %zwischen wird gelöscht
34     zwischen = data(:,j)*daten_daempfung(j,:); %Audiodateien
        werden nach den Parametern gedämpft
35     zwischen(end+1:end+max(verschieben),:) = 0; % Die Länge der
        Audiodaten wird um die Länge der größten Verschiebung
        verlängert
36     for k=1:length(verschieben) %Von 1 bis Anzahl der
        Reflexionen
37         zwischen(1+verschieben(k):end-max(verschieben)+
            verschieben(k),k) = zwischen(1:end-max(verschieben),
            k); %Verzögert die Audiosignale um die
            Laufzeitverzögerung
38         zwischen(1:verschieben(k), k) = 0; %Anfang der
            Audiodaten auf Null setzen (Anlaufverzögerung=
            Laufzeitverzögerung)
39         sprintf('Mikrofon_%d_Audioquelle_%d_Reflexion_%d',i,j,k
            )
40     end
41     zwischen2(j,:) = sum(zwischen'); %Die Audiodaten werden
        summiert
42 end
43 clear out; %out wird gelöscht
44 if data_anz>1
45     out = sum(zwischen2)'; %zwischen2 wird summiert
46 else
47     out = zwischen2';
48 end
49 out = out./max(out); %out wird auf 1 normiert
50 outfile_name = ['wav\out' num2str(i)]; %Name für die
    Ausgabeaudiodatei wird erstellt
51 wavwrite(out ,fsim, outfile_name); %out wird in eine Audiodatei
    abgespeichert
52 end
53 erfolgreich = 1; %Rückmeldung: Simulation erfolgreich

```

Nachfolgend werden einige Zeilen näher erläutert:

In Zeile 29,

```
verschieben = fsim.*daten_laufzeiten;
```

wird ermittelt, um wie viele Takte die Audiodaten verschoben werden. Nach der Rechenregel  $n_{\text{Takte}} = f_{\text{sim}} \cdot t_{\text{Tot}}$  wird die Anzahl der Takte bestimmt, um die das Signal verschoben wird. Anschließend wird die Anzahl der Taktverschiebungen noch gerundet.

In der Zeile 33,

```
zwischen = data(:,j)*daten_daempfung(j,:);
```

werden die Audiodaten mit den ermittelten Dämpfungsparametern verrechnet. Dies geschieht mit einer Matrizenmultiplikation, wobei `data(:,j)` ein Spaltenvektor ist und `daten_daempfung(j,:)` ein Zeilenvektor. Die Multiplikation von Spaltenvektor mal Zeilenvektor ergibt eine zweidimensionale Matrix. Im konkreten Fall eine Matrix mit je Spalte entsprechend Audiodaten gedämpft um jeweiligen Dämpfungsparameter und je Zeile entsprechend einen Audiodatenwert. In Formel 6.2 [8, Seite 15] wird der mathematische Zusammenhang dargestellt.

$$\mathbf{C} = \mathbf{A} \cdot \mathbf{B} \quad (6.1)$$

$$c_{ik} = \sum_{j=1}^n \{a_{ij} \cdot b_{jk}\} \quad (6.2)$$

Für die Verschiebung der Signale wurden speziell MATLAB-Syntax verwendet, die diese weitaus schneller verarbeitet, als eine Verschiebung des Signal in einer `for`-Schleife.

In Zeile 36,

```
zwischen(1+verschieben(k):end-max(verschieben)+verschieben
(k),k) = zwischen(1:end-max(verschieben),k);
```

werden die Daten verschoben, wobei gleichzeitig der Datensatz um die längste vorkommende Verschiebung verlängert wird. Der Anfang des Audiodatensatzes wird

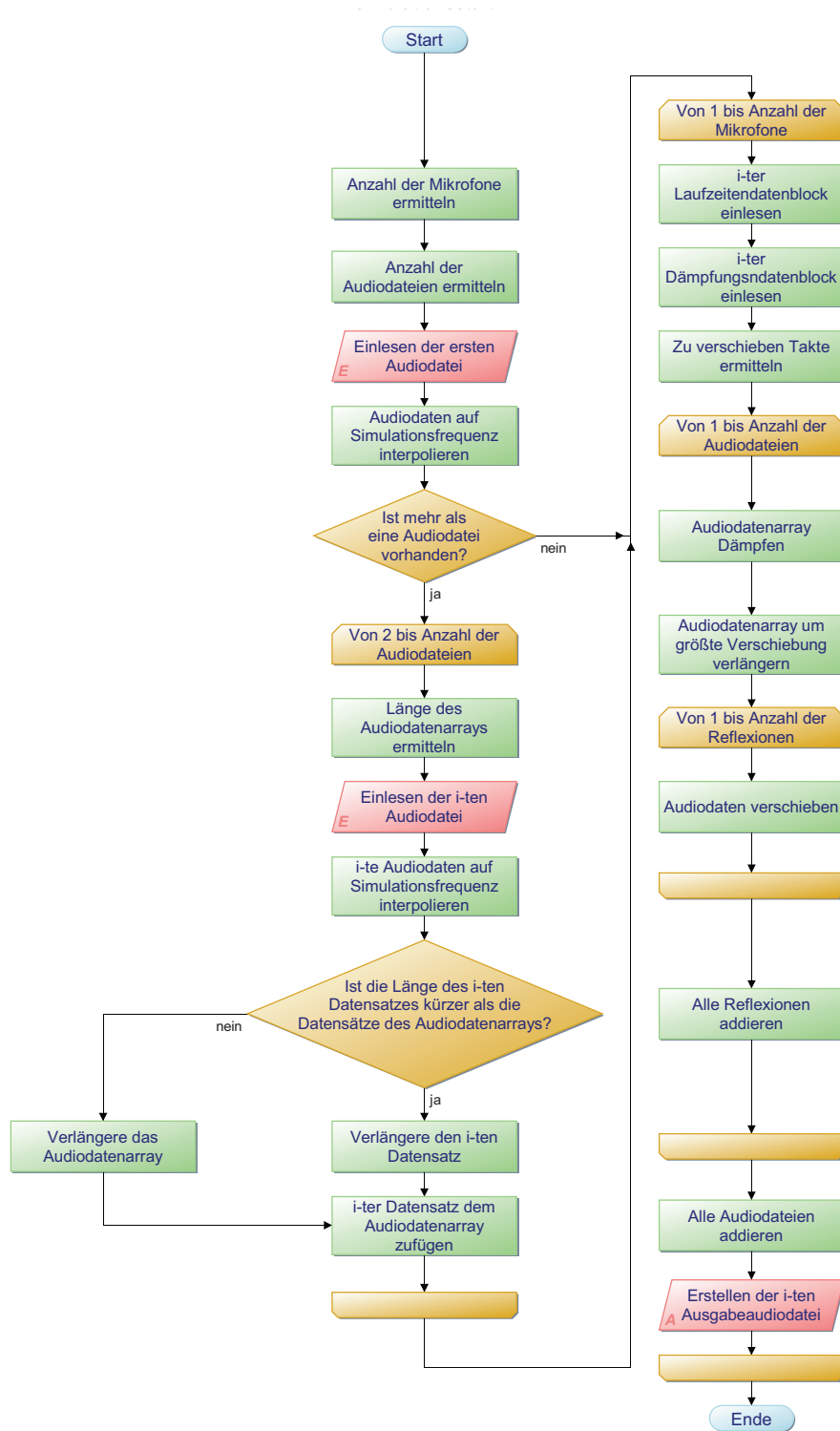
in Zeile 37,

```
zwischen(1:verschieben(k),k) = 0;
```

mit Nullen aufgefüllt.

Für die gesamte Funktion wurde der Übersichtlichkeit halber ein Flussdiagramm in Abbildung 6.5 erstellt.



Abbildung 6.5.: Flussdiagramm für die Funktion `simulationsstart()`

## 7. Frequenzabhängige Oberflächenreflexionen

Trifft eine Schallwelle auf eine Oberfläche, so wird die Schallwelle an der Oberfläche reflektiert. Dieses Phänomen tritt klar erkenntlich auf, wenn man beispielsweise in einem leeren Raum steht. Im leeren Raum ist die Sprache stark verhallt.

Da die Oberfläche von den Wänden unterschiedlich hart ist, Oberflächenstrukturiert und unterschiedliche Formen hat, reflektiert der Schall je nach Wellenlänge unterschiedlich gut. Angegeben werden die Reflexionseigenschaften meist als Absorption  $\alpha$  in Abhängigkeit der Frequenz. Tabelle 7.1 listet verschiedene Absorptionsfaktoren für verschiedene Wandtypen. Der Reflexionsfaktor  $\rho$  berechnet sich aus  $\rho = 1 - \alpha$ [14].

Decken						
	125Hz	250Hz	500Hz	1000Hz	2000Hz	4000Hz
Beton oder Fliesen	0,01	0,01	0,15	0,02	0,02	0,02
Akustische Deckenfliesen	0,70	0,66	0,72	0,92	0,88	0,75
Fiberglas: Spray 5'	0,05	0,15	0,45	0,70	0,80	0,80
Rigips 1/2' 16' auf Mitte	0,29	0,10	0,05	0,04	0,07	0,09
Teppich auf Schaumgummi	0,08	0,24	0,57	0,69	0,71	0,73
Fussboden						
	125Hz	250Hz	500Hz	1000Hz	2000Hz	4000Hz
Linoleum/Vinylfliesen auf Beton	0,02	0,03	0,03	0,03	0,03	0,02
Beton oder Fliesen	0,01	0,01	0,15	0,02	0,02	0,02
Holz auf Balken	0,15	0,11	0,10	0,07	0,06	0,07
Teppich auf Schaumgummi	0,08	0,24	0,57	0,69	0,71	0,73
Wand						
	125Hz	250Hz	500Hz	1000Hz	2000Hz	4000Hz
Grob-Beton - rau	0,36	0,44	0,31	0,29	0,39	0,25
Grob-Beton - gestrichen	0,10	0,05	0,06	0,07	0,09	0,08
Rigips 1/2' 16' on center	0,29	0,10	0,05	0,04	0,07	0,09
Teppich auf Schaumgummi	0,08	0,24	0,57	0,69	0,71	0,73
Fensterfront						
	125Hz	250Hz	500Hz	1000Hz	2000Hz	4000Hz
Vorhang: 470 $\frac{g}{m^2}$ Stoff	0,07	0,31	0,49	0,75	0,70	0,6
Glas: Fenster	0,35	0,25	0,18	0,12	0,07	0,04

Tabelle 7.1.: Frequenzabhängige Absorptionsgrade [11]

Die hier aufgelisteten Absorptionsfaktoren wurden im Simulationsprogramm in der Funktion `filter_coefficienten()` hinterlegt. Bei Aufrufen der Funktion werden Simulationsfrequenz und Filternummer als Übergabeparameter übergeben. Der Rückgabewert sind 256 Filtercoefficients. Für die Berechnung wird die MATLAB-Funktion `firls()` verwendet, die aus der Filterspezifikation die Filterkoeffizienten berechnet.

Die Funktion für den Simulationsstart wurde für die Simulation mit frequenzabhängigen Oberflächen, wie im Listing 7.1 dargestellt, modifiziert. Wie in Zeile 4 und 10 entnommen werden kann, wurde die MATLAB-Funktion `filter()` verwendet. In einem ersten Versuch wurde der Filter in einer `for`-Schleife implementiert. Die MATLAB eigene Funktion `filter()` ist jedoch um ein vielfaches schneller. Die Verschiebung des Signals durch die Filterung wird in Zeile 5 und Zeile 11 rausgerechnet.

Listing 7.1: Ausschnitt aus Raumsimulations-Funktion mit Frequenzabhängigen Oberflächen

```

1   for k=1:length(verschieben) %Von 1 bis Anzahl der
      Reflexionen
2       if k>1 %erste Reflexion
3           b = filter_coefficienten(ref_I(k-1), fsim); %
              Filterkoeffizienten werden ermittelt
4           zwischen(:,k) = filter(b,1,zwischen(:,k)); %
              Audiodaten werden gefilterert
5           zwischen(1:end-256/2,k) = zwischen(256/2+1:end,k);
              %Verschiebung des gefilterten Signals um die
              hälfte der Filterkoeffizienten
6           zwischen(end-256/2+1:end,k) = 0;
7       end
8       if k>7 %zweite Reflexion
9           b = filter_coefficienten(ref_II(k-7), fsim); %
              Filterkoeffizienten werden ermittelt
10          zwischen(:,k) = filter(b,1,zwischen(:,k)); %
              Audiodaten werden gefilterert
11          zwischen(1:end-256/2,k) = zwischen(256/2+1:end,k);
              %Verschiebung des gefilterten Signals um die
              hälfte der Filterkoeffizienten
12          zwischen(end-256/2+1:end,k) = 0;
13      end
14      zwischen(1+verschieben(k):end-max(verschieben)+
              verschieben(k),k) = zwischen(1:end-max(verschieben),
              k); %Verzögert die Audiosignale um die
              Laufzeitverzögerung
15      zwischen(1:verschieben(k), k) = 0; %Anfang der
              Audiodaten auf Null setzen (Anlaufverzögerung=
              Laufzeitverzögerung)
16      sprintf('Mikrofon_%d_Audioquelle_%d_Reflexion_%d',i,j,k
              ) %Anzeige zum aktuellen Simulationsfortschritt
17      end

```

In Abbildung 7.1 und Abbildung 7.2 wird beispielhaft der Filterentwurf für akustische Deckenfliesen bei  $88\text{kHz}$  und  $460\text{kHz}$  Simulationsfrequenz dargestellt. In Kapitel 8 wird auf die

Notwendigkeit der hohen Simulationsfrequenzen von im Beispiel verwendeten  $460\text{kHz}$  eingegangen. Es ist aus den beiden Abbildungen ersichtlich, dass die Genauigkeit des Filters abhängig von der Simulationsfrequenz ist, wie im Amplitudengang des Filters abzulesen ist. Je höher die Simulationsfrequenz, desto höher liegt die für den Filterentwurf verwendete Abtastfrequenz. Dies führt zu einer höheren Steilheit der Flanken relativ zur Abtastfrequenz. Da die Anzahl der Filterkoeffizienten auf 256 festgelegt wurde, verschlechtert sich das Verhältnis von Filterspezifikation zu Filterentwurf. Der Phasengang der beiden Filterentwürfe ist im betrachteten Frequenzbereich annähernd  $0^\circ$ . Dies ist auch im Ausgangssignal zu erkennen.

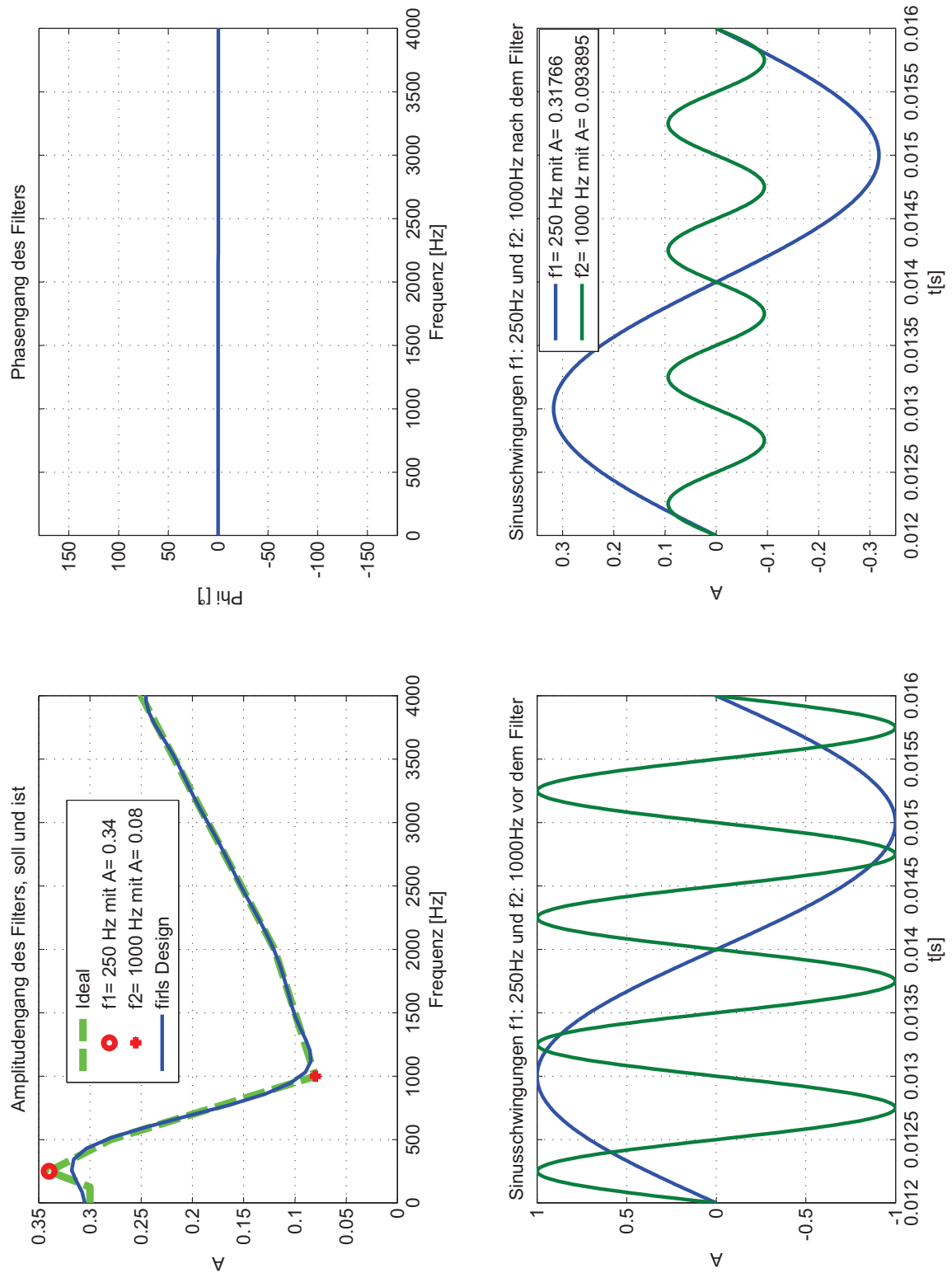


Abbildung 7.1.: Filterentwurf der akustischen Deckenfliesen nach Tabelle 7.1 bei einer Simulationsfrequenz von  $88\text{kHz}$

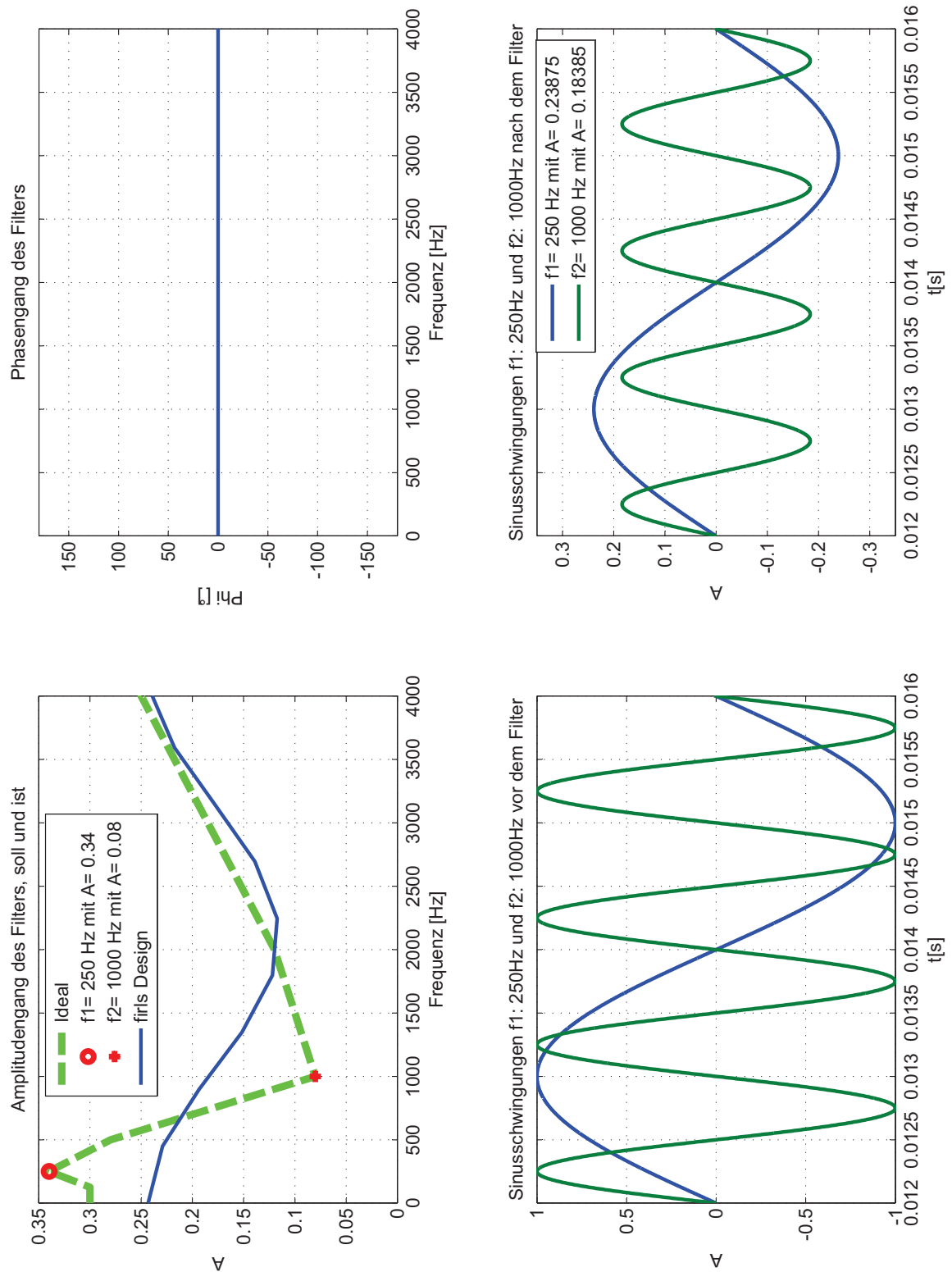


Abbildung 7.2.: Filterentwurf der akustischen Deckenfliesen nach Tabelle 7.1 bei einer Simulationsfrequenz von  $460\text{kHz}$

## 8. Fehler und Genauigkeiten

Bei einer Simulation ist die Genauigkeit immer eine wichtige Größe zur Beurteilung der Simulationsergebnisse. Bei der akustischen Raumsimulation ist die Genauigkeit ausschlaggebend für die Winkelauflösung. Die Winkelauflösung ist die für den Anwender entscheidende Größe. Im Folgenden wird die Winkelauflösung berechnet bzw. die verschiedenen Problematiken bezüglich der Winkelauflösung interpretiert. Eine Größe hat entscheidene Auswirkungen auf die Winkelauflösung, dies ist die zeitdiskrete Auflösung der Simulation. Zum besseren Verständnis wird vorerst das Mikrofonarray erklärt.

### 8.1. Mikrofonarray

Um eine Sprachquelle mit Hilfe von Unterraumverfahren- Algorithmen zu orten, muss ein Mikrofonarray verwendet werden. Ein Mikrofonarray sind mehrere nebeneinander angeordnete Mikrofone. Die Anordnung kann zunächst beliebig gewählt werden. Am einfachsten ist die Anordnung in einer Reihe. Der Abstand zwischen den Mikrofonen ist dabei ein abhängiger Parameter, wie im Weiteren beschrieben wird.

#### 8.1.1. Abstand zwischen den Mikrofonen

In Abbildung [8.1](#) ist ein Mikrofonarray systematisch dargestellt. Der Abstand  $x$  wird vom Mittelpunkt der Mikrofone aus gemessen.



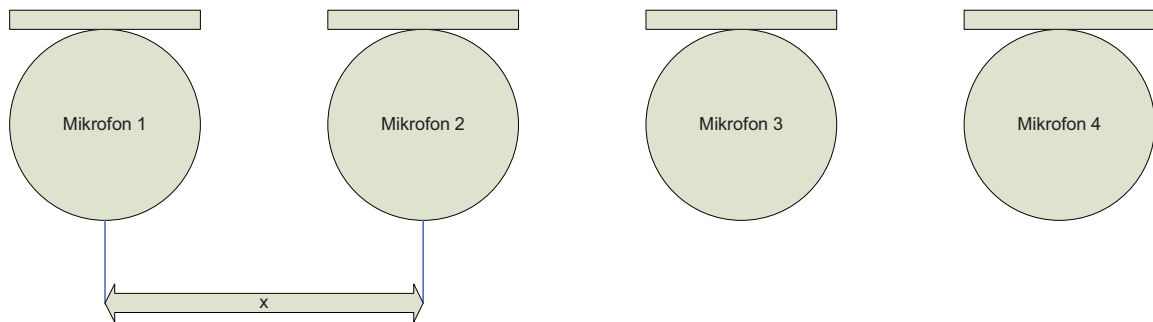


Abbildung 8.1.: Mikrofonarray in einer Reihe

Der maximale Abstand zwischen den Mikrofonen wird durch die höchste betrachtete Frequenz bestimmt, da zwischen zwei Mikrofonen nicht mehr als eine halbe Periode der höchsten betrachteten Frequenz passen darf, um Doppeldeutigkeiten auszuschließen. Soll das gesamte System Sprachquellen orten, ist eine Frequenz von  $4\text{ kHz}$  maximal erforderlich. In Formel 8.1 und Formel 8.2 wird der maximale Abstand  $x$  zwischen den Mikrofonen berechnet.

$$x = \frac{v_{\text{Luft}} \cdot 2}{f_{\text{max}}} \quad (8.1)$$

$x$ : maximaler Abstand zwischen zwei Mikrofonen.

$v_{\text{Luft}}$ : Schallausbreitungsgeschwindigkeit in der Luft  $343 \frac{\text{m}}{\text{s}}$  (Herleitung und Berechnung in Kapitel 5.1 auf Seite 29)

$f_{\text{max}}$ : maximale betrachtete Frequenz  $4\text{ kHz}$

$$x = \frac{343 \frac{\text{m}}{\text{s}} \cdot 2}{4\text{ kHz}} = 0,042875\text{ m} \quad (8.2)$$

### 8.1.2. Umrechnung von Laufzeiten in Winkel

Um den Winkel zu bestimmen, aus dem die Schallwelle auf das Mikrofonarray trifft, muss zuerst die maximale Zeit  $t_{\text{max}}$  ermittelt werden, die eine Schallwelle beim Durchlauf längs des Mikrofonarrays benötigt.

$$t_{\text{max}} = \frac{x}{v_{\text{Luft}}} = \frac{0,042875\text{ m}}{343 \frac{\text{m}}{\text{s}}} = 125\mu\text{s} \quad (8.3)$$

Die tatsächliche Laufzeitverzögerung  $t_0$ , die die Schallwelle bei Eintritt unter einem bestimmten Winkel benötigt wird schematisch in Abbildung 8.2 dargestellt.

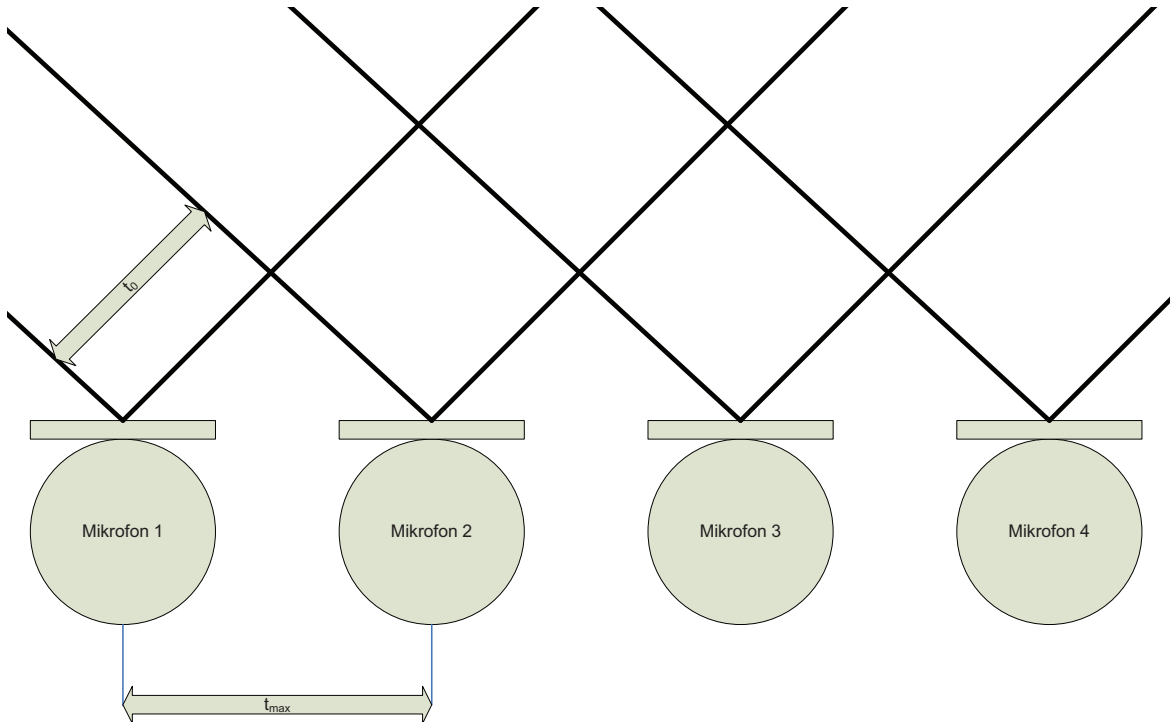


Abbildung 8.2.: Laufzeit, die eine Schallwelle beim Durchlaufen eines Mikrofonarrays benötigt

Der Arkussinus vom Verhältnis von tatsächlicher Laufzeitverzögerung zu maximaler Laufzeitverzögerung ergibt den Winkel  $\theta$  aus dem die Schallwelle kommt.

$$\theta = \arcsin \frac{t_0}{t_{\max}} \quad (8.4)$$

$\theta$ : Winkel aus dem die Schallwelle auf das Mikrofonarray auftritt.

$t_0$ : tatsächliche Laufzeitverzögerung der Schallwelle von einem zum nächsten Mikrofon

$t_{\max}$ : maximale Laufzeitverzögerung bei Durchlauf längs des Mikrofonarrays

## 8.2. Winkelauflösung in verschiedenen Winkelbereichen

Betrachtet man den Arkussinus in Abbildung 8.3 sieht man, dass von  $-40^\circ$  bis  $40^\circ$  ein linearer Verlauf vorhanden ist. Jenseits von  $40^\circ$  steigt die Kurve immer stärker an. Will man jenseits von  $40^\circ$  eine genaue Winkelauflösung muss man dafür eine höhere Abtastrate wählen, als das für eine genaue Winkelauflösung im Bereich von  $-40^\circ$  bis  $40^\circ$  nötig ist. Winkel höher als  $80^\circ$  benötigen eine sehr hohe Abtastrate. An dieser Stelle hat der Arkussinus eine sehr große Steigung. Bei  $90^\circ$  ist die Kurve senkrecht.

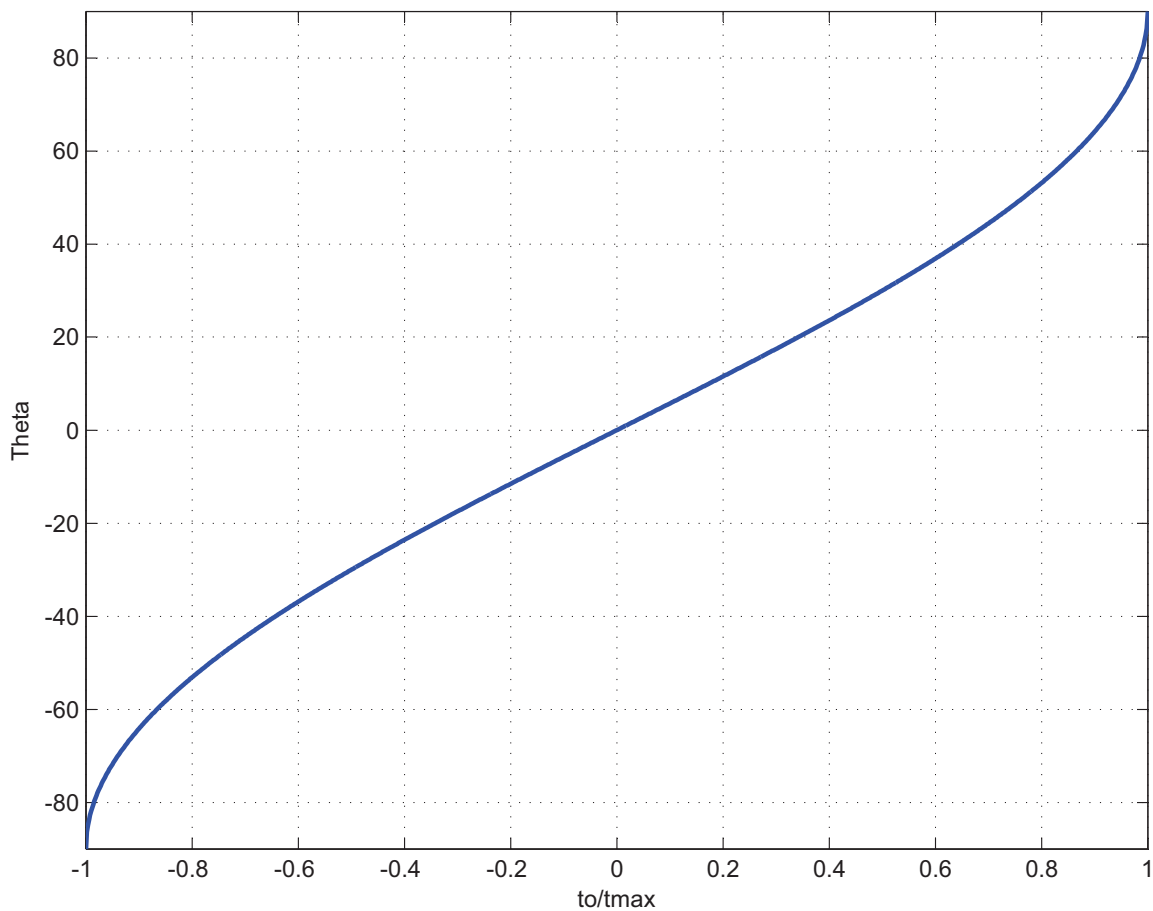


Abbildung 8.3.: Arkussinus vom Verhältnis  $\frac{t_0}{t_{\max}}$

Tabellarisch wird in Tabelle 8.1 die minimale Abtastfrequenz berechnet, die sich bei verschiedenen Ausgangswinkeln bei  $1^\circ$  Winkelauflösung ergibt. Die berechneten Werte sind in Abbildung 8.4 in Abhängigkeit vom Winkel dargestellt.

$\theta_a [^\circ]$	$\theta_b [^\circ]$	$\frac{t_{0,a}}{t_{\max}}$	$\frac{t_{0,b}}{t_{\max}}$	$\frac{t_{0,b}-t_{0,a}}{t_{\max}}$	$T [s]$	$f_a [kHz]$
0	1	0,000	0,0175	0,0175	0,00000218	458
10	11	0,174	0,191	0,0172	0,00000215	466
20	21	0,342	0,358	0,0163	0,00000204	489
30	31	0,500	0,515	0,0150	0,00000188	532
40	41	0,643	0,656	0,0133	0,00000166	603
50	51	0,766	0,777	0,0111	0,00000139	721
60	61	0,866	0,875	0,00859	0,00000107	931
70	71	0,940	0,946	0,00583	0,000000728	1373
80	81	0,985	0,988	0,00288	0,000000360	2777
89	90	0,999848	1	0,000152	0,0000000190	52526

Tabelle 8.1.: Auflistung der benötigten Abtastfrequenzen für  $1^\circ$  Winkelauflösung bei verschiedenen Winkeln

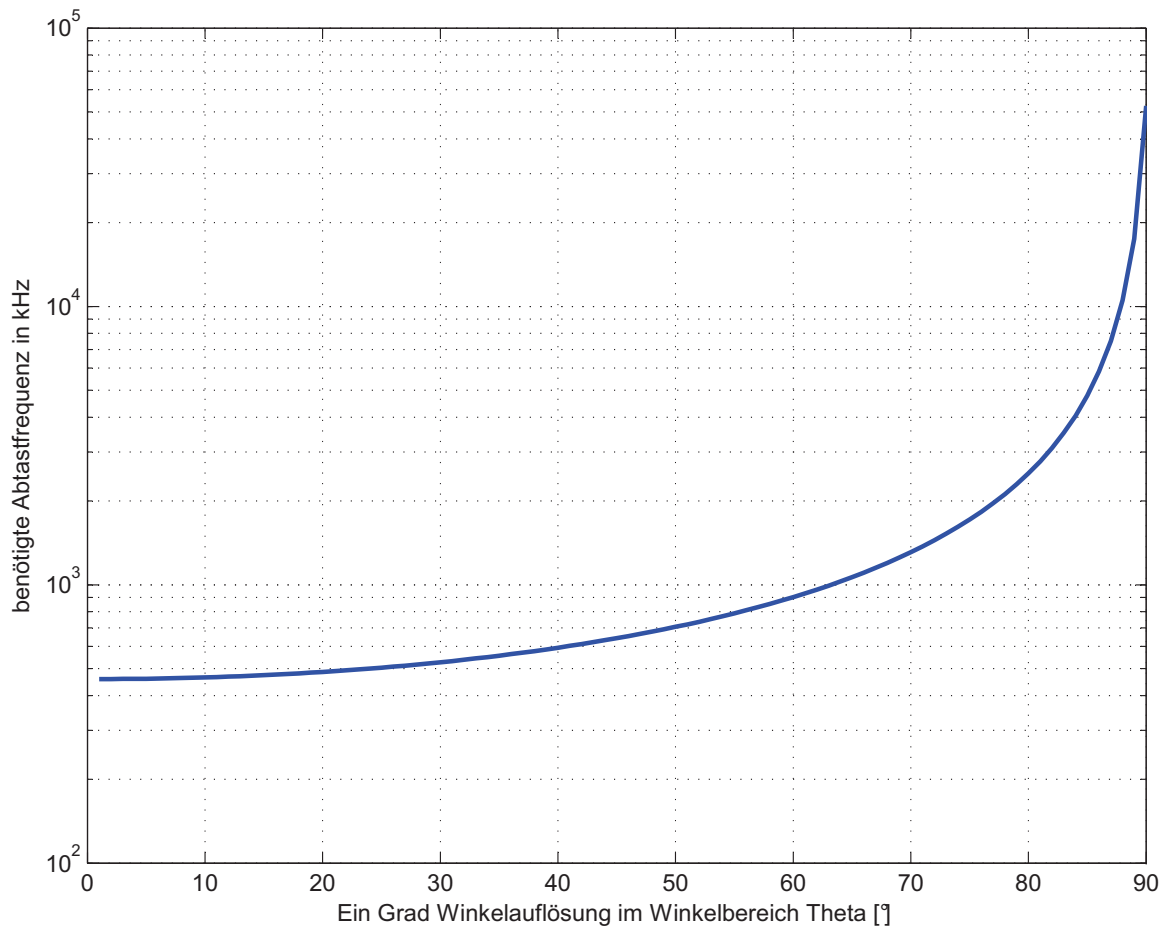


Abbildung 8.4.: Benötigte Abtastfrequenz bei 1° Winkelauflösung in Abhängigkeit des Winkelbereichs

Die steigende Abtastfrequenz im Winkelrandbereich hat zur Folge, dass die Winkelauflösung nicht an allen Punkten gleich groß ist. Im Bereich von 0° ist die Winkelauflösung weitaus höher als am Winkelrandbereich, da die Abtastfrequenz sowohl für die Simulation als auch bei einem Hardwareaufbau fest eingestellt werden muss. Das Simulationprogramm kann eine Winkelauflösung nur in einem definierten Winkelbereich gewährleisten. So kann z.B. eine Winkelauflösung von 1° im Bereich von -40° bis 40° bei einer Abtastfrequenz von 603 kHz gewährleistet werden.

### 8.2.1. Benötigte Winkelauflösung

Es stellt sich die Frage, welche Winkelauflösung ist nötig. Wie in der Einleitung erwähnt, soll die Sprachlokalisierung zum Zweck der Vorlesungsaufnahme realisiert werden. Dabei ist

nicht festgelegt, in welcher Distanz die Kamera zur Aufnahme der Vorlesung zum Professor steht. Denkbar ist die feste Montage an der Decke in unmittelbarer Nähe der Tafel, oder das Aufstellen am anderen Ende des Seminarraums hinter den Studenten. Je weiter die Kamera entfernt vom aufzunehmenden Objekt ist, desto gravierender ist eine Abweichung bedingt durch die Winkelauflösung. Bleibt man bei dem aufgeführten Beispiel, bei dem eine Vorlesung aufgenommen werden soll, sollte der Professor samt Tafel aufgenommen werden. Da die Distanz nicht im Vorwege festzulegen ist, werden drei verschiedene Szenarien aufgeführt.

1. Eine Montage der Kamera an der Decke des Seminarraums in Abstand  $r = 3m$ ,
2. ein Aufstellen der Kamera hinter den Studenten bei einem sehr kurzen Seminarraum im Abstand  $r = 7m$  und
3. ein Aufstellen der Kamera hinter den Studenten bei einem mittelgroßen Seminarraum im Abstand  $r = 10m$ .

Betrachtet werden  $\theta_a = 1^\circ$ ,  $\theta_a = 2^\circ$  und  $\theta_a = 5^\circ$  Winkelauflösung im günstigsten Fall, so dass die Kamera frontal zur Tafel steht. Es wird eine Tafel der Breite  $210cm$  zugrunde gelegt, um prozentual ermitteln zu können, wie weit sich ein Sprecher aus der Mitte der Aufnahme entfernt hat.

$$x = \tan(\theta_a) \cdot r \quad (8.5)$$

	$r = 300cm$		$r = 700cm$		$r = 1000cm$	
	Abweichung $x$ aus der Mitte der Videoaufnahme					
$\theta_a = 1$	5,2cm	5,0%	12,2cm	11,6%	17,5cm	16,6%
$\theta_a = 2$	10,5cm	10,0%	24,4cm	23,3%	34,9cm	33,3%
$\theta_a = 5$	26,2cm	25,0%	61,2cm	58,3%	87,5cm	83,3%

Tabelle 8.2.: Abweichung vom Mittelpunkt bei Videoaufnahme

Wie groß die Abweichung des Sprechers aus der Mitte der Videoaufnahme maximal sein darf, kann nicht absolut bestimmt werden. Es obliegt der subjektiven Wahrnehmung des Betrachters. Deshalb sind die berechneten Abweichungen in Bildern dargestellt. Somit kann sich der Leser selbst ein Urteil über die notwendige Winkelauflösung machen. Hier sei noch zu erwähnen, dass die Kamerasteuerung auch nur die Winkelauflösung als Parameter übergeben bekommt, somit wird das Bild ruckartig dem Sprecher folgen.

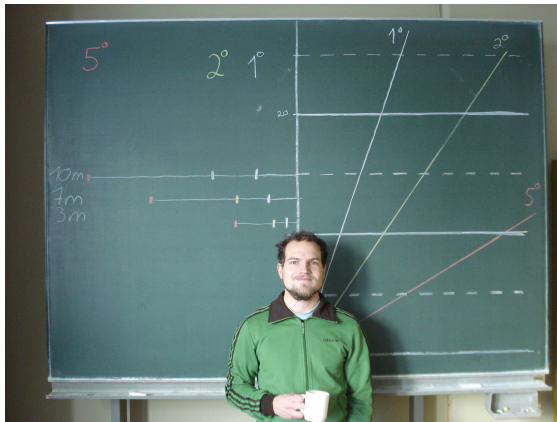
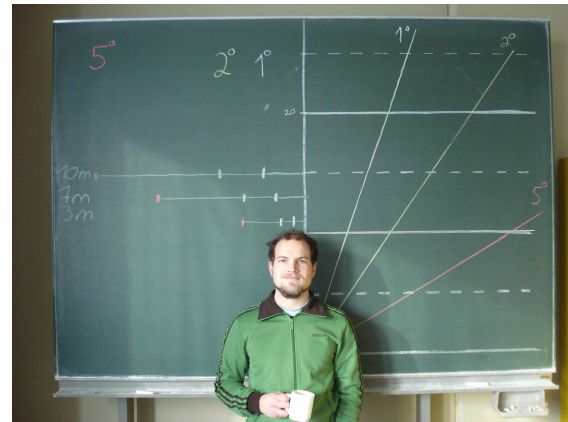
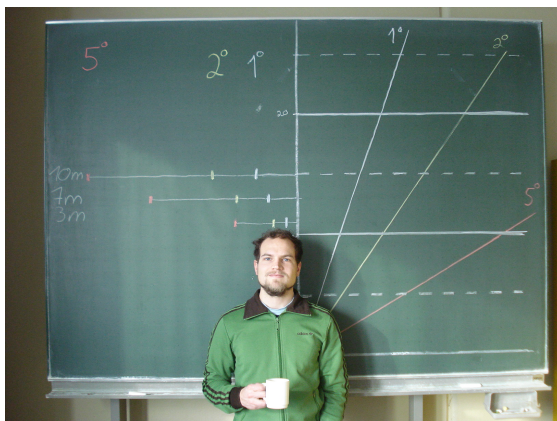
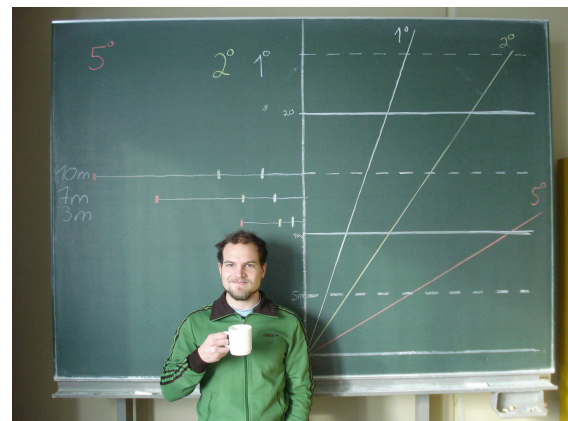
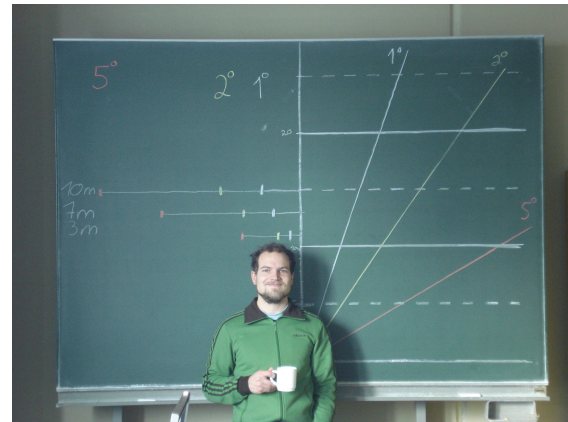
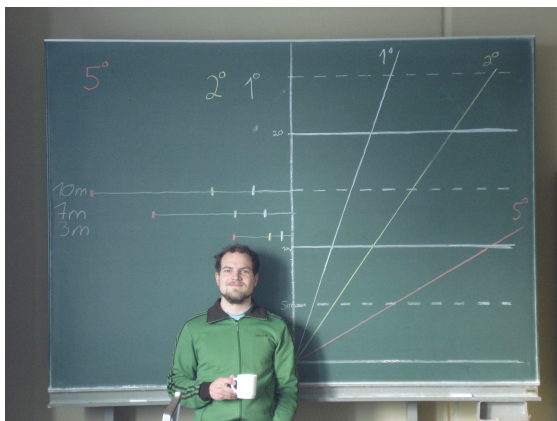
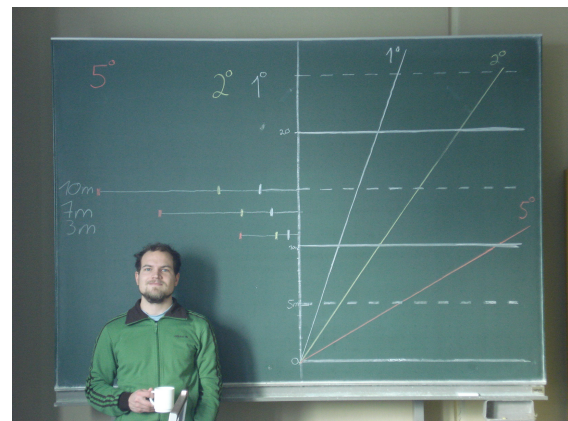
(a)  $0^\circ$  Winkelauflösung(b)  $1^\circ$  Winkelauflösung(c)  $2^\circ$  Winkelauflösung(d)  $5^\circ$  Winkelauflösung

Abbildung 8.5.: Bildaufnahme aus 3m Entfernung



(a)  $0^\circ$  Winkelauflösung(b)  $1^\circ$  Winkelauflösung(c)  $2^\circ$  Winkelauflösung(d)  $5^\circ$  WinkelauflösungAbbildung 8.6.: Bildaufnahme aus  $7m$  Entfernung



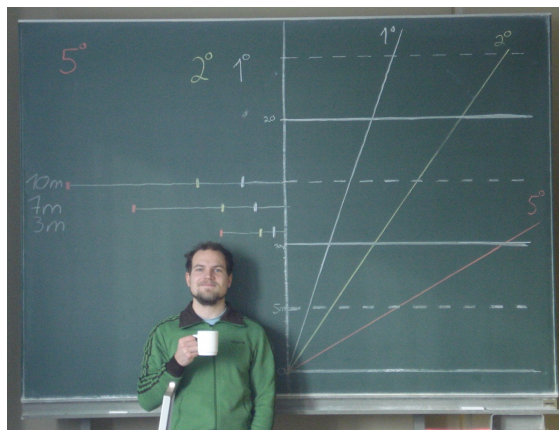
(a)  $0^\circ$  Winkelauflösung(b)  $1^\circ$  Winkelauflösung(c)  $2^\circ$  Winkelauflösung(d)  $5^\circ$  Winkelauflösung

Abbildung 8.7.: Bildaufnahme aus 10m Entfernung

## 8.2.2. Verschiedene Winkelauflösungen und die Implementierung im Simulationsprogramm

Zum Schluss des Kapitels 8.2 werden in Tabelle 8.3 noch ein paar markante Abtastfrequenzen angegeben, die sich aus verschiedenen Winkelauflösungen und verschiedenen Öffnungswinkel ergeben.

	$\theta = 0^\circ$	$\theta = 5^\circ$	$\theta = 10^\circ$	$\theta = 20^\circ$	$\theta = 40^\circ$
$\theta_a = 0,5^\circ$	$f_a = 917\text{kHz}$	$f_a = 921\text{kHz}$	$f_a = 932\text{kHz}$	$f_a = 977\text{kHz}$	$f_a = 1201\text{kHz}$
$\theta_a = 1^\circ$	$f_a = 458\text{kHz}$	$f_a = 460\text{kHz}$	$f_a = 466\text{kHz}$	$f_a = 489\text{kHz}$	$f_a = 603\text{kHz}$
$\theta_a = 2^\circ$	$f_a = 229\text{kHz}$	$f_a = 230\text{kHz}$	$f_a = 233\text{kHz}$	$f_a = 246\text{kHz}$	$f_a = 304\text{kHz}$
$\theta_a = 3^\circ$	$f_a = 153\text{kHz}$	$f_a = 154\text{kHz}$	$f_a = 156\text{kHz}$	$f_a = 164\text{kHz}$	$f_a = 204\text{kHz}$
$\theta_a = 4^\circ$	$f_a = 115\text{kHz}$	$f_a = 115\text{kHz}$	$f_a = 117\text{kHz}$	$f_a = 124\text{kHz}$	$f_a = 154\text{kHz}$
$\theta_a = 5^\circ$	$f_a = 92\text{kHz}$	$f_a = 92\text{kHz}$	$f_a = 94\text{kHz}$	$f_a = 99\text{kHz}$	$f_a = 124\text{kHz}$

Tabelle 8.3.: Abtastfrequenzen in Abhängigkeit der Winkelauflösung und des Öffnungswinkel

Da es sich bei der maximal zulässigen Abweichung des Sprechers aus der Mitte des Bildes um eine subjektive Entscheidung des Anwenders handelt, ist die Winkelauflösung und der Öffnungswinkel im Simulationsprogramm parametrierbar. Aus Winkelauflösung und Öffnungswinkel berechnet das Simulationsprogramm die benötigte Simulationsfrequenz. Folgend wird der zugehörige MATLAB-Code im Listing 8.1 dargestellt.

Listing 8.1: Berechnung der benötigten Simulationsfrequenz

```

1 function fa = Simulationsfrequenz_berechnen(Winkelaufloesung,
      Oeffnungswinkel, micarr)
2 %Rückgabewert(fa): Berechnete Simulationsfrequenz
3 %Übergabeparameter(Winkelaufloesung): gewünschte Winkelauflösung
4 %Übergabeparameter(Oeffnungswinkel): gewünschter Oeffnungswinkel
      in dem die Winkelauflösung garantiert werden soll
5 %Übergabeparameter(micarr): Koordinaten der einzelnen Mikrofone
6 v_luft = 343;
7 P12 = micarr(1,:) - micarr(2,:); % Berechnung der Strecke zwischen
      dem ersten und zweiten Mikrofon
8 P12abs = sqrt(P12(1)^2 + P12(2)^2 + P12(3)^2); % Berechnung der
      Strecke zwischen dem ersten und zweiten Mikrofon
9 t_max = P12abs/v_luft; % Berechnung der maximalen Laufzeit
      zwischen zwei Mikrofonen
10 % Berechnung der benötigten Abtastfrequenz
11 verhaeltnis1 = sin((Winkelaufloesung + Oeffnungswinkel)/180*pi); %
      Winkelverhältnis am Rand des Öffnungswinkel plus
      Winkelauflösung

```

```
12 verhaeltnis2 = sin(Oeffnungswinkel/180*pi); % Winkelverhältnis am  
    Rand des Öffnungswinkel  
13 verhaeltnisaenderung = verhaeltnis1 - verhaeltnis2; % Differenz  
    zwischen den Winkelverhältnissen  
14 Ta = verhaeltnisaenderung * t_max; % Simulationsschrittweite  
15 fa = 1/Ta; % Simulationsfrequenz  
16 fa_round = fa/1000; % Abtastfrequenz auf kHz umrechnen  
17 fa = ceil(fa_round)*1000; %fa aufrunden und auf Hz umrechnen  
18 if fa<48000 % Wenn fa kleiner als 48kHz, dann 48kHz  
19     fa = 48000;  
20 end
```

### 8.3. Phasenfehler durch Wertediskrete Wave- Files

Betrachtet man einen Sinus der nicht nur Zeitdiskret sondern auch Wertediskret ist, dann kann nachgewiesen werden, dass ein Phasenfehler auch durch die begrenzte Bitauflösung zustande kommen kann. Das DSK-Board *TMS320C6713 DSK* hat eine Bitauflösung von *16Bit*. Wave- Files, die zur Simulation verwendet werden, können durchaus nur *8Bit* haben.

Folgend wird ein Szenario erzeugt, welches den Grenzfall darstellt, ab dem ein Phasenfehler durch ein Quantisierungsfehler erzeugt werden kann. In Abbildung 8.8 sind zwei abgetastete Sinusschwingungen zueinander um  $\frac{1}{f_a}$  verschoben. Die rote und grüne Linie zeigt den Toleranzbereich an, um wieviele Quantisierungsstufen die Sinusschwingung fehlerhaft abgetastet werden kann. Im dargestellten Beispiel sind es 4 Quantisierungsstufen. Ein solcher Fehler könnte durch Rauschen oder ein schlecht ausgepegeltes Mikrofon verursacht werden. Auf der Abbildung ist erkennbar, dass die um die Abtastzeit verschobene Sinusschwingung innerhalb des Quantisierungstoleranzbereiches liegt.

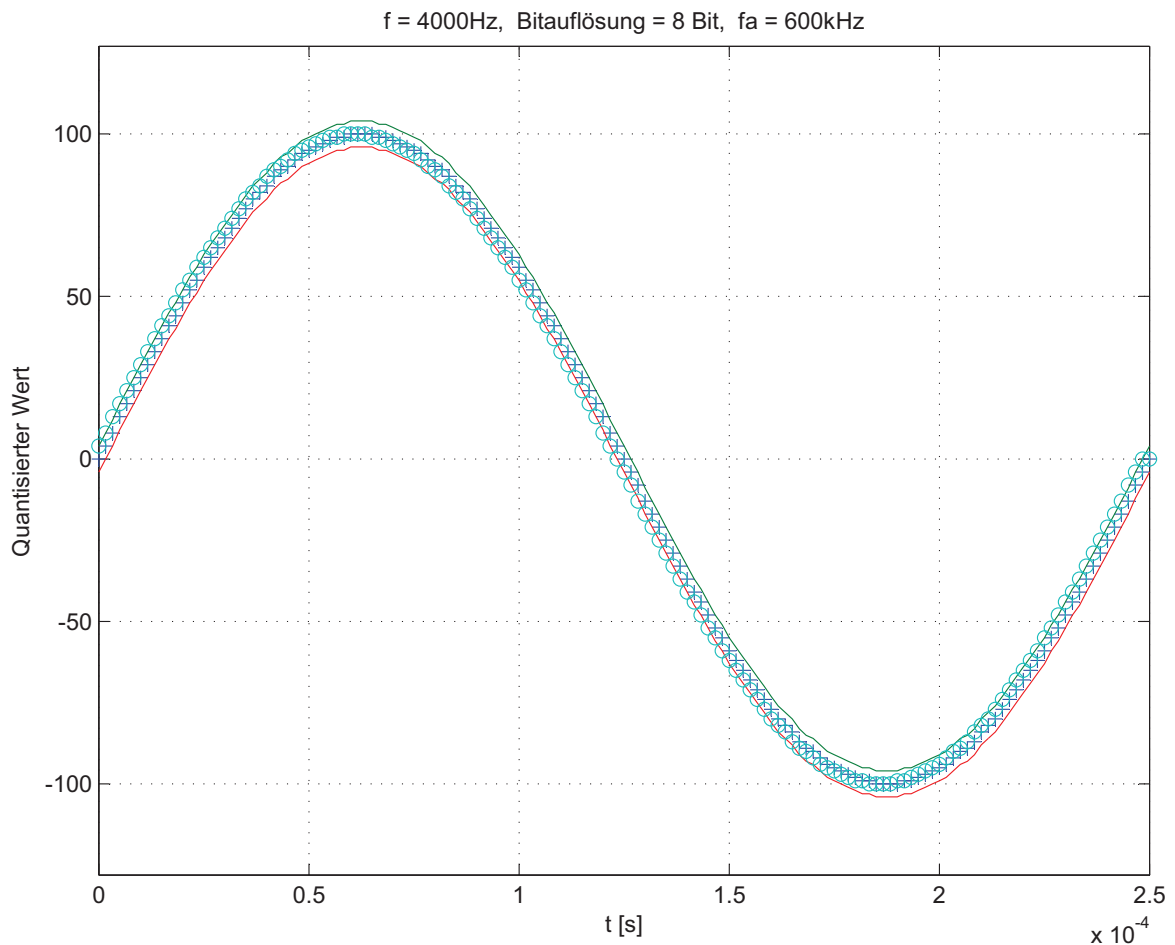


Abbildung 8.8.: Abgetastete Sinusschwingung mit um  $\frac{1}{f_a}$  verschobenen Sinusschwingung

Ein Phasenfehler bedeutet, dass der Winkel fehlerhaft berechnet wird. Im konkreten Fall auf um  $1^\circ$  bei  $40^\circ$  bzw. um  $0,76^\circ$  bei  $0^\circ$ .

Abbildung 8.9 zeigt eine genaue Betrachtung des Nulldurchgangs. Die abgetasteten Werte liegen genau auf der roten Toleranzgrenze. An der Abbildung ist zu erkennen, dass selbst bei Erhöhung der Abtastfrequenz der gleiche Fehler auftritt. Es kann keine höhere Winkelgenauigkeit durch eine höhere Abtastfrequenz erreicht werden. Die Winkelgenauigkeit ist in diesem Fall durch die Bitauflösung begrenzt.

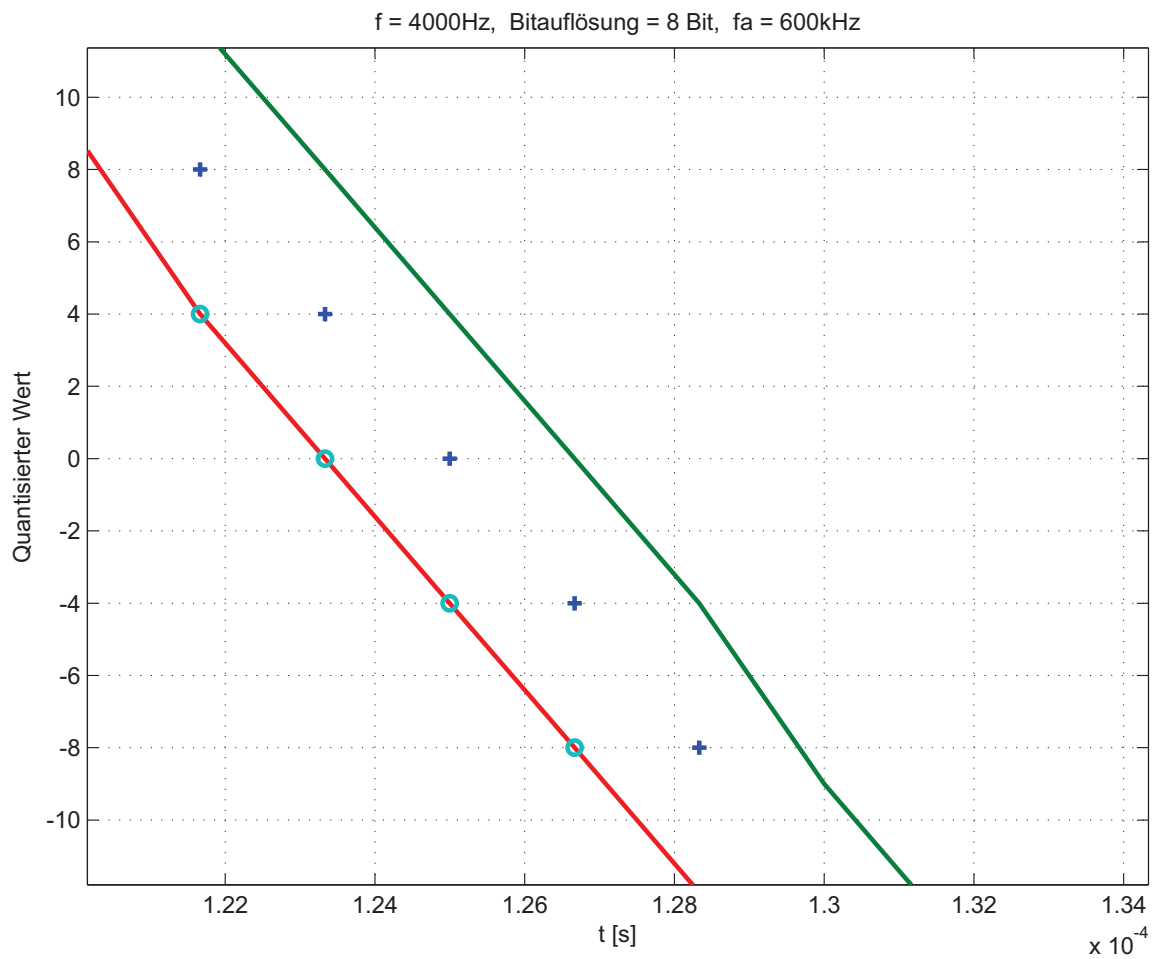


Abbildung 8.9.: Abgetastete Sinusschwingung mit um  $\frac{1}{f_a}$  verschobenen Sinusschwingung beim Nulldurchgang

Abbildung 8.10 zeigt eine genaue Betrachtung des Maximums. In diesem Bereich ist aufgrund der geringen Steigung beim Maximum eine Phasenverschiebung von mehr als einer Abtastzeit möglich.

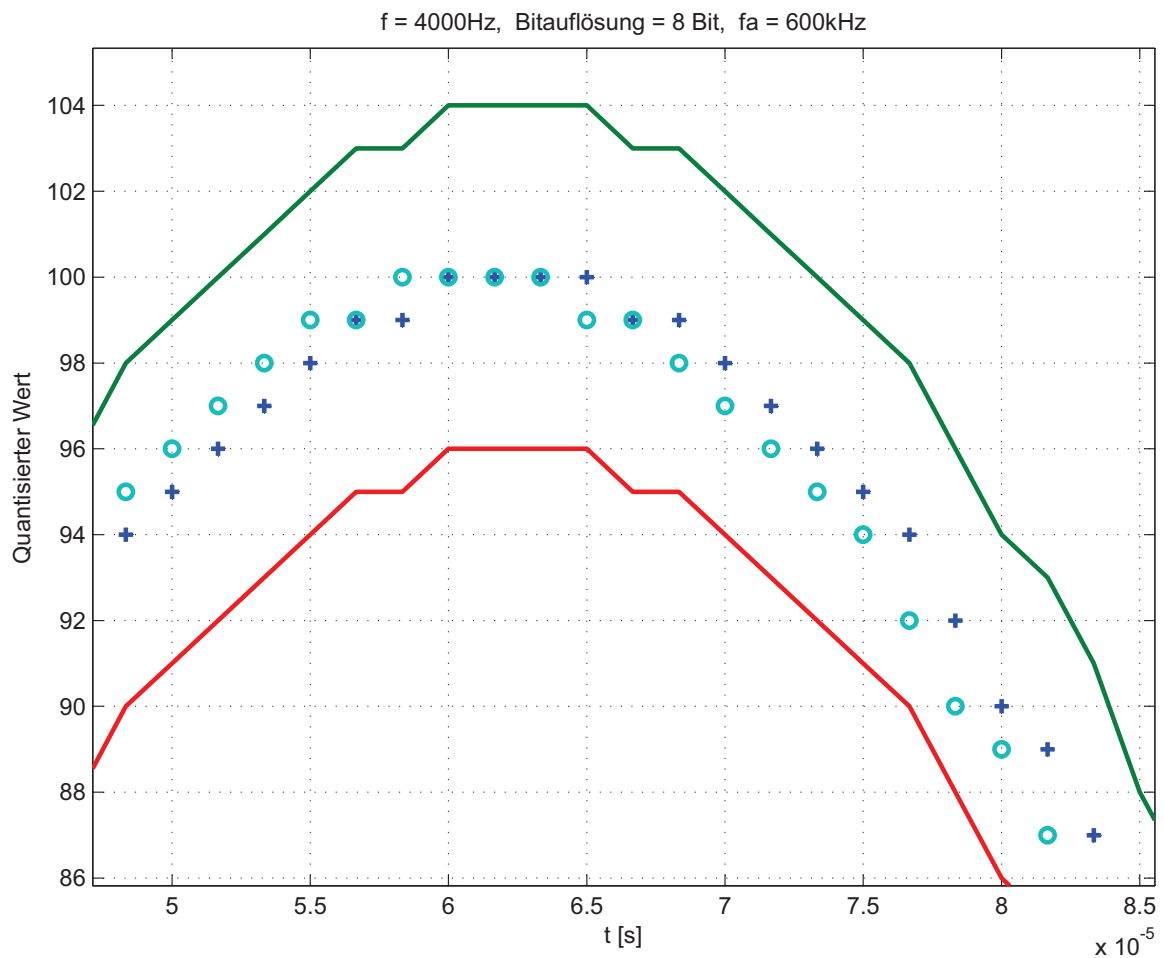


Abbildung 8.10.: Abgetastete Sinusschwingung mit um  $\frac{1}{f_a}$  verschobenen Sinusschwingung beim Maximum

Wird ein Breitband Algorithmus getestet, werden auch niederfrequente Sinusschwingen untersucht, die weitaus niedrigere Frequenzen, als die für den Abstand der Mikrofone zugrunde gelegten Frequenz haben. In Abbildung 8.11 ist dieses Szenario aufgezeigt. Hier handelt es sich um eine 100Hz Sinusschwingung, bei der der Toleranzbereich auf eine Quantisierungsstufe verringert wurde. Und die Abtastfrequenz nur 90kHz beträgt, was einer Winkelauflösung von ca. 5° im Winkelbereich von 0° entspricht.

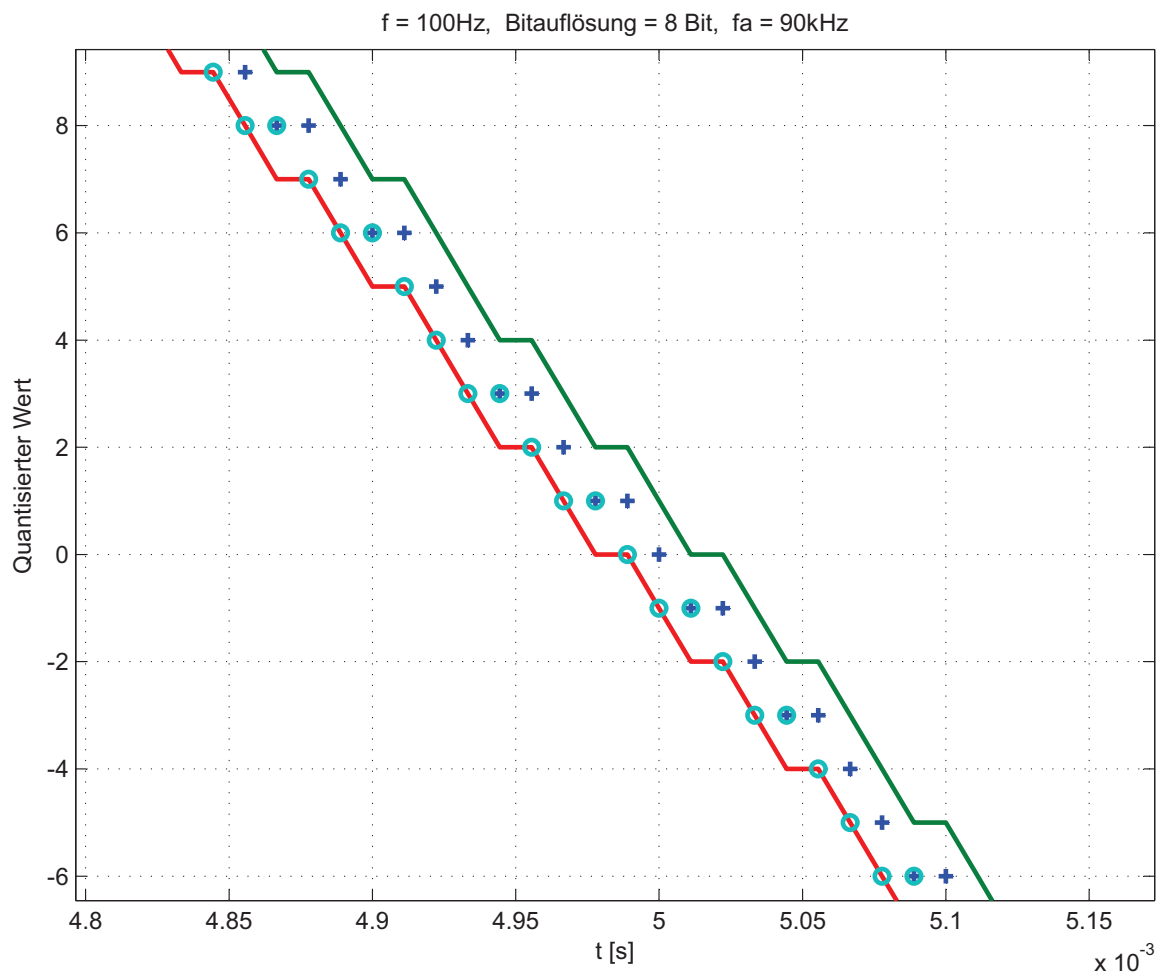


Abbildung 8.11.: Abgetastete Sinusschwingung mit um  $\frac{1}{f_a}$  verschobenen Sinusschwingung beim Nulldurchgang bei  $f = 100\text{Hz}$

Hierbei wird deutlich, dass Signale mit einer geringen Steigung bzw. niedrigen Frequenz aufgrund von Quantisierungsfehlern einen Phasenfehler erzeugen können.

## 9. Test

In diesem Kapitel wird das Simulationsprogramm mit unterschiedlichen Methoden getestet. Zuerst wurde die Genauigkeit der Simulation überprüft, anschließend wurde die Impulsantwort einer Raumsimulation aufgenommen und zum Schluss wurden die Simulationsausgangsdaten mit einem MUSIC.Algorithmus überprüft.

### 9.1. Untersuchung der Simulationsgenauigkeit

Zum Schluss wurde untersucht, ob das Programm richtige Ausgangssignale produziert. Der wichtigste Parameter dabei ist die korrekt ermittelte Laufzeitverzögerung. Um zu testen ob die Laufzeitverzögerung richtig simuliert wird, wurden die Wave-Dateien von Mikrofon 1 und Mikrofon 2 untersucht. In Abbildung 9.1 werden die beiden Zeitverläufe von Mikrofon 1 und Mikrofon 2 dargestellt, die sich bei folgenden Koordinaten ergeben haben:

$P_{M_1}$  Mikrofon 1 mit  $x_{M_1} = 3\text{ m}$ ,  $y_{M_1} = 2\text{ m}$ ,  $z_{M_1} = 1\text{ m}$

$P_{M_2}$  Mikrofon 2 mit  $x_{M_2} = 3,045\text{ m}$ ,  $y_{M_2} = 2\text{ m}$ ,  $z_{M_2} = 1\text{ m}$

$P_A$  Audioquelle mit  $x_A = 0,3\text{ m}$ ,  $y_A = 3\text{ m}$ ,  $z_A = 1,7\text{ m}$

Mit Formel 4.4, Formel 4.5 und Formel 5.3 wurde die Laufzeitverzögerung zwischen den Mikrofonen berechnet.



$$\vec{a}_1 = \overrightarrow{P_{M1}P_A} = \begin{pmatrix} x_A - x_{M1} \\ y_A - y_{M1} \\ z_A - z_{M1} \end{pmatrix} = \begin{pmatrix} 0,3m - 3m \\ 3m - 2m \\ 1,7m - 1m \end{pmatrix} = \begin{pmatrix} -2,7m \\ 1m \\ 0,7m \end{pmatrix}$$

$$\vec{a}_2 = \overrightarrow{P_{M2}P_A} = \begin{pmatrix} x_A - x_{M2} \\ y_A - y_{M2} \\ z_A - z_{M2} \end{pmatrix} = \begin{pmatrix} 0,3m - 3,045m \\ 3m - 2m \\ 1,7m - 1m \end{pmatrix} = \begin{pmatrix} -2,745m \\ 1m \\ 0,7m \end{pmatrix}$$

$$|\vec{a}_1| = \sqrt{a_x^2 + a_y^2 + a_z^2} = \sqrt{-2,7^2 + 1^2 + 0,7^2}m = 2,963106m$$

$$|\vec{a}_2| = \sqrt{a_x^2 + a_y^2 + a_z^2} = \sqrt{-2,7^2 + 1^2 + 0,7^2}m = 3,004168m$$

$$T_{\text{Tot},1} = \frac{a_1}{v_{\text{Luft}}} = \frac{2,963106m}{343 \frac{m}{s}} = 0,008638793s$$

$$T_{\text{Tot},2} = \frac{a_2}{v_{\text{Luft}}} = \frac{3,004168m}{343 \frac{m}{s}} = 0,008758507s$$

$$T_0 = T_{\text{Tot},2} - T_{\text{Tot},1} = 0,008758507s - 0,008638793s = 0,119714ms$$

Aus Abbildung 9.1 werden die Zeiten des Maximums beider Mikrofone  $t_1 = 2,7078ms$  und  $t_2 = 2,8265ms$  entnommen, um daraus wie oben die Laufzeitverzögerung zwischen den Mikrofonen zu berechnen. Aus den beiden Ergebnissen wird der relative zeitliche Fehler berechnet.

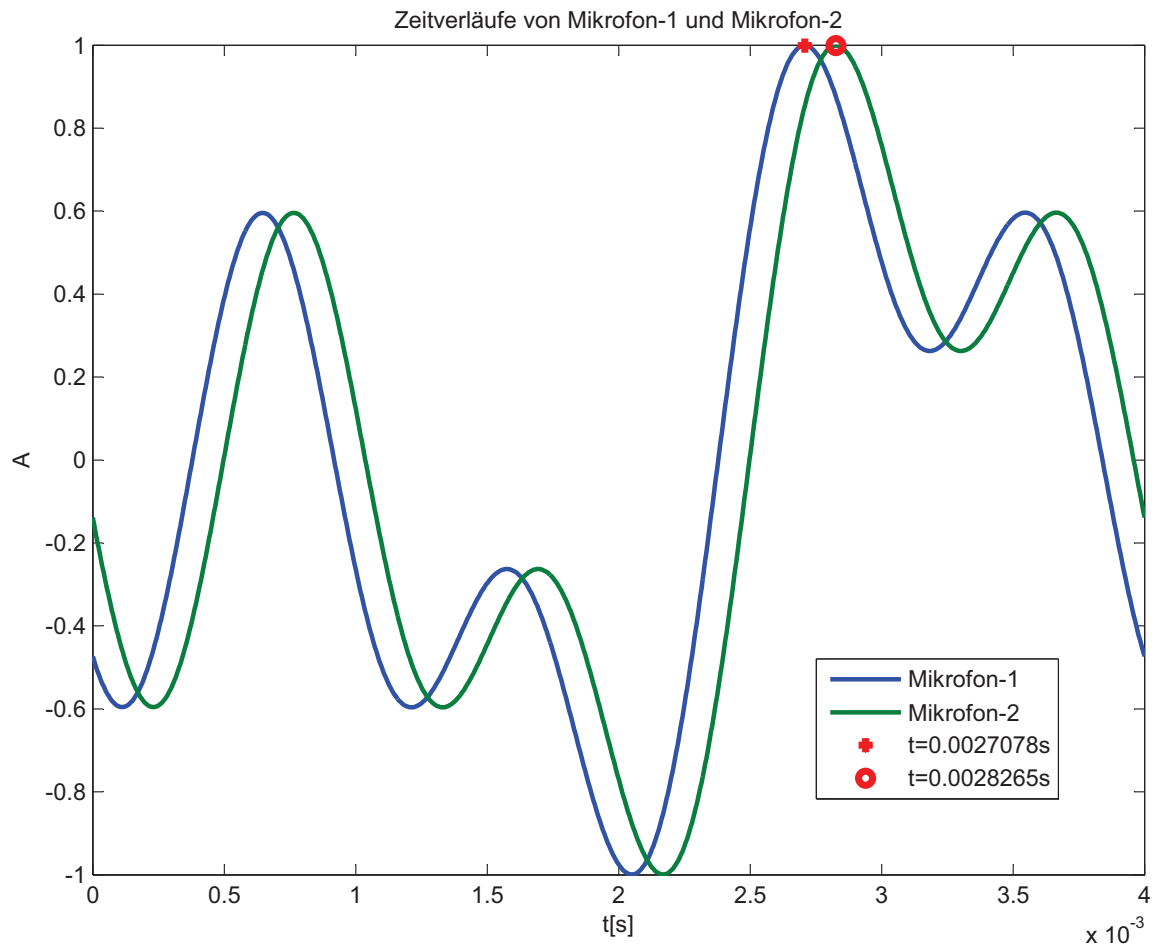


Abbildung 9.1.: Zeitverlauf von Mikrofon 1 und Mikrofon 2

$$t_0 = t_2 - t_1 = 2,8265 \text{ ms} - 2,7078 \text{ ms} = 0,1187 \text{ ms}$$

$$t_{\text{ERROR}} = \frac{T_0 - t_0}{T_0} = \frac{0,119714 \text{ ms} - 0,1187 \text{ ms}}{0,119714 \text{ ms}} = 0,00847 = 0,847\%$$

Interessant ist der Winkelfehler, der sich bei der berechneten Zeitdifferenz ergibt. Die Positionen der Mikrofone und der Audioquelle wurden so gewählt, dass sich ungefähr ein Fehler von  $1^\circ$  ergibt. Es wurde sich bei dem Test dem Winkelfehler von  $1^\circ$  iterativ genähert.

$$\begin{aligned}\theta_{\text{goe}} &= \arcsin \left\{ \frac{T_{\Delta}}{t_{\text{max}}} \right\} = \arcsin \left\{ \frac{0,119714 \text{ ms}}{0,131195 \text{ ms}} \right\} = 65,85^{\circ} \\ \theta_{\text{sim}} &= \arcsin \left\{ \frac{t_{\Delta}}{t_{\text{max}}} \right\} = \arcsin \left\{ \frac{0,1187 \text{ ms}}{0,131195 \text{ ms}} \right\} = 64,79^{\circ} \\ \theta_{\text{ERROR}} &= \theta_{\text{goe}} - \theta_{\text{sim}} = 65,85^{\circ} - 64,79^{\circ} = 1,06^{\circ}\end{aligned}$$

Eingestellt wurde bei der Parametrierung eine Winkelauflösung von  $1^{\circ}$  garantiert über  $40^{\circ}$ . Wie der Berechnung entnommen werden kann, ist dies sogar bis zu einem Öffnungswinkel von  $65^{\circ}$  der Fall. Dies ist genauer als nach Einstellung verlangt worden ist. Die höhere Genauigkeit lässt sich dadurch erklären, dass sich nur im ungünstigsten Fall eine Winkelauflösung von  $1^{\circ}$  über einen Öffnungswinkel von  $40^{\circ}$  ergibt.

## 9.2. Aufnahme der Impulsantwort eines simulierten Raumes

Die Verteilung, der an einem Hörerort eintreffenden Reflexionen, kann man mittels der Raumimpulsantwort darstellen. Das ist die zeitliche Folge von Schallrückwürfen nach Anregen eines Raumes mit einem kurzen Schallimpuls.[19]

In Abbildung 9.2 ist die Raumimpulsantwort mit Reflexionen bis zur 1.-Ordnung aufgenommen worden. Da bei dieser Aufnahme die Wände mit Vollreflexion betrachtet worden sind, fallen die Impulshöhen mit der Zeit ab.

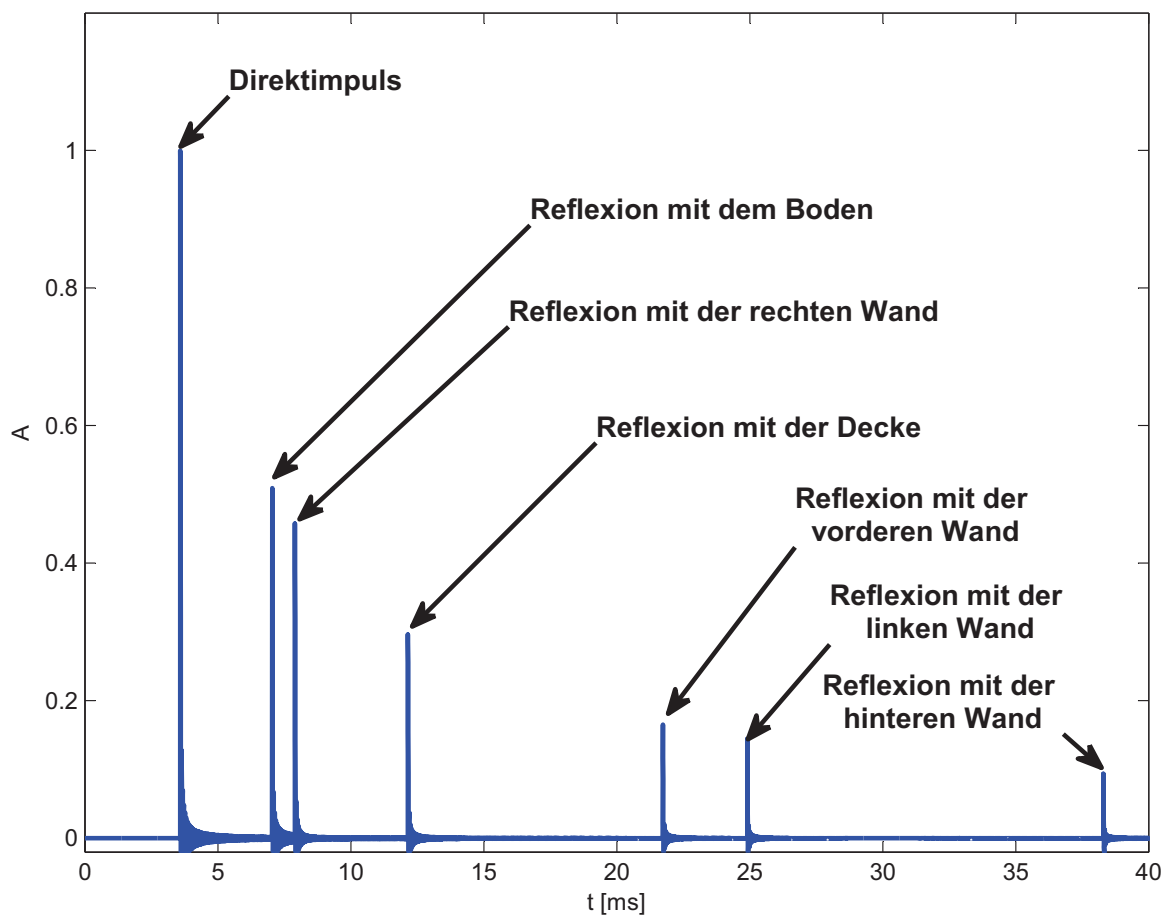


Abbildung 9.2.: Raumimpulsantwort mit Reflexionen bis zur 1.-Ordnung

Dem Simulationsprogramm wurde als Signalquelle ein Dirac-Impuls zugeführt. Das Simulationsprogramm interpoliert die Eingangsdaten auf eine höhere Simulationsfrequenz. Das

Interpolieren geschieht mit der MATLAB Funktion *interpft()*. Diese Funktion erzeugt über eine *FFT* aus den Eingangsdaten die Werte einer *DFT*. Das transformierte Signal wird mittels *Zero-padding* auf die gewünschte Simulationsfrequenz erweitert. Danach wird das transformierte Signal mit einer *IFFT* zurück in den Zeitbereich transformiert. Dadurch entstehen *Overshoots* und *ripples*, welche in Abbildung 9.3 zu erkennen sind und durch das Gibbs'sche Phänomen verursacht werden.

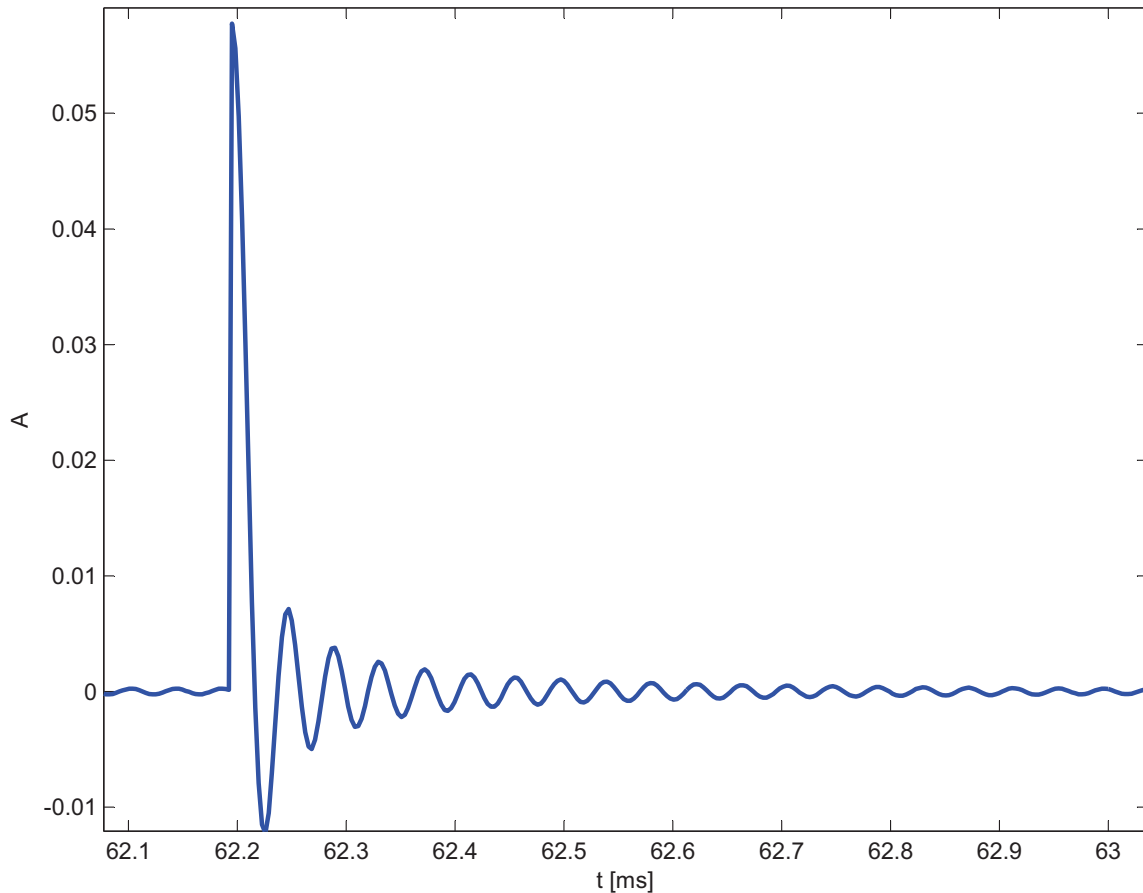


Abbildung 9.3.: Gibbs'sche Phänomen durch Interpolieren des Dirac-Impulses

Bei der Betrachtung einer Raumimpulsantwort mit Reflexionen bis zur II.-Ordnung fallen die Impulshöhen nicht mehr mit der Zeit ab, wie in Abbildung 9.4 dargestellt wird. Dies liegt daran, dass sich bei der Reflexion II.-Ordnung alle Reflexionen mit gegenüberliegenden Wänden genau überlagern.

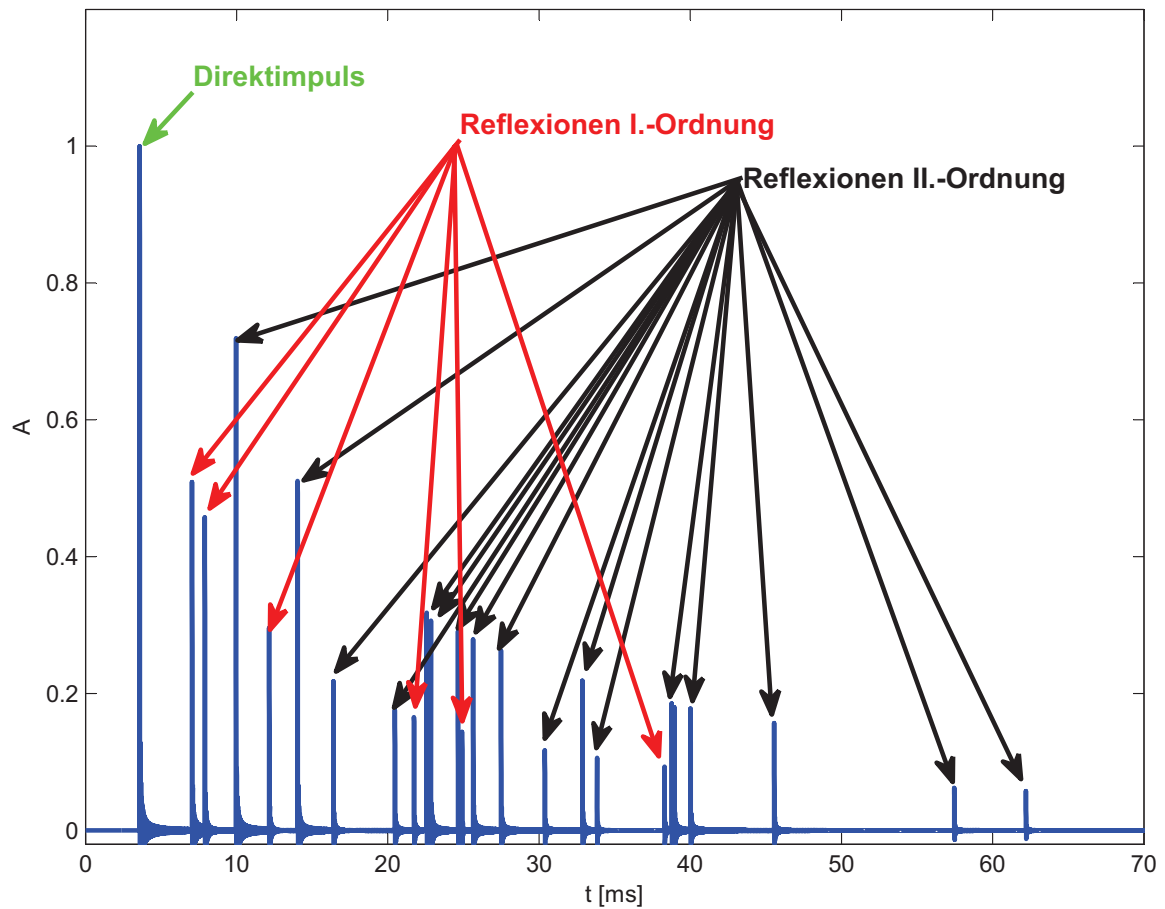


Abbildung 9.4.: Raumimpulsantwort mit Reflexionen bis zur II.-Ordnung

Werden, wie in Abbildung 9.5 dargestellt, die frequenzabhängigen Oberflächen mit in die Simulation integriert, werden die reflektierten Impulse noch stärker gedämpft. Die implementierten Filter dämpfen Frequenzen oberhalb von  $8\text{ kHz}$  mit  $40\text{ dB}$ . Da ein Dirac-Impuls einen Frequenzgang von 1 hat und mit einer Simulationsfrequenz von  $328\text{ kHz}$  simuliert wurde, kommt fast keine Leistung mehr bei den Reflexionen durch die Filter.

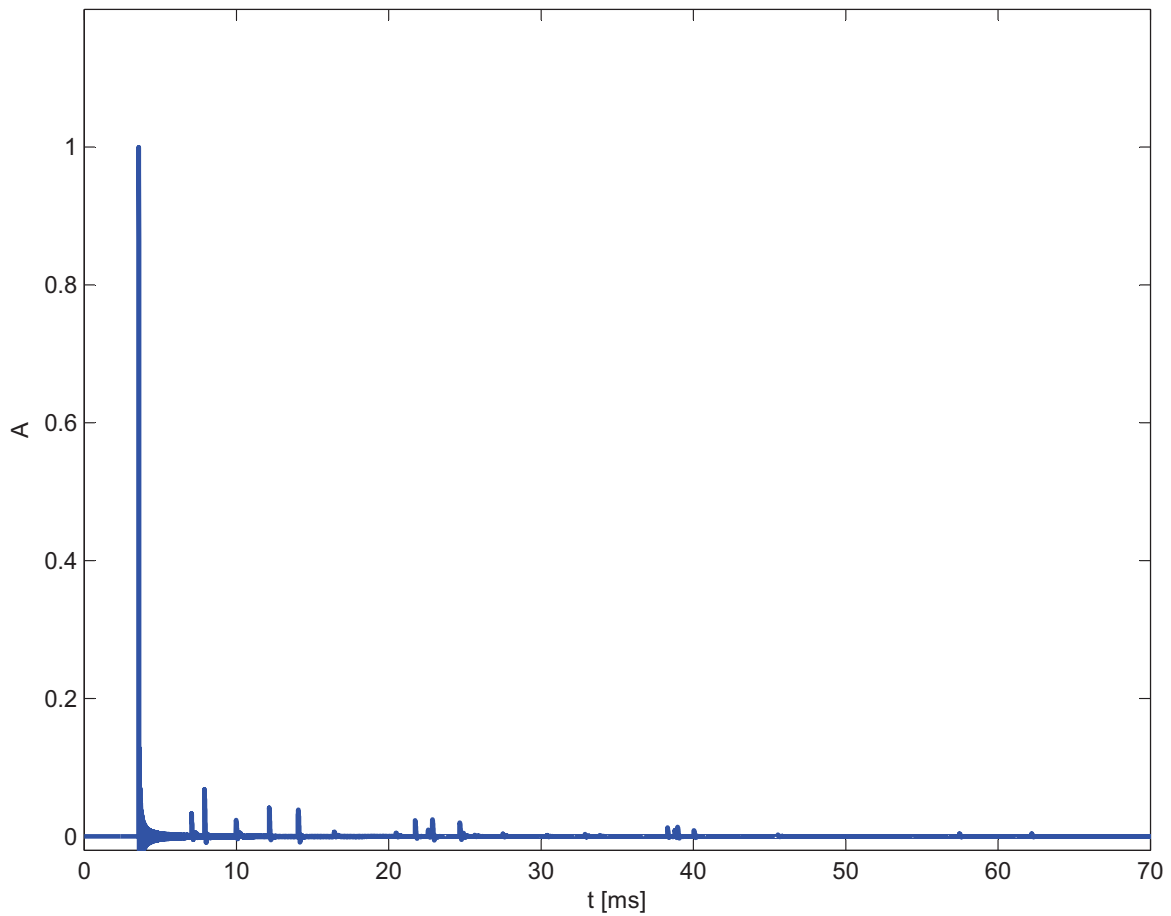


Abbildung 9.5.: Raumimpulsantwort mit Reflexionen bis zur II.-Ordnung mit frequenzabhängigen Oberflächen

Das Simulationsprogramm orientiert sich an einem Hardwareaufbau. Wenn mit einem Mikrofon über einen *ADU* eine Raumimpulsantwort aufgenommen wird, wird das aufgenommene Signal, bevor es auf den *ADU* geleitet wird, über einen Tiefpass gefiltert. Dem Simulationsprogramm dürfen auch nur Tiefpassgefilterte Signale zugeführt werden, damit das Simulationsverhalten möglichst der Realität entspricht. Wird ein *Dirac-Impuls* mit einem Tiefpass gefiltert, ergibt sich näherungsweise ein Rechteckimpuls. Aus diesem Grunde wurde ein Rechteckimpuls als Signalquelle für die Aufnahme der Impulsantwort bei frequenzabhängigen Oberflächen verwendet. Im Folgenden wird dies als bandbegrenzte Raumimpulsantwort definiert.

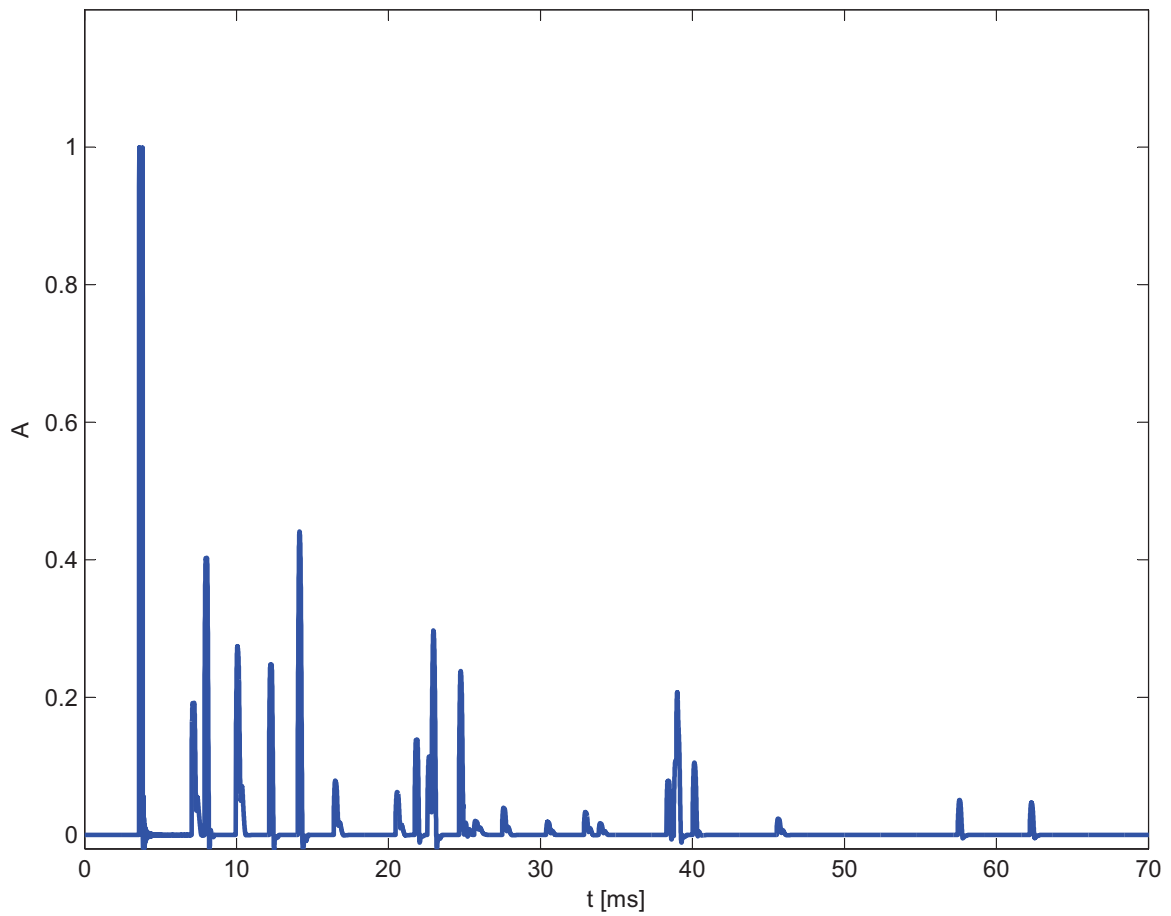


Abbildung 9.6.: Bandbegrenzte Raumimpulsantwort mit Reflexionen bis zur II.-Ordnung mit frequenzabhängigen Oberflächen

Die durch die Filterung geringere Flankensteilheit wurde in [Abbildung 9.7](#) noch mal höher aufgelöst dargestellt.



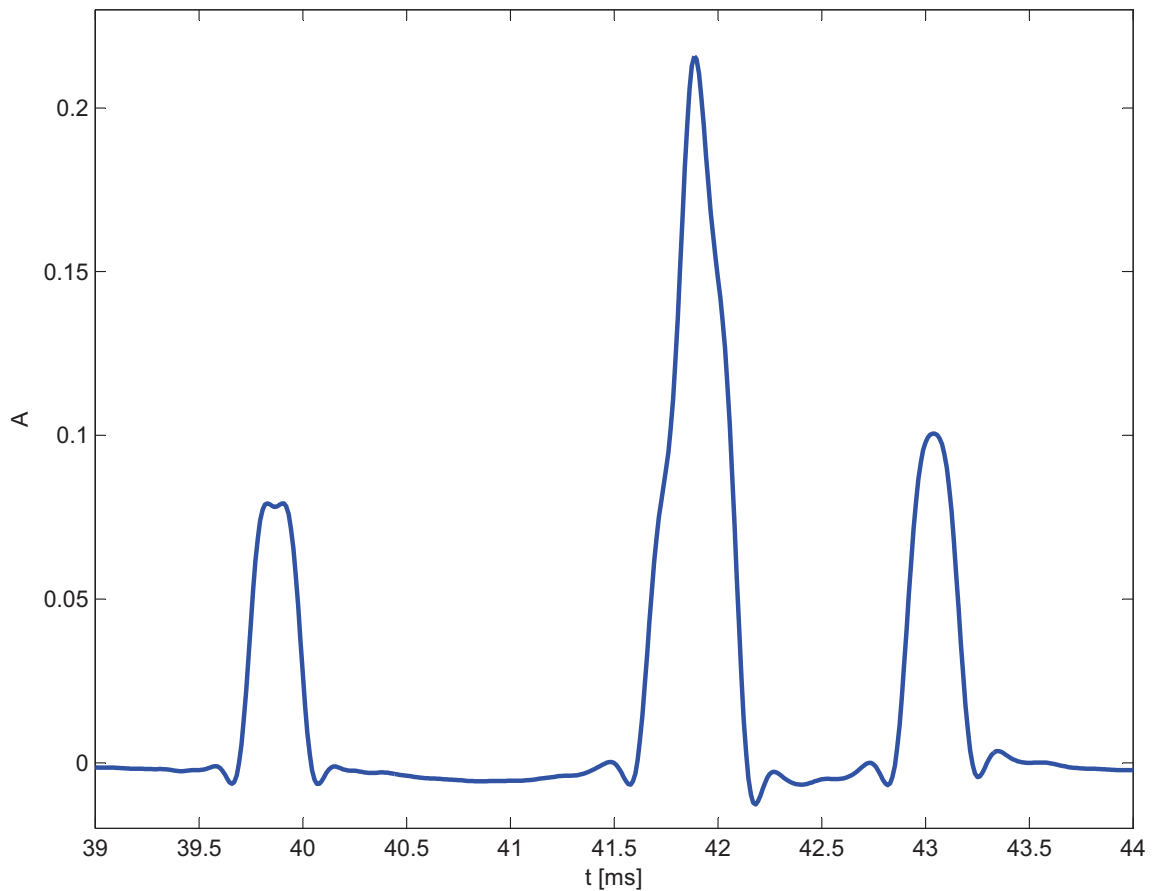


Abbildung 9.7.: Dämpfung des Impulses durch die frequenzabhängigen Oberflächen

### 9.3. Schallquellen-Lokalisation mittels MUSIC-Algorithmus

Das Simulationsprogramm soll auch für unterraumbasierte Verfahren verwendbar sein. Dies wurde durch eine Simulationsfrequenz, die sich dem Abstand des Mikrofonarrays anpasst, gewährleistet. Weiterhin soll getestet werden, ob ein solches unterraumbasiertes Verfahren zur Schallquellen-Lokalisation mit den Ausgangssignalen der Mikrofone arbeiten kann. Hierzu wurde der *MUSIC-Algorithmus* verwendet. Mit dem Simulationsprogramm wurden drei Mikrofonausgangssignale erzeugt, die dem MUSIC-Algorithmus zugeführt wurden. Aus der Simulationsanordnung wurde vorweg der Winkel der Audioquelle zum Mikrofonarray berechnet, um die Ergebnisse des MUSIC-Algorithmus bewerten zu können. Beim Simulationsprogramm wurde eine Simulationsfrequenz gewählt, die eine Winkelauflösung von  $2^\circ$  gewährleistet.

$P_{M1}$  Mikrofon 1 mit  $x_{M1} = 0,745m$ ,  $y_{M1} = 6,145m$ ,  $z_{M1} = 0,945m$

$P_{M2}$  Mikrofon 2 mit  $x_{M2} = 0,805m$ ,  $y_{M2} = 6,145m$ ,  $z_{M2} = 0,945m$

$P_A$  Audioquelle mit  $x_A = 1,452m$ ,  $y_A = 6,958m$ ,  $z_A = 1,54m$

Mit Formel 4.4, Formel 4.5 und Formel 5.3 wurde die Laufzeitverzögerung zwischen den Mikrofonen berechnet.

$$\vec{a}_1 = \overrightarrow{P_{M1}P_A} = \begin{pmatrix} x_A - x_{M1} \\ y_A - y_{M1} \\ z_A - z_{M1} \end{pmatrix} = \begin{pmatrix} 1,452m - 0,745m \\ 6,958m - 6,145m \\ 1,54m - 0,945m \end{pmatrix} = \begin{pmatrix} 0,707m \\ 0,813m \\ 0,595m \end{pmatrix}$$

$$\vec{a}_2 = \overrightarrow{P_{M2}P_A} = \begin{pmatrix} x_A - x_{M2} \\ y_A - y_{M2} \\ z_A - z_{M2} \end{pmatrix} = \begin{pmatrix} 1,452m - 0,805m \\ 6,958m - 6,145m \\ 1,54m - 0,945m \end{pmatrix} = \begin{pmatrix} 0,647m \\ 0,813m \\ 0,595m \end{pmatrix}$$

$$|\vec{a}_1| = \sqrt{a_x^2 + a_y^2 + a_z^2} = \sqrt{0,707^2 + 0,813^2 + 0,595^2}m = 1,23079m$$

$$|\vec{a}_2| = \sqrt{a_x^2 + a_y^2 + a_z^2} = \sqrt{0,647^2 + 0,813^2 + 0,595^2}m = 1,19733m$$

$$T_{\text{Tot},1} = \frac{a_1}{v_{\text{Luft}}} = \frac{1,23079m}{343 \frac{m}{s}} = 0,0035883s$$

$$T_{\text{Tot},2} = \frac{a_2}{v_{\text{Luft}}} = \frac{1,19733m}{343 \frac{m}{s}} = 0,0034908s$$

$$T_0 = T_{\text{Tot},1} - T_{\text{Tot},2} = 0,0035883s - 0,0034908s = 0,0975ms$$

$$\theta_{\text{goe}} = \arcsin \left\{ \frac{T_\Delta}{t_{\text{max}}} \right\} = \arcsin \left\{ \frac{0,0975ms}{0,1749ms} \right\} = 33,88^\circ$$

Das Ergebnis der Schallquellen-Lokalisation vom MUSIC-Algorithmus bei Simulationsergebnissen ohne Reflexionen ergab  $35,388^\circ$ . Dies entspricht einen Fehler von  $1,508^\circ$ , wie in Abbildung 9.8(b) dargestellt. Damit wird die Schallquelle im durch die Simulation ergebnen Toleranzbereich lokalisiert.

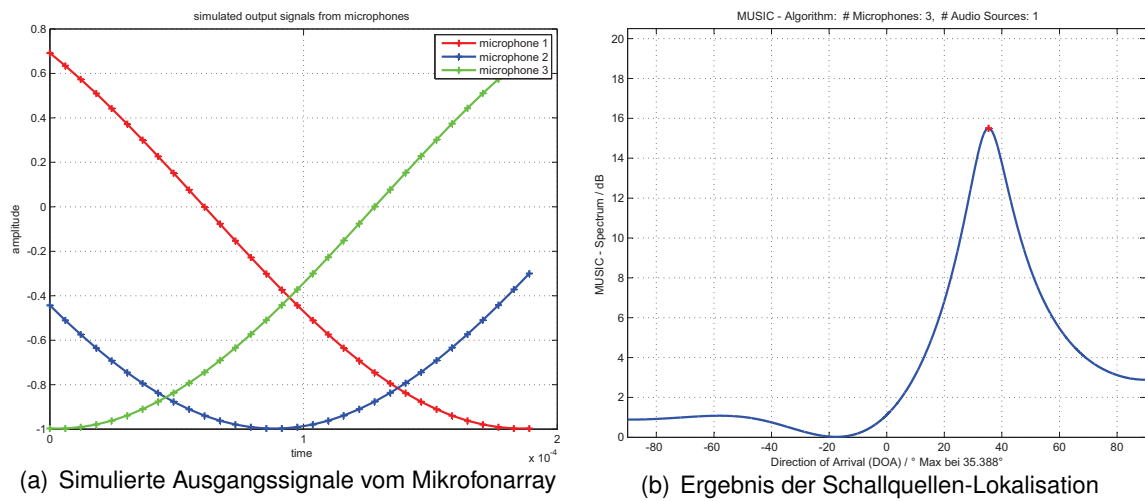


Abbildung 9.8.: Schallquellen-Lokalisation mittels MUSIC-Algorithmus an simulierten Mikrofonausgangssignalen ohne Reflexionen

Bei Simulationsausgangswerten mit Reflexionen bis zur I.-Ordnung verschiebt sich der ermittelte Wert auf  $39,168$ . Dies entspricht einem Fehler von  $5,288^\circ$ . Die Reflexionen beeinflussen das Ergebnis. Die Kurve der Schallquellen-Lokalisation ohne Reflexion ist, wie in Abbildung 9.8(b) dargestellt, gegenüber der Schallquellen-Lokalisation mit Reflexionen, wie in Abbildung 9.9(b), deutlich schlanker und höher. Dies kommt durch die Beeinflussung der Reflexionen, die aus einem anderen Winkel auf das Mikrofonarray einfallen.

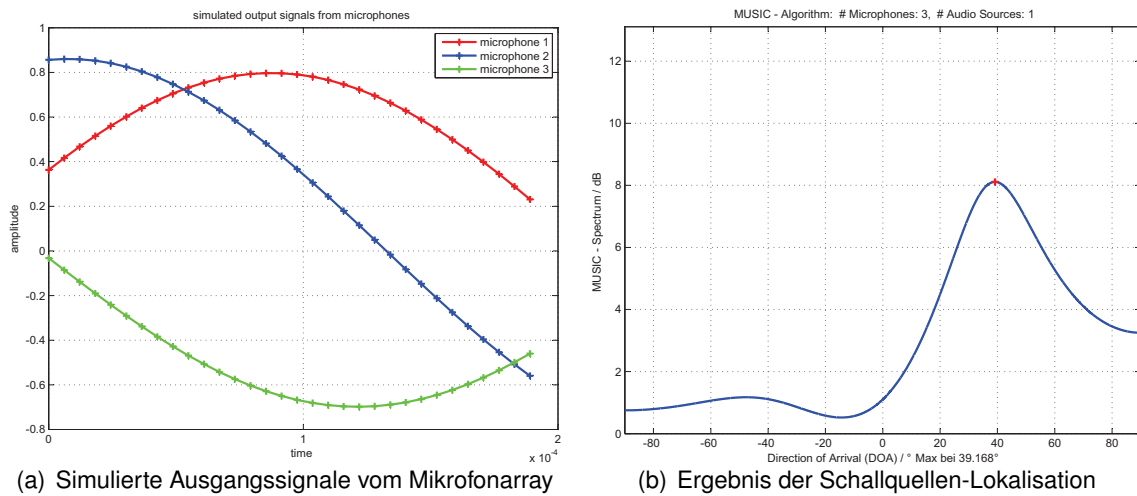


Abbildung 9.9.: Schallquellen-Lokalisation mittels MUSIC-Algorithmus an simulierten Mikrofon Ausgangssignalen mit Reflexionen bis zur I.-Ordnung

In Abbildung 9.10(b) ist das Ergebnis der Schallquellen-Lokalisation mit Reflexionen bis zur II.-Ordnung dargestellt. Der ermittelte Wert liegt bei  $19,404^\circ$ . Dies ist ein sehr große Fehler von  $-14,476^\circ$ . Die Reflexionen überlagern sehr stark. Somit hat der direkte Schall nicht die höchste Amplitude.

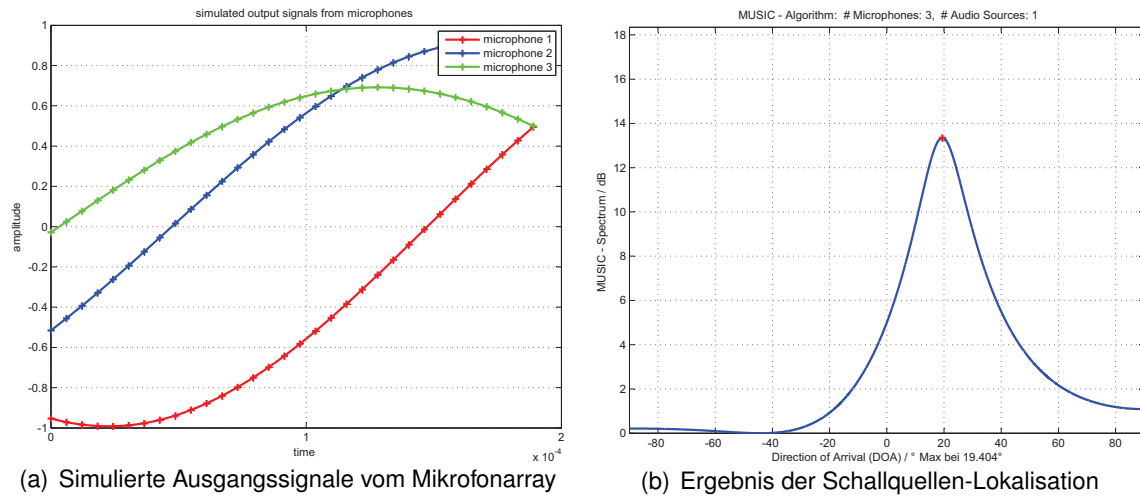


Abbildung 9.10.: Schallquellen-Lokalisation mittels MUSIC-Algorithmus an simulierten Mikrofonausgangssignalen mit Reflexionen bis zur II.-Ordnung

In Abbildung 9.11(b) beeinflussen die Reflexionen die Schallquellen-Lokalisation nur noch gering. Es wurde bei dieser Simulation stark dämpfende Oberflächen ausgewählt. Hierdurch konnte der MUSIC-Algorithmus die Schallquelle sehr gut lokalisieren mit  $33,804$ . Dies entspricht einen Fehler von  $-0,076^\circ$ . Dass der Fehler geringer ist als bei der Schallquellen-Lokalisation ohne Reflexionen, ist möglicherweise einer zufälligen positiven Beeinflussung der schwachen Reflexionen zuzuschreiben.

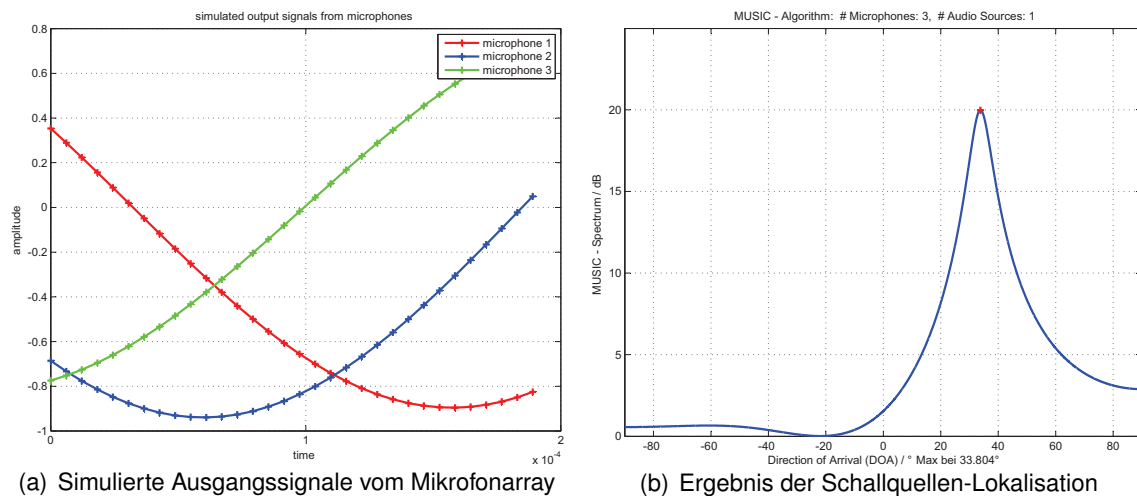


Abbildung 9.11.: Schallquellen-Lokalisation mittels MUSIC-Algorithmus an simulierten Mikrofonausgangssignalen mit Reflexionen bis zur II.-Ordnung und frequenzabhängigen Oberflächen

Um die Möglichkeiten des Programmes weiter darzulegen, werden im Folgenden Ergebnisse bei unterschiedlichen Raumanordnungen dargestellt. Dabei wurden nur die Raumdimensionen geändert und die Ausrichtung der Audioquelle zum Mikrofonarray beibehalten. Somit steht die Audioquelle weiterhin in einem Winkel von  $33,88^\circ$  zum Mikrofonarray.

### 9.3.1. Vergleich zwischen vollreflektierenden und dämpfenden Oberflächen

Zunächst wurde eine sehr ungünstige Raumanordnung gewählt, bei der sehr viele Reflexionen nahe beieinander und mit geringer Dämpfung durch Ausbreitung auf das Mikrofonarray vorlagen. Das Ergebnis der Schallquellen-Lokalisation, wie in Abbildung 9.12(a) dargestellt, ergibt einen Winkelfehler von über  $80^\circ$ . Die Anordnung ist so ungünstig, dass der MUSIC-Algorithmus nicht in der Lage ist, die Schallquelle zu orten. Bei gleicher Anordnung wurden Oberflächenparameter mit stark dämpfenden Eigenschaften eingestellt. In Abbildung 9.12(b) kann man eine Fehlberechnung des MUSIC-Algorithmus von nur  $0,6^\circ$  ablesen. Die Zuverlässigkeit des MUSIC-Algorithmus ist somit von der Oberflächenstruktur der Wände abhängig. In diesem Beispiel wurden nur die beiden Extremsituationen dargestellt. Es ist natürlich auch möglich Wandparameter mit einer mittleren Dämpfung einzustellen.

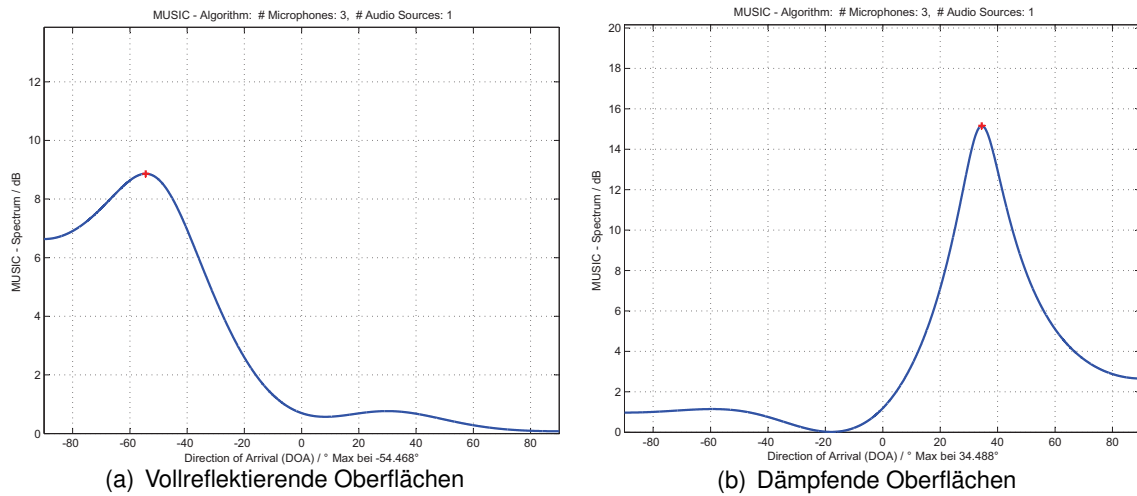


Abbildung 9.12.: Ergebnisvergleich der Schallquellen-Lokalisation bei unterschiedlich reflektierenden Oberflächen

In Abbildung 9.13 sind die Raumimpulsantworten der beiden Messungen dargestellt, an denen man sehr deutlich die Problematik der dicht beieinander auftretenden Reflexionen anschauen kann. Durch die stark dämpfenden Oberflächen prägen sich die Reflexionen in Abbildung 9.13(b) geringer aus.

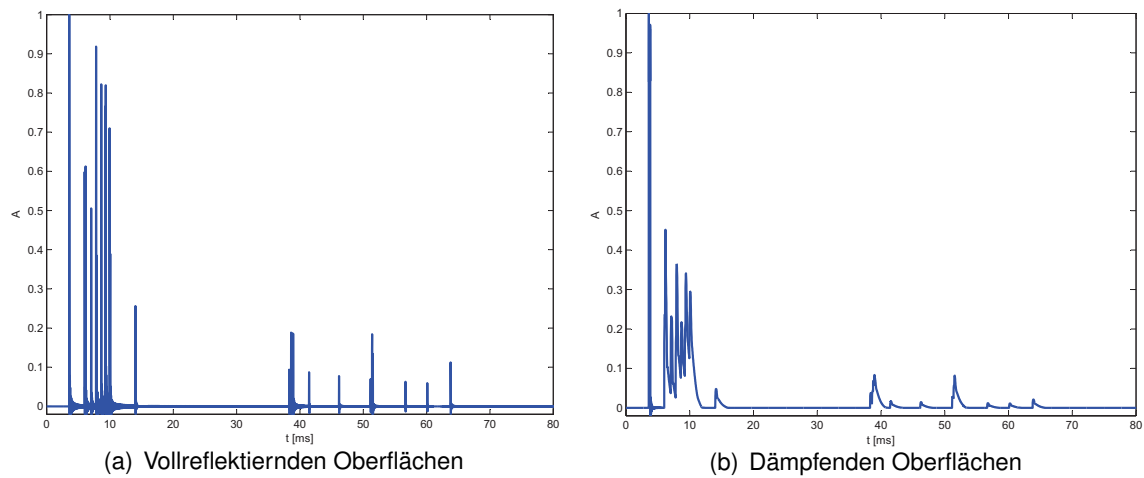


Abbildung 9.13.: Raumimpulsantwortvergleich bei unterschiedlich reflektierenden Oberflächen

Es können, wie oben dargestellt, Schallquellen-Lokalisations-Algorithmen in Abhängigkeit der Wandparameter getestet werden.



### 9.3.2. Vergleich zwischen günstigen und ungünstigen Raumanordnungen

Zum Schluss wird hier der Vergleich zwischen einer günstigen Raumanordnung und einer ungünstigen Raumanordnung dargelegt. In Abbildung 9.14(a) wurde die Audioquelle und das Mikrofonarray in eine Ecke eines Raumes platziert. Dabei fallen viele Reflexionen nahe beieinander auf das Mikrofonarray ein. Der MUSIC-Algorithmus kann die Schallquelle nicht orten. In Abbildung 9.14(b) wurde die Audioquelle und das Mikrofonarray in die Mitte eines Raumes platziert. Somit sind die Reflexionen weit auseinander und durch die langen Wegstrecken bei Ankunft am Mikrofonarray schon stark gedämpft. Die Schallquelle kann vom MUSIC-Algorithmus gut lokalisiert werden. Die Zuverlässigkeit des MUSIC-Algorithmus ist von der Raumanordnung abhängig. Auch hier können verschiedene Situationen, die sich verschieden stark auf die Schallquellen-Lokalisation auswirken, getestet werden.

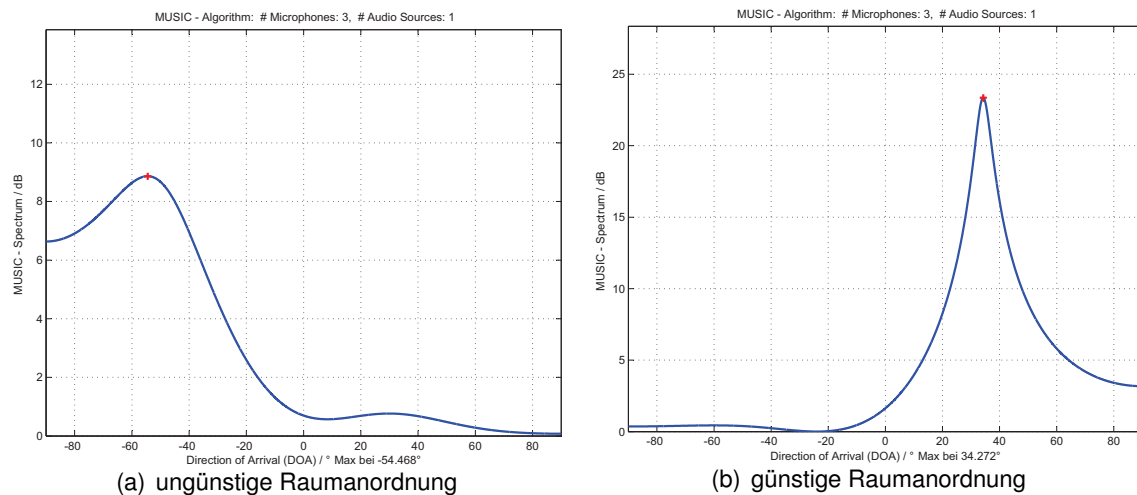


Abbildung 9.14.: Ergebnisvergleich der Schallquellen-Lokalisation bei unterschiedlichen Raumanordnungen

In Abbildung 9.15 sind die Raumimpulsantworten der beiden Messungen dargestellt. In Abbildung 9.15(b) ist zu erkennen, dass die Reflexionen deutlich später und stark gedämpft auf das Mikrofonarray einfallen, als dies in Abbildung 9.15(a) der Fall ist.

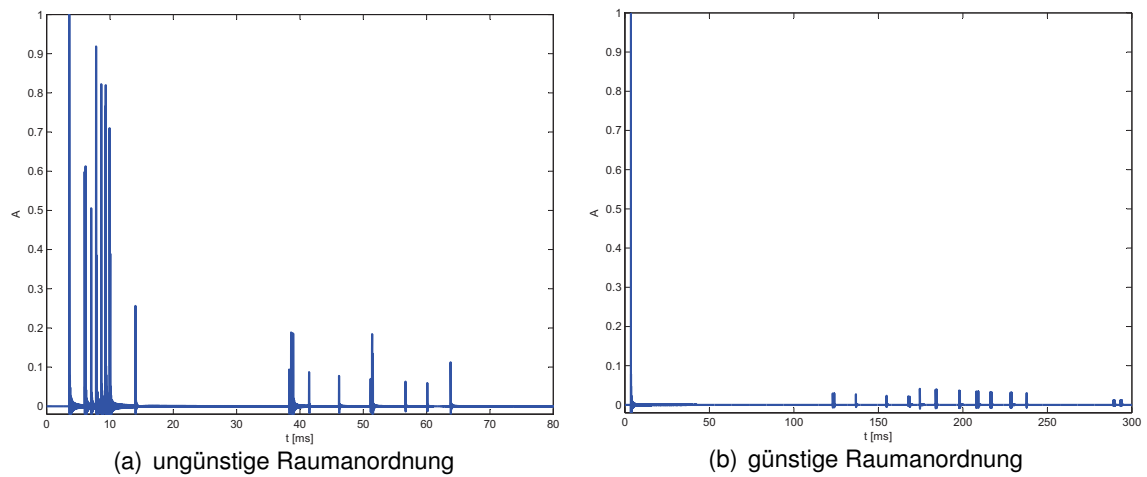


Abbildung 9.15.: Raumimpulsantwortvergleich bei unterschiedlichen Raumanordnungen

Es können wie oben dargestellt Schallquellen-Lokalisations-Algorithmen in Abhängigkeit der Raumanordnung getestet werden.

## 10. Ausblick

Das Raumsimulationsprogramm ist beliebig erweiterbar. Nachstehend werden ein paar Beispiele aufgeführt, die als *Add on* zum Simulationsprogramm implementiert werden können.

- bewegte Quellen
- Anzahl der Wandreflexionen
- Auslagern von rechenintensiven MATLAB-code in C-code zur Beschleunigung des Simulationsteiles
- Richtcharakteristik von Schallquellen hinzufügen
- Erweiterung der Wandreflexionsdatenbank

Eine akustische Raumsimulation mit MATLAB, speziell für unterraumbasierte Verfahren wurde bis vor dieser Bachelorarbeit nicht öffentlich zugänglich gemacht.[1] Dies war bislang besonders ärgerlich im Bezug auf die M-Files von MATLAB, da bis dato auf keine Vorarbeit zurückgegriffen werden konnte. Mit dieser Bachelorthesis und den damit erstellten M-Files ist eine erste Open Source Basis für eine Weiterentwicklung solcher Raumsimulationen erstellt worden. Ich hoffe an dieser Stelle, dass meine Arbeit aufgegriffen wird und dieses Programm erweitert wird.

Für das Gesamtprojekt, die vollautomatische interaktive Videoaufzeichnung von Vorlesungen, ist ein erster Teile fertig gestellt. Parallel zu dieser Arbeit ist an der HAW Hamburg eine Thesis über das Beschleunigen von FFTs mit dem *DSK TMS320C6713* von *Texas Instruments* entstanden und eine Thesis über Graphikkarten, die zur Verwendung als Signalprozessor herangezogen werden sollen. Beides sind Hardwareumgebungen auf dem die vollautomatische Videoaufzeichnung realisiert werden könnte. In einer folgenden Mastertesis kann die Findung eines optimal geeigneten Algorithmus zur Sprachquellenlokalisierung und/oder die Implementierung eines Algorithmus in einer der beiden Hardwareumgebungen realisiert werden.

# 11. Schluss

Die akustische Raumsimulation wurde erfolgreich unter MATLAB implementiert. Für eine bedienfreundliche Handhabung wurde eine graphische Oberfläche erstellt. Damit das Programm nachvollziehbar ist und damit erweiterbar, wurden über diese Arbeit hinaus reichende Gedanken zur Strukturierung des Programms gemacht. Sowie eine Struktur für die Parameterdatensätze entwickelt. Über die physikalischen Eigenschaften der Schallausbreitung ist ein Konzept zur Implementierung der Simulationsparameter entstanden. Ganz besonders wurde die Genauigkeit der Simulationssoftware untersucht, wodurch eine Parametrierung der Simulationsfrequenz entstanden ist. Für die Simulation wurde das Konzept geändert, nachdem festgestellt wurde, dass die Simulation unter MATLAB-SIMULINK mindestens 10 mal langsamer läuft, als in einem MATLAB-File. Außerdem wurde darauf geachtet, dass alle Funktionen, die direkt mit der Simulationberechnung zu tun haben, als externe MATLAB-File gehandhabt wurden. Somit ist es nachträglich möglich die Simulation zu beschleunigen, indem man die MATLAB-Files für die Simulation optimiert, ohne die graphische Oberfläche verändern zu müssen. Das gleiche gilt für die Parameterberechnung. Sollte es für den Anwender doch interessant sein, wie sich sein Algorithmus bei Einbeziehen der Reflexionen III.- und IV.-Ordnung verhält, kann er ebenfalls die entsprechende M-File ändern.

Die akustische Raumsimulation ist soweit fertig gestellt, dass ein Testen von Schallquellen-Lokalisations-Algorithmen auch mit unterraumbasierten Verfahren möglich ist. Es kann sowohl die Abhängigkeit der Wandparameter als auch die Abhängigkeit der Raumanordnung auf die Lokalisierungszuverlässigkeit getestet werden. Somit beschleunigt die akustische Raumsimulation die Verbesserung der Algorithmen.

# Glossar

**ADU** Ein **Analog-Digital-Umsetzer** setzt analoge Eingangssignale in digitale Daten bzw. Datenstrom um, der dann weiterverarbeitet oder gespeichert werden kann.

**Callback Function** Rückruffunktion (engl. *Callback function*) ist einer anderen Funktion eine übergebene Parameterfunktion. Unter GUIDE werden diese Funktionen immer dann aufgerufen, wenn ein Ereignis stattgefunden hat. (z.B.: Drücken eines Buttons)

**Cellarray** ist ein Array aus Daten vom Typ "Cell" und wird unter MATLAB zum Ansprechen von Strukturen verwendet.

**Create Function** Ist eine Funktion, die beim Erstellen eines graphischen Objekts ausgeführt wird. Unter GUIDE werden diese Funktionen beim Erstellen eines graphischen Objekts ausgeführt. (z.B.: Definieren der Hintergrundfarbe vom Button)

**DFT** Die **Diskrete Fourier-Transformation** ist die Fourier-Transformation eines zeitdiskreten periodischen Signals.

**Dirac-Impuls** benannt nach Paul Adrien Maurice Dirac, ist ein unendlich kurzer und unendlich hoher Impuls mit der Gewichtung 1. In dieser Arbeit der am kürzesten mögliche Impuls. (Bei  $48\text{kHz}$  Abtastfrequenz ein Impuls der Dauer von  $20,3\mu\text{S}$ )

**DSK TMS320C6713** Entwicklungsboard für den *TMS320C6713 DPS* (engl. DSP Starter Kit, DSK)

**DSP** Ein Digitaler Signalprozessor (engl. **d**igital **s**ignal **p**rocessor) dient der kontinuierlichen Bearbeitung von digitalen Signalen (z. B. Audio- oder Videosignale) durch die digitale Signalverarbeitung. Zur Verarbeitung von analogen Signalen wird der DSP in Verbindung mit Analog-Digital-Umsetzern und Digital-Analog-Umsetzern eingesetzt.[15]

**FFT** Schnelle Fourier-Transformation (engl. **f**ast **F**ourier **t**ransform) ist ein Algorithmus zur schnellen Berechnung der Werte einer diskreten Fourier-Transformation.

**Gibbssche Phänomen** ist die Bezeichnung des typischen Verhaltens von Fourierreihen in der Umgebung von Sprungstellen.[8]

**GUIDE** Entwicklungsumgebung für eine GUI unter MATLAB (engl. **g**raphical **u**sers **i**nterface **d**evelopment **e**nvironment).

**IFFT** Die Umkehrfunktion zur schnellen Fourier-Transformation(FFT). (engl. **I**nverse **F**ast **F**ourier **T**ransformation)

**M-Files** ist ein Dateityp zur Speicherung von Funktionen und Skripten unter MATLAB.

**MATLAB** ist eine kommerzielle, plattformunabhängige Software des Unternehmens The MathWorks, Inc. zur Lösung mathematischer Probleme und zur grafischen Darstellung der Ergebnisse. MATLAB ist primär für numerische Berechnungen mithilfe von Matrizen ausgelegt, woher sich auch der Name ableitet: **MAT**rix **LAB**oratory.[16]

**Mikrofonarray** Mehrere nebeneinander angeordnete Mikrofone.

**NaN** (engl. **N**ot **a** **N**umber) bedeutet "keine Zahl"

**Open Source** Lizenzen für Software, deren Quelltext öffentlich zugänglich ist und durch die freie Lizenz Weiterentwicklungen fördert.

**Overshoot** Ein Überschwinger der nach einer sprunghaften Änderung einer Eingangsgröße nicht den gewünschten Ausgangswert direkt erreicht, sondern über den Sollwert hinausschießt.

**ripple** Ist die Überlagerung eines konstanten Signalanteils mit einem Wechselanteil mit beliebiger Frequenz und Kurvenform.

**SIMULINK** Software des Herstellers The MathWorks zur Modellierung von Systemen (technisch, physikalisch, finanzmathematisch, ...). Simulink ist ein Zusatzprodukt zu MATLAB und benötigt dieses zum Ausführen.[17]

**Spiegelquellenverfahren** ist ein Verfahren mit dessen Hilfe sich die Wegstrecke zwischen zwei Punkten im Raum gespiegelt über eine Wand ermitteln lässt.[1, Seite 13]

**Standarddialog** sind graphische Dialogoberflächen, die der Benachrichtigung, Abfrage oder Eingabe dienen.

**Struktur** auch Datenstruktur, ist ein Datenformat zur strukturierten Ablage von Daten.

**Unterraum** ist eine Teilmenge einer Menge, die mit einer mathematischen Struktur versehen ist, welche bezüglich der mathematischen Struktur im weitesten Sinne abgeschlossen ist. Eine genaue Definition hängt von der Struktur ab.[18]

**unterraumbasierten Verfahren** sind spezielle Verfahren zur Spektralschätzung.

**Zero-padding** Ist das Erweitern eines Signals bzw. eines transformierten Signals mit Nullen auf eine bestimmte Länge.

# Literaturverzeichnis

- [1] BERNDT, Gerson: *3D- Simulation für die Übertragung von Schallsignalen auf Mikrofon-Arrays*, Hochschule für Angewandte Wissenschaften Hamburg, Diplomarbeit, 2003
- [2] ERBSLAND, Tobias ; NITSCH, Andreas: *Diplomarbeit mit L<sup>A</sup>T<sub>E</sub>X* . 2008. – URL <http://drzoom.ch/project/dml/>
- [3] GRUPP, Frieder ; FLORIAN: *Simulink - Grundlagen und Beispiele*. Oldenbourg Wissenschaftsverlag, 2007. – ISBN 978-3-486-58091-4
- [4] HOFFMANN, Josef: *MATLAB und SIMULINK - in Signalverarbeitung und Kommunikation*. Addison Wesley Longman Verlag, 1999. – ISBN 3-8273-1454-2
- [5] MERZIGER, Gerhard ; MÜHLBACH, Günter ; WILLE, Detlef ; WIRTH, Thomas: *FORMELN + HILFEN zur HÖHEREN MATHEMATIK*. 2. Auflage. Binomi Verlag, 2007. – ISBN 978-3-923923-35-9
- [6] MEY, Sven ; CAJINA, Rodolfo: *DSP-gesteuertes Mikrofonarray zur Sprecherlokalisierung mit Hilfe eines breitbandigen MUSIC-Algorithmus*, Hochschule für Angewandte Wissenschaften Hamburg, Diplomarbeit, 2006
- [7] MÖSER, Michael: *Technische Akustik*. 8. aktualisierte Auflage. Springer-Verlag, 2009. – ISBN 978-3-540-89817-7
- [8] PAPULA, Lothar: *Mathematik für Ingenieure und Naturwissenschaftler*. Bd. 2. 12., überarbeitete und erweiterte Auflage. Vieweg+Teubner Verlag, 2009. – ISBN 978-3-8348-0564-5
- [9] PAPULA, Lothar: *Mathematik für Ingenieure und Naturwissenschaftler*. Bd. 1. 12., überarbeitete und erweiterte Auflage. Vieweg+Teubner Verlag, 2009. – ISBN 978-3-8348-0545-4
- [10] SAXENA, Anshul K.: *Wideband Audio Source Localization using Microphone Array and MUSIC Algorithm*, Hochschule für Angewandte Wissenschaften Hamburg, Master Thesis, 2009



- [11] SENGPIEL, Eberhard: *Absorptionsgrad  $\alpha$  verschiedener Materialien und Oberflächen*. Januar 2010. – URL <http://www.sengpielaudio.com/Rechner-RT60Koeff.htm>
- [12] STEIN, Ulrich: *Einsteigen in das Programmieren mit MATLAB*. 2., aktualisierte Auflage. Carl Hansen Verlag, 2009. – ISBN 978-3-446-41594-2
- [13] TIPLER, Paul A. ; MOSCA, Gene: *Physik - Für Wissenschaftler und Ingenieure*. 2. deutsche Auflage. Elsevier GmbH, 2004. – ISBN 3-8274-1164-5
- [14] WIKIPEDIA: *Absorptionsgrad*. Februar 2010. – URL <http://de.wikipedia.org/wiki/Absorptionsfaktor>
- [15] WIKIPEDIA: *Digitaler Signalprozessor*. Februar 2010. – URL [http://de.wikipedia.org/wiki/Digitaler\\_Signalprozessor](http://de.wikipedia.org/wiki/Digitaler_Signalprozessor)
- [16] WIKIPEDIA: *MATLAB*. Februar 2010. – URL <http://de.wikipedia.org/wiki/Matlab>
- [17] WIKIPEDIA: *SIMULINK*. Februar 2010. – URL <http://de.wikipedia.org/wiki/Simulink>
- [18] WIKIPEDIA: *Unterraum*. Februar 2010. – URL <http://de.wikipedia.org/wiki/Unterraum>
- [19] WISSEN, BauNetz: *Raumimpulsantwort*. Februar 2010. – URL [http://www.baunetzwissen.de/glossar\\_begriffe/Akustik\\_Raumimpulsantwort\\_44915.html?index=R](http://www.baunetzwissen.de/glossar_begriffe/Akustik_Raumimpulsantwort_44915.html?index=R)

# Tabellenverzeichnis

7.1. Frequenzabhängige Absorptionsgrade [11] . . . . .	47
8.1. Auflistung der benötigten Abtastfrequenzen für $1^\circ$ Winkelauflösung bei verschiedenen Winkeln . . . . .	56
8.2. Abweichung vom Mittelpunkt bei Vidoaufnahme . . . . .	58
8.3. Abtastfrequenzen in Abhängigkeit der Winkelauflösung und des Öffnungswinkel	62

# Abbildungsverzeichnis

1.1. Projektplan für die Entwicklung einer vollautomatischen interaktiven Videoaufzeichnung von Vorlesungen . . . . .	8
1.2. Programmstrukturierung für die Entwicklung eines akustischen Raumsimulationsprogrammes . . . . .	10
2.1. Funktionsaufrufe aus der graphischen Oberfläche . . . . .	12
2.2. Struktur der Radiendatensätze . . . . .	13
4.1. Spiegelung eines Sprachquellenausgangspunktes mit einer Wand . . . . .	23
4.2. Spiegelung eines Sprachquellenausgangspunktes mit zwei Wänden . . . . .	25
6.1. Schematische Darstellung einer SIMULINK-Simulation . . . . .	38
6.2. Darstellung der einzelnen SIMULINK-Systemblöcke . . . . .	39
6.3. SIMULINK-Simulationsmodell . . . . .	40
6.4. Einzelne Systemblöcke des SIMULINK-Simulationsmodells . . . . .	41
6.5. Flussdiagramm für die Funktion simulationsstart() . . . . .	45
7.1. Filterentwurf der akustischen Deckenfliesen nach Tabelle 7.1 bei einer Simulationsfrequenz von $88\text{kHz}$ . . . . .	50
7.2. Filterentwurf der akustischen Deckenfliesen nach Tabelle 7.1 bei einer Simulationsfrequenz von $460\text{kHz}$ . . . . .	51
8.1. Mikrofonarray in einer Reihe . . . . .	53
8.2. Laufzeit, die eine Schallwelle beim Durchlaufen eines Mikrofonarrays benötigt . . . . .	54
8.3. Arkussinus vom Verhältnis $\frac{t_0}{t_{\max}}$ . . . . .	55
8.4. Benötigte Abtastfrequenz bei $1^\circ$ Winkelauflösung in Abhängigkeit des Winkelbereichs . . . . .	57
8.5. Bildaufnahme aus $3\text{m}$ Entfernung . . . . .	59
8.6. Bildaufnahme aus $7\text{m}$ Entfernung . . . . .	60
8.7. Bildaufnahme aus $10\text{m}$ Entfernung . . . . .	61
8.8. Abgetastete Sinusschwingung mit um $\frac{1}{f_a}$ verschobenen Sinusschwingung . . . . .	64
8.9. Abgetastete Sinusschwingung mit um $\frac{1}{f_a}$ verschobenen Sinusschwingung beim Nulldurchgang . . . . .	65

---

8.10. Abgetastete Sinusschwingung mit um $\frac{1}{f_a}$ verschobenen Sinusschwingung beim Maximum . . . . .	66
8.11. Abgetastete Sinusschwingung mit um $\frac{1}{f_a}$ verschobenen Sinusschwingung beim Nulldurchgang bei $f = 100\text{Hz}$ . . . . .	67
9.1. Zeitverlauf von Mikrofon 1 und Mikrofon 2 . . . . .	70
9.2. Raumimpulsantwort mit Reflexionen bis zur I.-Ordnung . . . . .	72
9.3. Gibbssche Phänomen durch Interpolieren des Dirac-Impulses . . . . .	73
9.4. Raumimpulsantwort mit Reflexionen bis zur II.-Ordnung . . . . .	74
9.5. Raumimpulsantwort mit Reflexionen bis zur II.-Ordnung mit frequenzabhängigen Oberflächen . . . . .	75
9.6. Bandbegrenzte Raumimpulsantwort mit Reflexionen bis zur II.-Ordnung mit frequenzabhängigen Oberflächen . . . . .	76
9.7. Dämpfung des Impulses durch die frequenzabhängigen Oberflächen . . . . .	77
9.8. Schallquellen-Lokalisation mittels MUSIC-Algorithmus an simulierten Mikrofonausgangssignalen ohne Reflexionen . . . . .	79
9.9. Schallquellen-Lokalisation mittels MUSIC-Algorithmus an simulierten Mikrofonausgangssignalen mit Reflexionen bis zur I.-Ordnung . . . . .	80
9.10. Schallquellen-Lokalisation mittels MUSIC-Algorithmus an simulierten Mikrofonausgangssignalen mit Reflexionen bis zur II.-Ordnung . . . . .	81
9.11. Schallquellen-Lokalisation mittels MUSIC-Algorithmus an simulierten Mikrofonausgangssignalen mit Reflexionen bis zur II.-Ordnung und frequenzabhängigen Oberflächen . . . . .	82
9.12. Ergebnisvergleich der Schallquellen-Lokalisation bei unterschiedlich reflektierenden Oberflächen . . . . .	83
9.13. Raumimpulsantwortvergleich bei unterschiedlich reflektierenden Oberflächen . . . . .	84
9.14. Ergebnisvergleich der Schallquellen-Lokalisation bei unterschiedlichen Raumanordnungen . . . . .	85
9.15. Raumimpulsantwortvergleich bei unterschiedlichen Raumanordnungen . . . . .	86
B.1. Graphische Oberfläche . . . . .	120
C.1. Raumabmessungen und Koordinaten Eingabe . . . . .	122
C.2. Darstellung des Raumes mit Audioquellen und Mikrofonarray . . . . .	123
C.3. Eingabefeld für die Wandparameter . . . . .	124
C.4. Starten der Simulationsparameterberechnung . . . . .	125
C.5. Berechnete Simulationsparameterberechnung . . . . .	126

## A. Quellcode der GUI

Listing A.1: M-File für die GUI

```
1
2 %% Funktion zur Verarbeitung von Übergabeparameter
3 % Diese Funktion sollte nicht verändert werden!
4 function varargout = ersteOberflaeche(varargin)
5 % ERSTEOBERFLAECHE M-file for ersteOberflaeche.fig
6 %     ERSTEOBERFLAECHE, by itself, creates a new ERSTEOBERFLAECHE
7 %     or raises the existing
8 %     singleton*.
9 %
10 %     H = ERSTEOBERFLAECHE returns the handle to a new
11 %     ERSTEOBERFLAECHE or the handle to
12 %     the existing singleton*.
13 %
14 %     ERSTEOBERFLAECHE('CALLBACK', hObject, eventData, handles,...)
15 %     calls the local
16 %     function named CALLBACK in ERSTEOBERFLAECHE.M with the
17 %     given input arguments.
18 %
19 %     ERSTEOBERFLAECHE('Property','Value',...) creates a new
20 %     ERSTEOBERFLAECHE or raises the
21 %     existing singleton*. Starting from the left, property
22 %     value pairs are
23 %     applied to the GUI before ersteOberflaeche_OpeningFcn gets
24 %     called. An
25 %     unrecognized property name or invalid value makes property
26 %     application
27 %     stop. All inputs are passed to ersteOberflaeche_OpeningFcn
28 %     via varargin.
29 %
30 %     *See GUI Options on GUIDE's Tools menu. Choose "GUI allows
31 %     only one
32 %     instance to run (singleton)".
33 %
34 % See also: GUIDE, GUIDATA, GUIHANDLES
```

```
25
26 % Edit the above text to modify the response to help
   ersteOberflaeche
27
28 % Last Modified by GUIDE v2.5 01-Feb-2010 13:07:35
29
30 % Begin initialization code - DO NOT EDIT
31 gui_Singleton = 1;
32 gui_State = struct('gui_Name',       mfilename, ...
33                   'gui_Singleton',  gui_Singleton, ...
34                   'gui_OpeningFcn', @ersteOberflaeche_OpeningFcn,
35                   ...
36                   'gui_OutputFcn',  @ersteOberflaeche_OutputFcn,
37                   ...
38                   'gui_LayoutFcn',  [] , ...
39                   'gui_Callback',   []);
40 end
41
42 if nargout
43     [varargout{1:nargout}] = gui_mainfcn(gui_State, varargin{:});
44 else
45     gui_mainfcn(gui_State, varargin{:});
46 end
47 % End initialization code - DO NOT EDIT
48
49 %% Funktion die einmalig beim Öffnen des Programmes ausgeführt
   wird
50 function ersteOberflaeche_OpeningFcn(hObject, eventdata, handles,
   varargin)
51 % This function has no output args, see OutputFcn.
52 % hObject    handle to figure
53 % eventdata  reserved -to be defined in a future version of
   MATLAB
54 % handles    structure with handles and user data (see GUIDATA)
55 % varargin   command line arguments to ersteOberflaeche (see
   VARARGIN)
56
57 % Choose default command line output for ersteOberflaeche
58 handles.output = hObject;
59 guidata(hObject, handles);
60 % Update handles structure
61 raum = [6 10 3.5]; %Initialisierung des Raumes
```

```
62 mic1 = [3 2 1];      %Initialisierung der Mikrofone
63 mic2 = [3.045 2 1];
64 mic3 = [3.09 2 1];
65 mic4 = [3.135 2 1];
66 mic5 = [3.18 2 1];
67 mic6 = [3.225 2 1];
68 micarr = [mic1; mic2; mic3; mic4; mic5; mic6]; %Erzeugen eines
    Mikrofonarrays
69 colname = {'Breite', 'Tiefe', 'Höhe'}; %Initialisierung eines
    Cellarray zur Beschriftung der Tabellen
70 %Initialisierung eines Cellarray zur Beschriftung der
    Mikrofontabelle
71 %Hierzu wird eine selbsterstellte Funktion aufgerufen
72 rowname = string_array_erstellen(size(micarr), 'Mikrofon');
73 set(handles.uitable_mic, 'Data', micarr); %Daten werden an die
    Mikrofontabelle übergeben
74 set(handles.uitable_mic, 'ColumnName', colname); %
    Spaltenbeschriftung wird an die Mikrofontabelle übergeben
75 set(handles.uitable_mic, 'RowName', rowname); %Zeilenbeschriftung
    wird an die Mikrofontabelle übergeben
76
77 aud1 = [3 8 1.7]; %Initialisierung der Audioquellen
78 aud2 = [4 8 1.7];
79 audarr = [aud1; aud2]; %Erzeugen eines Audioarray
80 colname = {'Breite', 'Tiefe', 'Höhe'}; %Initialisierung eines
    Cellarray zur Beschriftung der Tabellen
81 %Initialisierung eines Cellarray zur Beschriftung der
    Mikrofontabelle
82 %Hierzu wird eine selbsterstellte Funktion aufgerufen
83 rowname = string_array_erstellen(size(audarr), 'Audioquelle');
84 set(handles.uitable_aud, 'Data', audarr); %Daten werden an die
    Audiotabelle übergeben
85 set(handles.uitable_aud, 'ColumnName', colname); %
    Spaltenbeschriftung wird an die Audiotabelle übergeben
86 set(handles.uitable_aud, 'RowName', rowname); %Zeilenbeschriftung
    wird an die Audiotabelle übergeben
87 set(handles.listbox_audquellen, 'String', rowname); %Beschriftung
    der ListBox
88
89 handles.aud_dateien(1) = {[]}; %Initialisierung des Dateien-
    String
90 guidata(hObject, handles); %Aktualisieren der Handles
    Fensterstruktur
91
```

```
92 axes(handles.axes1); %Axes zur Verfügung stellen
93 x1 = micarr(1:size(micarr),1); %Zerlegen der Mikrofon- und
    Audioarrays in Koordinatenvektoren
94 y1 = micarr(1:size(micarr),2);
95 z1 = micarr(1:size(micarr),3);
96 x2 = audarr(1:size(audarr),1);
97 y2 = audarr(1:size(audarr),2);
98 z2 = audarr(1:size(audarr),3);
99 plot3(x1,y1,z1,'+',x2,y2,z2,'o'); %Plot des Raums mit Mikrofon
    und Audioquellen
100 grid;
101 AXIS([0 raum(1) 0 raum(2) 0 raum(3)]) %Plot an die Abmaße des
    Raumes anpassen
102 pbaspect([raum(1) raum(2) raum(3)]) %Seitenverhältnisse des
    Plot an die Raumabmessungen anpassen
103 xlabel('Breite');
104 ylabel('Tiefe');
105 zlabel('Höhe');
106
107 %Erzeugen eines Stringarray für das Mikrofonpopupmenu
108 %Dazu wird eine selbsterstellte Funktion aufgerufen
109 popstr = string_array_erstellen(size(micarr), 'Mikrofon');
110 set(handles.popupmenu_mic_del,'String',popstr); %Stringarray
    in das Popupmenu zum Löschen von Mikrofonen laden
111 set(handles.popupmenu_mic_auswahl,'String',popstr); %Stringarray
    in das Popupmenu zum Anzeigen der Distanzen laden
112
113 %Erzeugen eines Stringarray für das Audiopopupmenu
114 %Dazu wird eine selbsterstellte Funktion aufgerufen
115 popstr = string_array_erstellen(size(audarr), 'Audioquelle');
116 set(handles.popupmenu_aud_del,'String',popstr); %Stringarray in
    das Popupmenu zum Löschen von Audioquellen laden
117 handles.fa = 100000; %Simulationsfrequenz auf 100kHz
    vordefiniert
118 handles.raum = raum; %Raumabmessung in eine Handlesvariable
    schreiben
119 handles.micarr = micarr; %Mikrofonarray in eine Handlesvariable
    schreiben
120 handles.audarr = audarr; %Audioquellenarray in eine
    Handlesvariable schreibe
121 guidata(hObject, handles); %Aktualisieren der Handles
    Fensterstruktur
122
123 %% Funktion zum aktualisieren alle Tabellen, Menus und den Plot
```



```
124 %Diese Funktion wird immer aufgerufen nachdem handlesvariablen
      aktualisiert wurden.
125 function update_fig_uitable(hObject, eventdata, handles)
126
127 %update MIC_UITABLE
128 colname = {'Breite', 'Tiefe', 'Höhe'};      %
      Spaltenbeschriftungsstring wird erzeugt
129 %Zeilenbeschriftungsstring wird erzeugt, hierzu wird eine
130 %selbsterstellte Funktion aufgerufen
131 rowname = string_array_erstellen(size(handles.micarr), 'Mikrofon')
      ;
132 set(handles.uitable_mic, 'Data', handles.micarr); %Daten werden in
      die Tabelle geladen
133 set(handles.uitable_mic, 'ColumnName', colname); %
      Spaltenbeschriftung wird in die Tabelle geladen
134 set(handles.uitable_mic, 'RowName', rowname);      %
      Zeilenbeschriftung wird in die Tabelle geladen
135
136 %update AUD_UITABLE
137 rowname = string_array_erstellen(size(handles.audarr), '
      Audioquelle');
138 set(handles.uitable_aud, 'Data', handles.audarr); %Daten werden in
      die Tabelle geladen
139 set(handles.uitable_aud, 'ColumnName', colname); %
      Spaltenbeschriftung wird in die Tabelle geladen
140 set(handles.uitable_aud, 'RowName', rowname);      %
      Zeilenbeschriftung wird in die Tabelle geladen
141
142 %update LISTBOX
143 test = 'Hallo';
144 listbox_string = {test};      %Damit ein Cellarray in einer Schleife
      erweitert werden kann, muss Sie vordeklariert werden
145 handles.alle_dateien_geladen = 1;      %Merker um festzustellen ob zu
      jeder Audioquelle eine WAV-Datei geladen ist
146 guidata(hObject, handles);      %Aktualisieren der Handles
      Fensterstruktur
147 for i=1:size(handles.audarr)      %Schleife läuft von 1 bis zur
      Anzahl von Audioquellen
148     if isnan(handles.audarr)      %Wenn keine Audioquelle eingegeben
      ist wird die Schleife hier abgebrochen
149         break;
150     end
```

```

151     if length(handles.aud_dateien) >= i %Wenn die Länge des
        DateienStringarrays länger-gleich dem Schleifendurchlauf
        ist, dann:
152         if iscellstr(handles.aud_dateien(i)) %Wenn
            Dateienstring von i einen Inhalt hat, dann:
153             listbox_char = [char(rowname(i)) ':_ ' char(handles.
                aud_dateien(i))]; %Erstelle Chararray mit
                Audioquelle_i + Dateienstring von i
154             listbox_string(i) = {listbox_char}; %Weise den
                chararray dem Cellarray von i zu
155         else
156             listbox_char = [char(rowname(i)) ':_ ' '----keine_Datei
                _Ausgewählt']; %Erstelle Chararray mit
                Audioquelle_i + ----keine Datei ausgewählt
157             listbox_string(i) = {listbox_char}; %Weise den
                chararray dem Cellarray von i zu
158             handles.alle_dateien_geladen = 0; %Merker um
                festzustellen ob zu jeder Audioquelle eine WAV-
                Datei geladen ist, auf 0 setzten
159             guidata(hObject, handles); %Aktualisieren der
                Handles Fensterstruktur
160         end
161     else
162         listbox_char = [char(rowname(i)) ':_ ' '----keine_Datei_
            _Ausgewählt']; %Erstelle Chararray mit Audioquelle_i
            + ----keine Datei Ausgewählt
163         listbox_string(i) = {listbox_char}; %Weise den chararray
            dem Cellarray von i zu
164         handles.alle_dateien_geladen = 0; %Merker um
            festzustellen ob zu jeder Audioquelle eine WAV-Datei
            geladen ist, auf 0 setzten
165         guidata(hObject, handles); %Aktualisieren der
            Handles Fensterstruktur
166     end
167 end
168 assignin('base', 'sfsdgfn', listbox_string)
169 set(handles.listbox_audquellen, 'String', char(listbox_string)); %
        Zuweisung des Cellarray an die Listbox
170
171 %update AXES
172 axes(handles.axes1); %Axes zur Verfügung stellen
173 %Zerlegen des Mikrofonarray in Koordinaten, wenn es existiert
174 if ~isnan(handles.micarr)
175     x1 = handles.micarr(1:size(handles.micarr),1);

```

```

176     y1 = handles.micarr(1:size(handles.micarr),2);
177     z1 = handles.micarr(1:size(handles.micarr),3);
178 end
179 %Zerlegen des Audioarray in Koordinaten wenn es existiert
180 if ~isnan(handles.audarr)
181     x2 = handles.audarr(1:size(handles.audarr),1);
182     y2 = handles.audarr(1:size(handles.audarr),2);
183     z2 = handles.audarr(1:size(handles.audarr),3);
184 end
185 %Plot der Mikrofone und Audioquellen je nachdem ob welche
    vorhanden sind
186 if ~isnan(handles.micarr)
187     if ~isnan(handles.audarr)
188         plot3(x1,y1,z1,'+',x2,y2,z2,'o');
189     else
190         plot3(x1,y1,z1,'+');
191     end
192 else
193     if ~isnan(handles.audarr)
194         plot3(x2,y2,z2,'o');
195     else
196         plot3(0,0,0);
197     end
198 end
199
200 grid;
201 AXIS([0 handles.raum(1) 0 handles.raum(2) 0 handles.raum(3)]) %
    Plot an die Raumabmessungen anpassen
202 pbaspect([handles.raum(1) handles.raum(2) handles.raum(3)]) %
    Seitenverhältnisse an die Raumabmessungen anpassen
203 xlabel('Breite');
204 ylabel('Tiefe');
205 zlabel('Höhe');
206
207 %update Popup_menü zum Löschen von Mikrofonen
208 %Erzeugen ein Cellarray für die Mikrofonarray
209 %Dazu wird eine selbsterstellte Funktion verwendet
210 popstr = string_array_erstellen(size(handles.micarr), 'Mikrofon');
211 set(handles.popupmenu_mic_del,'String',popstr); %erzeugtes
    Cellarray dem Popupmenu zum Löschen von Mikrofonen zuweisen
212 set(handles.popupmenu_mic_auswahl,'String',popstr); %erzeugtes
    Cellarray dem Popupmenu zum Anzeigen der Distanzen zuweisen
213
214 %update Popup_menü zum löschen von Audioquellen

```

```
215 %Erzeugen eines Cellarray für das Audioquellenarray
216 %Dazu wird eine selbsterstellte Funktion verwendet
217 popstr = string_array_erstellen(size(handles.audarr), 'Audioquelle
    ');
218 set(handles.popupmenu_aud_del,'String',popstr); %erzeugtes
    Cellarray dem Popupmenu zum Löschen von Audioquellen zuweisen
219
220 %Hier werden alle Bedienflächen für die berechneten Parameter
    deaktiviert,
221 %da diese nach dem Verändern eines Mikrofons oder Audioquelle neu
    berechnet
222 %werden müssen.
223 set(handles.popupmenu_mic_auswahl,'Enable','off'); %Popupmenu
    zum Auswählen der Distanzen deaktivieren
224 set(handles.uitable_sim_datan,'Enable','off'); %Tabelle
    mit Distanzen deaktivieren
225 set(handles.pushbutton_start_sim,'Enable','off'); %
    Simulationsstartbutton deaktivieren
226 set(handles.popupmenu_parameter_auswahl,'Enable','off');%Popupmenu
    zum Auswählen der Parameter deaktivieren
227
228 %% Funktion zum Ausgeben von Rückgabewerten
229 % --- Outputs from this function are returned to the command line.
230 function varargout = ersteOberflaeche_OutputFcn(hObject, eventdata
    , handles)
231 % varargout cell array for returning output args (see VARARGOUT);
232 % hObject handle to figure
233 % eventdata reserved - to be defined in a future version of
    MATLAB
234 % handles structure with handles and user data (see GUIDATA)
235
236 % Get default command line output from handles structure
237 varargout{1} = handles.output;
238
239 %% Funktion zur Initialisierung der Mikrofontabelle
240 function uitable_mic_CreateFcn(hObject, eventdata, handles)
241
242 %% Funktion zur Initialisierung der Graphik
243 function axes1_CreateFcn(hObject, eventdata, handles)
244
245 %% Funktion zur Initialisierung der Audioquelle
246 function uitable_aud_CreateFcn(hObject, eventdata, handles)
247
```

```
248 %% Funktion zum verarbeitet des Callback vom Popumenu für die
    Auswahl der Mikrofone
249 function popupmenu_mic_auswahl_Callback(hObject, eventdata,
    handles)
250 ersteOberflaeche('popup_menu', gcbo, [], guidata(gcbo)); %Hier wird
    eine Funktion aufgerufen die den Callback mehrerer Popumenus
    verarbeitet
251
252 %% Funktion zur Initialisierung vom Popumenu für die Auswahl der
    Mikrofone
253 function popupmenu_mic_auswahl_CreateFcn(hObject, eventdata,
    handles)
254 %Dieser Code wird von Matlab automatisch erzeugt und legt die
255 %Hintergrundfarbe des Popumenues fest
256 if ispc && isequal(get(hObject, 'BackgroundColor'), get(0, '
    defaultUicontrolBackgroundColor'))
257     set(hObject, 'BackgroundColor', 'white');
258 end
259
260 %% Funktion zum verarbeitet der Callbacks von den Popumenu vom
    Distanzen-Panel
261 function popup_menu(hObject, eventdata, handles) %selbsterstellter
    Funktionskopf,
262 %Mit dieser Funktion werden die Callbacks der Popumenus
    verarbeitet, je
263 %nach Auswahl werden bestimmte Daten auf der Tabelle ausgegeben
264 %Die Parameter werden in der Callback-Eigenschaft eingestellt.
265 auswahl_mic = get(handles.popupmenu_mic_auswahl, 'Value');
266 auswahl_parameter = get(handles.popupmenu_parameter_auswahl, 'Value
    '); %Radien oder Laufzeiten oder Dämpfungen
267
268 %Die Funktion struktur_zu_array ist eine selbsterstellte Funktion
    und
269 %wird in dem Quellcode der Funktion erklärt
270 switch auswahl_parameter %Radien oder Laufzeiten oder Dämpfungen
271     case 1 %Radien
272         [datenblock zeilennamen spaltennamen] = struktur_zu_array(
            handles.radien(auswahl_mic));
273     case 2 %Laufzeiten
274         [datenblock zeilennamen spaltennamen] = struktur_zu_array(
            handles.laufzeiten(auswahl_mic));
275     case 3 %Dämpfungen
276         [datenblock zeilennamen spaltennamen] = struktur_zu_array(
            handles.daempfung(auswahl_mic));
```

```
277 end
278 %Hier werden die geladenen Daten in die Tabelle mit Beschriftung
    geladen
279 set(handles.uitable_sim_daten, 'Data', datenblock');
280 set(handles.uitable_sim_daten, 'ColumnName', zeilennamen);
281 set(handles.uitable_sim_daten, 'RowName', spaltennamen);
282
283
284 %% Callback-Funktion vom Button der die Simulation startet
285 function pushbutton_start_sim_Callback(hObject, eventdata, handles
    )
286 erfolgreich = 0;
287 %assignin('base','laufzeiten',handles.laufzeiten);
288 %assignin('base','daempfung',handles.daempfung);
289 %assignin('base','dateien',handles.aud_dateien);
290 set(handles.pushbutton_start_sim, 'Enable', 'off');
291 %Hier wird die Auswahl der Anzahl der Reflexionen/
    Oberflächenreflexionsfaktor ausgewertet
292 ref_auswahl = get(handles.radiobutton_ohne_ref, 'Value')*1 + get(
    handles.radiobutton_ref_I, 'Value')*2 + get(handles.
    radiobutton_ref_II, 'Value')*3 + get(handles.
    radiobutton_Wandparameter, 'Value')*4;
293 %assignin('base','ref_auswahl',ref_auswahl);
294 tic
295 switch ref_auswahl
296     case 1 %Keine Reflexionen
297         erfolgreich = simulationsstart_ohne_ref(handles.laufzeiten,
            handles.daempfung, handles.fa, handles.aud_dateien);
298     case 2 %Reflexionen bis zur ersten Ordnung
299         erfolgreich = simulationsstart_ref_I(handles.laufzeiten,
            handles.daempfung, handles.fa, handles.aud_dateien);
300     case 3 %Reflexionen bis zur zweiten Ordnung
301         erfolgreich = simulationsstart(handles.laufzeiten, handles.
            daempfung, handles.fa, handles.aud_dateien);
302     case 4 %Reflexionen bis zur zweiten Ordnung und
        Oberflächenreflexionsfaktor
303         %Hier wird die Auswahl der Oberflächenbeschaffenheit
            ausgewertet
304         decke = get(handles.radiobutton_decke_beton, 'Value')*1 +
            get(handles.radiobutton_decke_metall, 'Value')*2 + get(
            handles.radiobutton_decke_raster, 'Value')*3 + get(
            handles.radiobutton_decke_stroh, 'Value')*4 + get(handles
            .radiobutton_decke_teppich, 'Value')*5;
```

```
305     fussboden = get(handles.radiobutton_fuss_linoleum, 'Value')
        *6 + get(handles.radiobutton_fuss_fliesen, 'Value')*7 +
        get(handles.radiobutton_fuss_parkett, 'Value')*8 + get(
        handles.radiobutton_fuss_teppich, 'Value')*9;
306     wand = get(handles.radiobutton_wand_beton, 'Value')*10 + get(
        handles.radiobutton_wand_stein, 'Value')*11 + get(
        handles.radiobutton_wand_hohl, 'Value')*12 + get(handles.
        radiobutton_wand_teppich, 'Value')*13;
307     fenster = get(handles.radiobutton_fenster_gardienen, 'Value')
        )*14 + get(handles.radiobutton_fenster_fenster, 'Value')
        *15 + get(handles.radiobutton_fenster_wand, 'Value')*16;
308     if fenster == 16 %Wenn die Fensterseite wie eine normale
        Wand behandelt werden soll!
309         fenster = wand;
310     end
311     erfolgreich = simulationsstart_oberfl(handles.laufzeiten,
        handles.daempfung, handles.fa, handles.aud_dateien, decke
        , fussboden, wand, fenster);
312 end
313 set(handles.pushbutton_start_sim, 'Enable', 'on');
314 %simulationsmodel
315 toc
316 if erfolgreich==1
317     disp('Raumsimulation_Erfolgreich_abgeschlossen!')
318 end
319
320
321 %% Callback-Funktion vom Button der Mikrofone löscht
322 function pushbutton_mic_del_Callback(hObject, eventdata, handles)
323 % Hier wird die selbsterstellte Funktion zeile_aus_array_loeschen
324 % verwendet, die Funktion wird im Quellcode von der Funktion
    erklärt
325 handles.micarr = zeile_aus_array_loeschen(handles.micarr, get(
        handles.popupmenu_mic_del, 'Value'));
326 guidata(hObject, handles); %Handlesvariable wird aktualisiert
327 ersteOberflaeche('update_fig_uitable', gcbo, [], guidata(gcbo)); %
        Aktualisierungsfunktion wird aufgerufen
328
329 %% Callback-Funktion vom Button der Mikrofone hinzufügt
330 function pushbutton_mic_new_Callback(hObject, eventdata, handles)
331 breite = get(handles.edit_breite, 'String'); %Textfeld für die
        Breite wird ausgelesen
332 tiefe = get(handles.edit_tiefe, 'String'); %Testfeld für die
        Tiefe wird ausgelesen
```

```

333 hoehe = get(handles.edit_hoehe, 'String');           %Textfeld für die
        Höhe wird ausgelesen
334 %Alle eingelesenen Werte werden von String zu double konvertiert
335 %Sind keine Zahlen in die Felder eingetragen worden, wird NaN
        zurückgegeben
336 breite = str2double(breite);
337 tiefe = str2double(tiefe);
338 hoehe = str2double(hoehe);
339 if (isnan(breite)) || (isnan(hoehe)) || (isnan(tiefe)) %Abfrage,
        ob eine Angaben eine Zahl war
340     MsgBox('Hier_ist_wohl_ein_Janusz_am_Werk!', 'Wuaas_passiert_
        wenn_ich_daaahs_mache!');
341 else
342     zeile = [abs(breite) abs(tiefe) abs(hoehe)]; %Die Eingaben
        werden zu einen Koordinatenvektor zusammengefügt
343 %Hier wird die selbsterstellte Funktion is_array_im_Raum
        verwendet,
344 %diese Funktion wird im Quellcode der Funktion erklärt
345 if is_arrays_im_raum(zeile, handles.audarr, handles.raum) %
        Überprüfung, ob die Koordinaten in den Raum passen
346     %Hier wird die selbsterstellte Funktion add_zeile_zu_array
        ()
347     %aufgerufen, diese Funktion wird im Quellcode der Funktion
        erklärt
348     handles.micarr = add_zeile_zu_array(handles.micarr, zeile)
        ; %Der Koordinatenvektor wird dem Mikrofonarray
        hinzugefügt
349     guidata(hObject, handles); %Aktualisierung der
        Handlesvariable
350     ersteOberflaeche('update_fig_uitable',gcbo,[],guidata(gcbo
        )); %Aktualisierungsfunktion wird aufgerufen
351 else
352     MsgBox('Das_Mikrofon_ist_nicht_im_Raum', 'Fehler'); %
        Messageausgabe, falls der Koordinatenvektor nicht in
        den Raum passt
353 end
354 end
355
356 %% Callback-Funktion vom Button der Audioquellen hinzufügt
357 function pushbutton_aud_new_Callback(hObject, eventdata, handles)
358 breite = get(handles.edit_breite, 'String');           %Textfeld für die
        Breite wird ausgelesen
359 tiefe = get(handles.edit_tiefe, 'String');           %Textfeld für die
        Tiefe wird ausgelesen

```



```

360 hoehe = get(handles.edit_hoehe, 'String');           %Textfeld für die
      Höhe wird ausgelesen
361 %Alle eingelesenen Werte werden von String zu double konvertiert
362 %Sind keine Zahlen in die Felder eingetragen worden wird NaN
      zurückgegeben
363 breite = str2double(breite);
364 tiefe = str2double(tiefe);
365 hoehe = str2double(hoehe);
366 if (isnan(breite)) || (isnan(hoehe)) || (isnan(tiefe)) %Abfrage,
      ob eine Angaben eine Zahl war
367     MsgBox('Hier_ist_wohl_ein_Janusz_am_Werk!', 'Wuaas_passiert_
      wenn_ich_daaahs_mache!');
368 else
369     zeile = [abs(breite) abs(tiefe) abs(hoehe)]; %Die Eingaben
      werden zu einen Koordinatenvektor zusammengefügt
370 %Hier wird die selbsterstellte Funktion is_array_im_Raum
      verwendet,
371 %diese Funktion wird im Quellcode der Funktion erklärt
372 if is_arrays_im_raum(handles.micarr, zeile, handles.raum) %
      Überprüfung, ob die Koordinaten in den Raum passen
373     %Hier wird die selbsterstellte Funktion add_zeile_zu_array
      ()
374     %aufgerufen, diese Funktion wird im Quellcode der Funktion
      erklärt
375     handles.audarr = add_zeile_zu_array(handles.audarr, zeile)
      ; %Der Koordinatenvektor wird dem Audioarray
      hinzugefügt
376     guidata(hObject, handles); %Aktualisierung der
      Handlesvariable
377     ersteOberflaeche('update_fig_uitable', gcbo, [], guidata(gcbo
      )); %Aktualisierungsfunktion wird aufgerufen
378 else
379     MsgBox('Die_Audioquelle_ist_nicht_im_Raum', 'Fehler'); %
      Messageausgabe, falls der Koordinatenvektor nicht in
      den Raum passt
380 end
381 end
382
383 %% Callback-Funktion vom Editfeld für die Tiefe
384 function edit_tiefe_Callback(hObject, eventdata, handles)
385
386 %% Funktion zur Initialisierung des Editfeld von der Tiefe
387 function edit_tiefe_CreateFcn(hObject, eventdata, handles)

```

```
388 %Die folgenden Zeilen sind von GUIDE automatisch erstellt worden
      und setzen
389 %die Hintergrundfarbe des Editfeldes fest
390 if ispc && isequal(get(hObject,'BackgroundColor'), get(0,'
      defaultUicontrolBackgroundColor'))
391     set (hObject,'BackgroundColor','white');
392 end
393
394 %% Callback-Funktion vom Editfeldes für die Breite
395 function edit_breite_Callback(hObject, eventdata, handles)
396
397 %% Funktion zur Initialisierung des Editfeld von der Breite
398 function edit_breite_CreateFcn(hObject, eventdata, handles)
399 %Die folgenden Zeilen sind von GUIDE automatisch erstellt worden
      und setzen
400 %die Hintergrundfarbe des Editfeldes fest
401 if ispc && isequal(get(hObject,'BackgroundColor'), get(0,'
      defaultUicontrolBackgroundColor'))
402     set (hObject,'BackgroundColor','white');
403 end
404
405 %% Callback-Funktion vom Editfeldes für die Höhe
406 function edit_hoehe_Callback(hObject, eventdata, handles)
407
408 %% Funktion zur Initialisierung des Editfeld von der Höhe
409 function edit_hoehe_CreateFcn(hObject, eventdata, handles)
410 %Die folgenden Zeilen sind von GUIDE automatisch erstellt worden
      und setzen
411 %die Hintergrundfarbe des Editfeldes fest
412 if ispc && isequal(get(hObject,'BackgroundColor'), get(0,'
      defaultUicontrolBackgroundColor'))
413     set (hObject,'BackgroundColor','white');
414 end
415
416 %% Callback-Funktion vom Popupmenu zum Löschen von Mikrofone
417 function popupmenu_mic_del_Callback(hObject, eventdata, handles)
418
419 %% Funktion zur Initialisierung des Popupmenu zum Löschen von
      Mikrofone
420 function popupmenu_mic_del_CreateFcn(hObject, eventdata, handles)
421 %Die folgenden Zeilen sind von GUIDE automatisch erstellt worden
      und setzen
422 %die Hintergrundfarbe des Popupmenus fest
```

```
423 if ispc && isequal(get(hObject,'BackgroundColor'), get(0,'
    defaultUicontrolBackgroundColor'))
424     set(hObject,'BackgroundColor','white');
425 end
426
427 %% Callback-Funktion des Button zum Löschen von Audioquellen
428 function pushbutton_aud_del_Callback(hObject, eventdata, handles)
429 %Die Funktion zeile_aus_array Löschen ist eine selbsterstellte
    Funktion,
430 %deren Funktionalität im Quellcode der Funktion erklärt wird
431 handles.audarr = zeile_aus_array_loeschen(handles.audarr, get(
    handles.popupmenu_aud_del,'Value')); %Hier wird eine Zeile die
    vorher ausgewählt wurde aus dem Audioarray gelöscht
432 guidata(hObject, handles); %Aktualisierung der Handlesvariable
433 ersteOberflaeche('update_fig_uitable',gcbo,[],guidata(gcbo)); %
    Aktualisierungsfunktion wird aufgerufen
434
435 %% Callback-Funktion von dem Popupmenu zum löschen von
    Audioquellen
436 function popupmenu_aud_del_Callback(hObject, eventdata, handles)
437
438 %% Funktion zur Initialisierung des Popupmenus zum löschen von
    Audioquellen
439 function popupmenu_aud_del_CreateFcn(hObject, eventdata, handles)
440 %Die folgenden Zeilen sind von GUIDE automatisch erstellt worden
    und setzen
441 %die Hintergrundfarbe des Popupmenus fest
442 if ispc && isequal(get(hObject,'BackgroundColor'), get(0,'
    defaultUicontrolBackgroundColor'))
443     set(hObject,'BackgroundColor','white');
444 end
445
446 %% Callback-Funktion von dem Drop-down-Menü Datei
447 function menu_datei_Callback(hObject, eventdata, handles)
448
449 %% Callback-Funktion vom Drop-down-Menü Datei/Datei speichern
450 function menu_datei_save_Callback(hObject, eventdata, handles)
451 %Die Funktion arrays_speichern() ist eine selbsterstellte Funktion
452 %deren Funktionalität im Quellcode der Funktion erklärt wird
453 %Hier werden die Raumabmessungen, Mikrofonarrays und Audioquellen
    in eine
454 %Datei abgespeichert
455 erfolgreich = arrays_speichern(handles.micarr, handles.audarr,
    handles.raum);
```

```
456 if erfolgreich == 1 %Wenn das abspeichern erfolgreich war, dann
457     MsgBox('Datei_Erfolgreich_gespeichert'); %MessageBox
458 else
459     MsgBox('Datei_konnte_nicht_gespeichert_werden!'); %
460     MessageBox
461 end
462 %% Callback-Funktion vom Drop-down-Menü Datei/Datei Laden
463 function menu_datei_load_Callback(hObject, eventdata, handles)
464 %Die Funktion datei_laden() ist eine selbsterstellte Funktion
465     deren
466     %Funktionalität im Quellcode der Funktion erklärt wird
467     %Es werden Raumabmessungen, Mikrofonarrays und Audioquellen
468     geladen
469 [handles.micarr handles.audarr handles.raum erfolgreich] =
470     arrays_laden();
471 if erfolgreich == 1 %Wenn das Laden erfolgreich war, dann
472     guidata(hObject, handles); %Aktualisierung die
473     Handlesvariablen
474     ersteOberflaeche('update_fig_uitable',gcbo,[],guidata(gcbo));
475     %Aufruf der Aktualisierungsfunktion
476     MsgBox('Datei_Erfolgreich_geladen'); %MessageBox
477 else
478     MsgBox('Datei_konnte_nicht_geladen_werden!'); %MessageBox
479 end
480 %% Callback-Funktion vom Button, der die Raumabmessung aufnimmt
481 function pushbutton_raumabmessung_Callback(hObject, eventdata,
482     handles)
483 breite = get(handles.edit_breite, 'String'); %Editfeld für die
484     Breite wird ausgelesen und in die Variable Breite geschrieben
485 tiefe = get(handles.edit_tiefe, 'String'); %Editfeld für die
486     Tiefe wird ausgelesen und in die Variable Tiefe geschrieben
487 hoehe = get(handles.edit_hoehe, 'String'); %Editfeld für die
488     Höhe wird ausgelesen und in die Variable Höhe geschrieben
489 breite = str2double(breite); %Die Breite wird von String in
490     einen Double konvertiert
491 tiefe = str2double(tiefe); %Die Tiefe wird von String in
492     einen Double konvertiert
493 hoehe = str2double(hoehe); %Die Höhe wird von String in einen
494     Double konvertiert
495 if (isnan(breite)) || (isnan(hoehe)) || (isnan(tiefe)) %Abfrage:
496     Ist eine der eingelesenen Parameter keine Zahl
```

```

485     MsgBox('Hier_ist_wohl_ein_Janusz_am_Werk!', 'Wuaas_passiert_
        wenn_ich_daaahs_mache!'); %Messagebox
486 else %alle Parameter sind Zahlen
487     zeile = [abs(breite) abs(tiefe) abs(hoehe)]; %Erzeuge
        Raumabmessung aus Parametern
488     %Die Funktion is_arrays_im_raum() ist eine selbsterstellte
        Funktion dessen Funktionalität im Quellcode erklärt wird
489     if is_arrays_im_raum(handles.micarr, handles.audarr, zeile);
        %Wenn die Raumabmessung groß genug für die Arrays ist,
        dann
490         handles.raum = zeile; %Raumabmessung der
            Handlesvariablen Raum zuweisen
491         guidata(hObject, handles); %Handlesvariable aktualisieren
492         ersteOberflaeche('update_fig_uitable', gcbo, [], guidata(gcbo
            )); %Aktualisierungsfunktion aufrufen
493     else %Ist der Raum zu klein für die Arrays, dann
494         MsgBox('Der_Raum_ist_zu_klein_für_die_Audioquellen_und_
            Mikrofonpositionen', 'Fehler!'); %Messagebox
495     end
496 end
497
498 % Callback-Funktion vom Button, der die Simulationsparameter
        berechnet
499 function pushbutton_berechnung_Callback(hObject, eventdata,
        handles)
500 %Die Funktion berechnung_aller_radien() ist eine selbsterstellte
        Funktion
501 %dessen Funktionalität im Quellcode der Funktion erklärt wird
502 handles.radien = berechnung_aller_radien(handles.micarr, handles.
        audarr, handles.raum); %Berechnung aller Radien I. II. Ordnung
        Reflektionen
503 guidata(hObject, handles); %Aktualisierung der Handlesvariable
504 %Die Funktion berechne_laufzeiten() ist eine selbsterstellte
        Funktion, dessen Funktionalität im Quellcode, der Funktion
        erklärt wird
505 handles.laufzeiten = berechne_laufzeiten(handles.radien); %
        Berechnung der Laufzeiten aus den Radien
506 guidata(hObject, handles); %Aktualisierung der Handlesvariable
507 %Die Funktion berechne_daempfung() ist eine selbsterstellte
        Funktion
508 %dessen Funktionalität im Quellcode der Funktion beschrieben wird
509 handles.daempfung = berechne_daempfung(handles.radien); %
        Berechnung der Dämpfungen aus den Radien
510 guidata(hObject, handles); %Aktualisierung der Handlesvariable

```

```

511 set(handles.popupmenu_mic_auswahl, 'Enable', 'on'); %
      Mikrofonauswahl Popupmenu aktivieren
512 set(handles.uitable_sim_daten, 'Enable', 'on'); %
      Simulationsparameter Tabelle aktivieren
513 set(handles.pushbutton_start_sim, 'Enable', 'on'); %
      Simulationsstart Button aktivieren
514 set(handles.popupmenu_parameter_auswahl, 'Enable', 'on'); %
      Parameterauswahl Popupmenu aktivieren
515 auswahl = get(handles.popupmenu_mic_auswahl, 'Value'); %
      Mikrofonauswahl abrufen
516 %Die Funktion struktur_zu_array() ist eine selbsterstellte
      Funktion, dessen Funktionalität im Quellcode der Funktion
      beschrieben wird
517 [datenblock spaltennamen zeilennamen] = struktur_zu_array(handles.
      radien(auswahl)); %Radienstruktur auslesen
518 set(handles.uitable_sim_daten, 'Data', datenblock'); %
      Datenblock in die Simulationsparameter Tabelle einlesen
519 set(handles.uitable_sim_daten, 'ColumnName', spaltennamen); %
      Spaltenbeschriftung in die Simulationsparameter Tabelle
      einlesen
520 set(handles.uitable_sim_daten, 'RowName', zeilennamen); %
      Zeilenbeschriftung in die Simulationsparameter Tabelle
      einlesen
521
522 %% Callback Funktion vom Popupmenu zur Parameterauswahl
523 function popupmenu_parameter_auswahl_Callback(hObject, eventdata,
      handles)
524 %Hier wird die Funktion popup_menu() aufgerufen
525 ersteOberflaeche('popup_menu', gcbo, [], guidata(gcbo));
526
527 %% Funktion zur Initialisierung des Popupmenu zur Parameterauswahl
528 function popupmenu_parameter_auswahl_CreateFcn(hObject, eventdata,
      handles)
529 %Die folgenden Zeilen sind von MATLAB automatisch erstellt worden
      und
530 %definieren den Hintergrund des Popupmenus "Weiß"
531 if ispc && isequal(get(hObject, 'BackgroundColor'), get(0, '
      defaultUicontrolBackgroundColor'))
532     set(hObject, 'BackgroundColor', 'white');
533 end
534
535 %% Callback-Funktion der Listbox für die Audiodateien
536 function listbox_audquellen_Callback(hObject, eventdata, handles)
537

```

```
538 %% Funktion zur Initialisierung der Listbox für die Audiodateien
539 function listbox_audquellen_CreateFcn(hObject, eventdata, handles)
540 %Die folgenden Zeilen sind von Matlab automatisch erstellt worden
    und
541 %definieren den Hintergrund der Listbox als "Weiß"
542 if ispc && isequal(get(hObject,'BackgroundColor'), get(0,'
    defaultUicontrolBackgroundColor'))
543     set(hObject,'BackgroundColor','white');
544 end
545
546 %% Callback-Funktion des Button für das Laden einer Audiodatei
547 function pushbutton_lade_datei_Callback(hObject, eventdata,
    handles)
548 aud_auswahl = get(handles.listbox_audquellen,'Value'); %Die
    Auswahl aus der Listbox wird ausgelesen
549 %Die Funktion string_array_erstellen() ist eine selbsterstellte
    Funktion dessen Funktionalität im Quellcode der Funktion
    beschrieben wird
550 lade_dialog_beschriftungs_string = string_array_erstellen(size(
    handles.audarr), 'Audioquelle'); %Es wird ein
    Beschriftungsstring für den Ladedialog erstellt
551 lade_dialog_beschriftung = lade_dialog_beschriftungs_string(
    aud_auswahl); %Es wird ein Beschriftungsstring für den
    Ladedialog erstellt
552 %Die Funktion lade_wav() ist eine selbsterstellte Funktion dessen
    Funktionalität im Quellcode der Funktion beschrieben wird
553 datei = lade_wav(lade_dialog_beschriftung); %Es wird ein Dateipfad
    geladen und auf die Variable datei geschrieben
554 handles.aud_dateien(aud_auswahl) = {datei}; %Der geladene
    Dateipfad wird dem Cellarray handles.aud_dateien zugefügt
555 guidata(hObject, handles); %die Handlesvariable wird aktualisiert
556 ersteOberflaeche('update_fig_uitable',gcbo,[],guidata(gcbo)); %
    Die Aktualisierungsfunktion wird aufgerufen
557
558 %% Callback-Funktion vom Popumenu zur Auswahl der Winkelauflösung
559 % --- Executes on selection change in popupmenu_theta_a.
560 function popupmenu_theta_a_Callback(hObject, eventdata, handles)
561 % hObject handle to popupmenu_theta_a (see GCBO)
562 % eventdata reserved - to be defined in a future version of
    MATLAB
563 % handles structure with handles and user data (see GUIDATA)
564 Winkelaufloesung_cell = str2double(get(handles.popupmenu_theta_a,'
    String')); %Popupmenu für die Winkelauflösung auslesen
```

```
565 Oeffnungswinkel_cell = str2double(get(handles.popupmenu_theta, '  
    String')); % Popupmenu für den Öffnungswinkel auslesen  
566 Winkelaufloesung_auswahl = get(handles.popupmenu_theta_a, 'Value');  
    %Popupmenu für die Winkelauflösung auslesen  
567 Oeffnungswinkel_auswahl = get(handles.popupmenu_theta, 'Value'); %  
    Popupmenu für den Öffnungswinkel auslesen  
568 Winkelaufloesung = Winkelaufloesung_cell(Winkelaufloesung_auswahl)  
    ;  
569 Oeffnungswinkel = Oeffnungswinkel_cell(Oeffnungswinkel_auswahl);  
570 fa = Simulationsfrequenz_berechnen(Winkelaufloesung,  
    Oeffnungswinkel, handles.micarr); %Simulationsfrequenz in der  
    Funktion "Simulationsfrequenz_berechnen" berechnen  
571 fa_string = ['Simulationsfrequenz:_', num2str(fa/1000), 'kHz']; %  
    String erzeugen mit Simulationsfrequenz um die  
    Simulationsfrequenz im Simulationsprogramm anzuzeigen  
572 set(handles.text_fa, 'String', fa_string); %erzeugter String  
    fa_string in textfeld text_fa schreiben  
573 handles.fa = fa; %Simulationsfrequenz auf die handlesdatei  
    speichern  
574 guidata(hObject, handles); %Aktualisieren der Handles  
    Fensterstruktur  
575  
576 %% Funktion zur Initialisierung das Popupmenu zur Auswahl der  
    Winkelauflösung  
577 % --- Executes during object creation, after setting all  
    properties.  
578 function popupmenu_theta_a_CreateFcn(hObject, eventdata, handles)  
579 % hObject    handle to popupmenu_theta_a (see GCBO)  
580 % eventdata  reserved - to be defined in a future version of  
    MATLAB  
581 % handles    empty - handles not created until after all  
    CreateFcns called  
582  
583 % Hint: popupmenu controls usually have a white background on  
    Windows.  
584 %         See ISPC and COMPUTER.  
585 if ispc && isequal(get((hObject, 'BackgroundColor'), get(0, '  
    defaultUicontrolBackgroundColor'))  
586     set((hObject, 'BackgroundColor', 'white');  
587 end  
588  
589 %% Callback-Funktion vom Popupmenu zur Auswahl des Öffnungswinkel  
590 % --- Executes on selection change in popupmenu_theta.  
591 function popupmenu_theta_Callback(hObject, eventdata, handles)
```



```
592 % hObject      handle to popupmenu_theta (see GCBO)
593 % eventdata    reserved - to be defined in a future version of
      MATLAB
594 % handles      structure with handles and user data (see GUIDATA)
595 Winkelaufloesung_cell = str2double(get(handles.popupmenu_theta_a, '
      String')); %Popupmenu für die Winkelauflösung auslesen
596 Oeffnungswinkel_cell = str2double(get(handles.popupmenu_theta, '
      String')); % Popupmenu für den Öffnungswinkel auslesen
597 Winkelaufloesung_auswahl = get(handles.popupmenu_theta_a, 'Value');
      %Popupmenu für die Winkelauflösung auslesen
598 Oeffnungswinkel_auswahl = get(handles.popupmenu_theta, 'Value'); %
      Popupmenu für den Öffnungswinkel auslesen
599 Winkelaufloesung = Winkelaufloesung_cell(Winkelaufloesung_auswahl)
      ;
600 Oeffnungswinkel = Oeffnungswinkel_cell(Oeffnungswinkel_auswahl);
601 fa = Simulationsfrequenz_berechnen(Winkelaufloesung,
      Oeffnungswinkel, handles.micarr); %Simulationsfrequenz in der
      Funktion "Simulationsfrequenz_berechnen" berechnen
602 fa_string = ['Simulationsfrequenz:_', num2str(fa/1000), 'kHz']; %
      String erzeugen mit Simulationsfrequenz um die
      Simulationsfrequenz im Simulationsprogramm anzuzeigen
603 set(handles.text_fa, 'String', fa_string); %erzeugter String
      fa_string in textfeld text_fa schreiben
604 handles.fa = fa; %Simulationsfrequenz auf die handlesdatei
      speichern
605 guidata(hObject, handles); %Aktualisieren der Handles
      Fensterstruktur
606
607 %% Funktion zur Initialisierung das Popupmenu zur Auswahl des
      Öffnungswinkel
608 % --- Executes during object creation, after setting all
      properties.
609 function popupmenu_theta_CreateFcn(hObject, eventdata, handles)
610 % hObject      handle to popupmenu_theta (see GCBO)
611 % eventdata    reserved - to be defined in a future version of
      MATLAB
612 % handles      empty - handles not created until after all
      CreateFcns called
613
614 % Hint: popupmenu controls usually have a white background on
      Windows.
615 %           See ISPC and COMPUTER.
616 if ispc && isequal(get( hObject, 'BackgroundColor'), get(0, '
      defaultUicontrolBackgroundColor'))
```

```
617     set(hObject, 'BackgroundColor', 'white');  
618 end
```

## **B. Graphische Oberfläche**

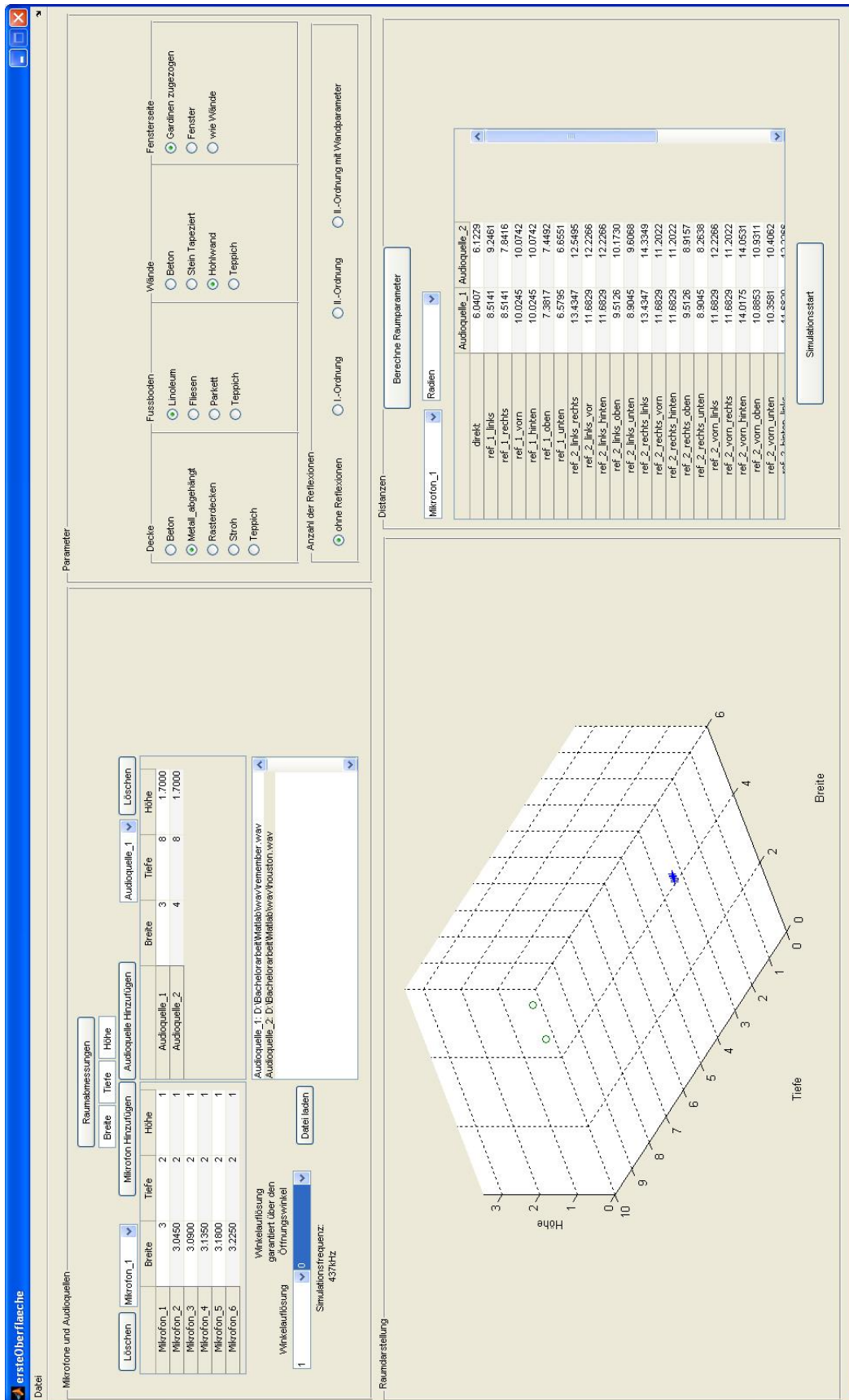


Abbildung B.1.: Graphische Oberfläche

# C. Bedienungsanleitung

## C.1. Programm starten

Zum starten des Programms führen Sie die Datei *ersteOberflaeche* unter MATLAB aus. Die Datei ist im Ordner *Matlab* auf der beigelegten CD enthalten. Achten Sie darauf, dass Sie vorher den Ordner **komplett** auf ein schreibfähiges Laufwerk kopieren, da die Ausgabedateien in den Unterordner *wav* erstellt werden.

Sollte sich die Datei nicht ausführen lassen überprüfen Sie Ihre MATLAB-Version, das Programm wurde mit MATLAB 7.8.0 erstellt.

## C.2. Raumabmessungen und Koordinaten Eingabe

Zum Eingeben der Raumabmessungen und der Koordinaten der Audioquellen und Mikrofone werden die drei Editfelder, die oben in Abbildung [C.1](#) dargestellt werden, verwendet. Bei Programmstart werden Raumabmessungen, Mikrofone und Audioquellen mit Standardwerten vorbelegt. Diese können über die Butten gelöscht werden. Die eingegebenen Abmessungen und Koordinaten können über die Menu Bar *Datei* gespeichert und geladen werden.

Mikrofone und Audioquellen

Raumabmessungen

Breite Tiefe Höhe

Löschen Mikrofon\_1 Mikrofon Hinzufügen Audioquelle Hinzufügen Audioquelle\_1 Löschen

	Breite	Tiefe	Höhe
Mikrofon_1	3	2	1
Mikrofon_2	3.0450	2	1
Mikrofon_3	3.0900	2	1
Mikrofon_4	3.1350	2	1
Mikrofon_5	3.1800	2	1
Mikrofon_6	3.2250	2	1

	Breite	Tiefe	Höhe
Audioquelle_1	3	8	1.7000
Audioquelle_2	4	8	1.7000

Winkelauflösung garantiert über den Öffnungswinkel

Winkelauflösung 1 0 Datei laden

Audioquelle\_1  
Audioquelle\_2

Abbildung C.1.: Raumabmessungen und Koordinaten Eingabe

In Abbildung C.2 wird der eingegebene Raum mit den Audioquellen und den Mikrofonen dargestellt. Die Audioquellen sind grün als Kreise gekennzeichnet und die Mikrofone blau als Kreuze. In dieser Darstellung sind die Mikrofone als Mikrofonarray dicht beieinander angeordnet, so dass sie sich optisch nicht auseinander halten lassen.

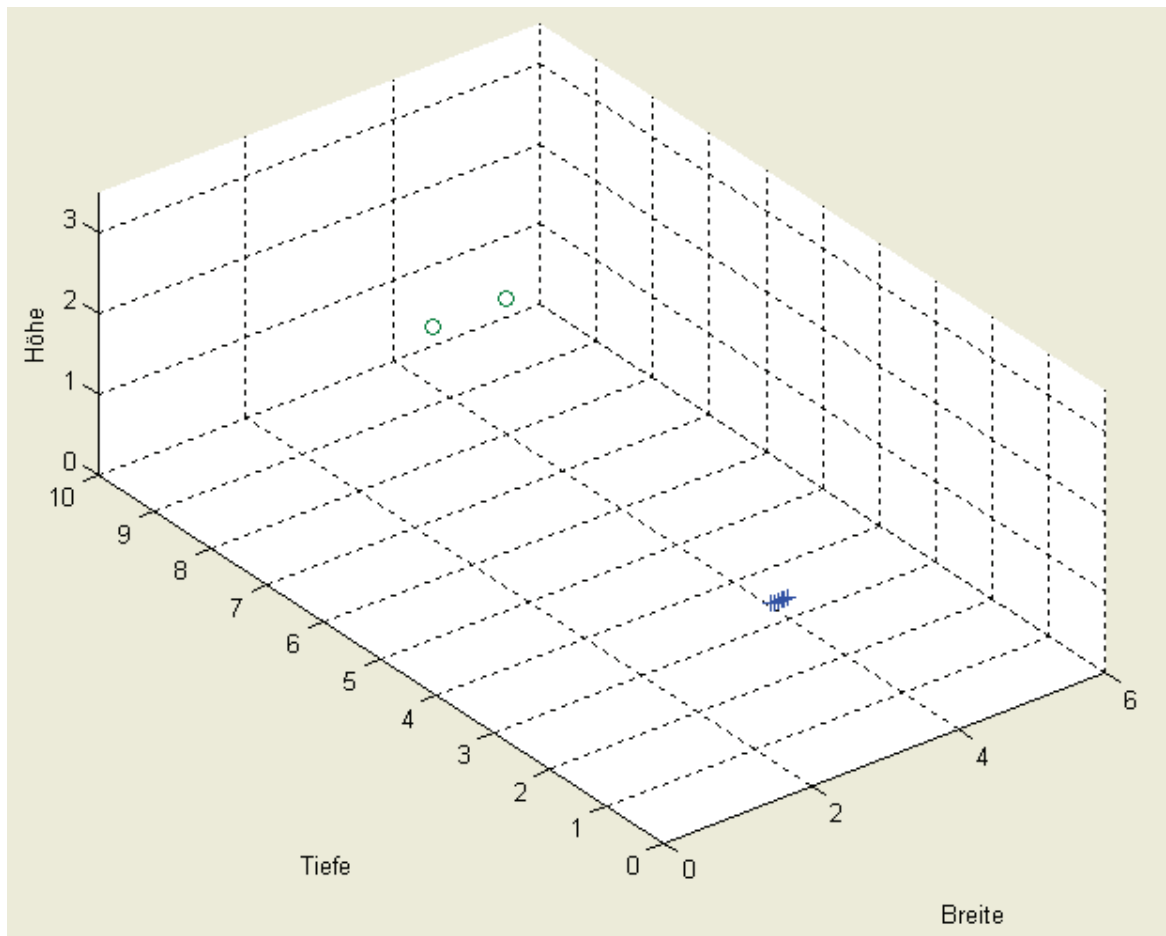


Abbildung C.2.: Darstellung des Raumes mit Audioquellen und Mikrofonarray

### C.3. Winkelauflösung und Öffnungswinkel festlegen

Die gewünschte Winkelauflösung, die über einen gewünschten Öffnungswinkel garantiert werden soll, kann über die beiden Popup Menus, die ebenfalls in [Abbildung C.1](#) dargestellt sind, eingestellt werden. Werden keine Parameter eingestellt simuliert das Programm mit 100kHz.

### C.4. Audiodateien laden

Audiodateien können, wie ebenfalls in [Abbildung C.1](#) unten links dargestellt, über einen Button *Datei laden* geladen werden. Bei Betätigung des Buttons wird ein Standarddialog zum

laden von Wave-Dateien gestartet. Achten Sie darauf, dass für jede Audioquelle eine Audio-datei geladen wird. Die ausgewählten Dateipfade werden im Textfeld angezeigt.

## C.5. Wandparameter einstellen

Die Wandparameter lassen sich, wie in Abbildung C.3 dargestellt, über *Radio Buttons* einstellen. Die hinter den Parametern implementierten Filter sind im Kapitel 7 aufgelistet. Die Wandparameter lassen sich auch im unteren Bereich der Abbildung C.3 abschalten. Ebenso lassen sich die Reflexionen I. und II.-Ordnung abschalten.

Decke	Fussboden	Wände	Fensterseite
<input type="radio"/> Beton	<input checked="" type="radio"/> Linoleum	<input type="radio"/> Beton	<input checked="" type="radio"/> Gardinen zugezogen
<input checked="" type="radio"/> Metall_abgehängt	<input type="radio"/> Fliesen	<input type="radio"/> Stein Tapeziert	<input type="radio"/> Fenster
<input type="radio"/> Rasterdecken	<input type="radio"/> Parkett	<input checked="" type="radio"/> Hohlwand	<input type="radio"/> wie Wände
<input type="radio"/> Stroh	<input type="radio"/> Teppich	<input type="radio"/> Teppich	
<input type="radio"/> Teppich			

Anzahl der Reflexionen

ohne Reflexionen     I.-Ordnung     II.-Ordnung     II.-Ordnung mit Wandparameter

Abbildung C.3.: Eingabefeld für die Wandparameter

## C.6. Start der Simulationsparameterberechnung

Die Simulationsparameterberechnung lässt sich über den Button *Berechne Raumparameter* in Abbildung C.4 starten.



The screenshot shows a software interface with the following elements:

- Window title: Distanzen
- Button: Berechne Raumparameter
- Dropdown menu 1: Mikrofon\_1
- Dropdown menu 2: Radien [m]
- Table with 4 rows and 2 columns:

	1	2
1		
2		
3		
4		

Button: Simulationsstart

Abbildung C.4.: Starten der Simulationsparameterberechnung

Ist die Simulationsparameterberechnung abgeschlossen, wird folgendes Bild [C.5](#) dargestellt.

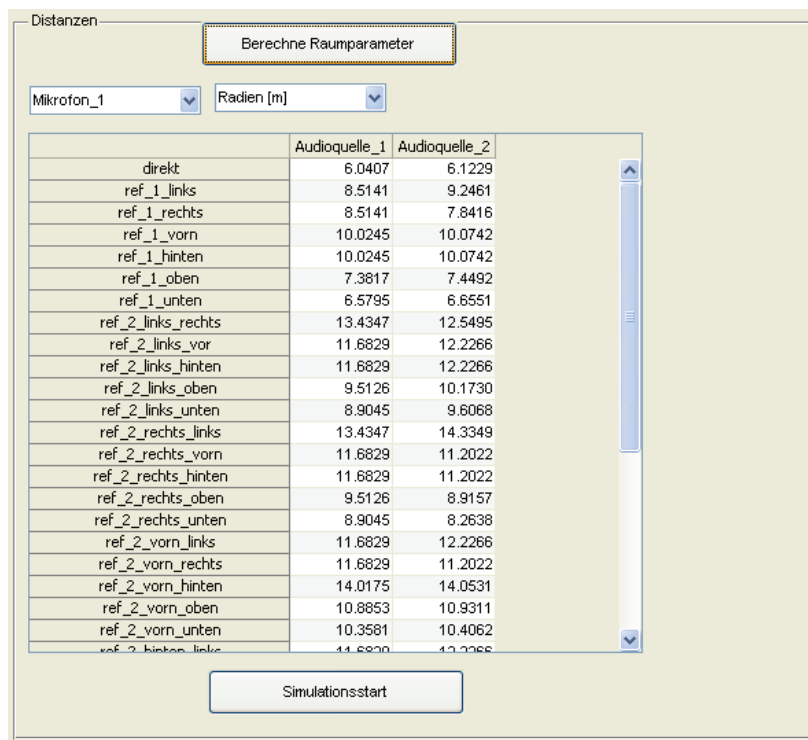


Abbildung C.5.: Berechnete Simulationsparameterberechnung

## C.7. Simulationsstart

Nachdem die Simulationsparameter berechnet worden sind, kann die akustische Raumsimulation gestartet werden. Dies geschieht über den Button *Simulationsstart* ebenfalls in Abbildung C.5. Die Simulation wird eine gewisse Zeit in Anspruch nehmen. Den Fortschritt der Simulation kann man im *MATLAB Command Window* verfolgen. Ist die Simulation abgeschlossen wird im *Command Window* das erfolgreiche Abschließen der Simulation benachrichtigt. Die erzeugten Wave-Dateien sind im *Matlab* Unterordner *Wav* mit den Namen *out1.wav* bis *outn.wav* abgespeichert.

# Versicherung über die Selbstständigkeit

Hiermit versichere ich, dass ich die vorliegende Arbeit im Sinne der Prüfungsordnung nach §16(5) APSO-TI-BM ohne fremde Hilfe selbstständig verfasst und nur die angegebenen Hilfsmittel benutzt habe. Wörtlich oder dem Sinn nach aus anderen Werken entnommene Stellen habe ich unter Angabe der Quellen kenntlich gemacht.

Hamburg, 26. Februar 2010

\_\_\_\_\_  
Ort, Datum

\_\_\_\_\_  
Unterschrift